

SKRIPSI

ANALISA KINERJA SIMPANG BERSINYAL DENGAN MENGGUNAKAN METODE CTM (CELL TRANSMISSION MODEL) PADA RUAS JALAN BASUKI RAHMAT

*(Study Kasus : Persimpangan Jalan Basuki Rahmat, Jalan Semeru dan Jalan Kahuripan,
kecamatan Klojen, Kota Malang)*



Di Susun Oleh :

DWIRAPI TIRTO BABBA

13.21.096

JURUSAN TEKNIK SIPIL S-I

FAKULTAS TEKNIK SIPIL DAN PERENCANAAN

INSTITUT TEKNOLOGI NASIONAL MALANG

2017



INSTITUT TEKNOLOGI NASIONAL MALANG
FAKULTAS TEKNIK SIPIL DAN PERENCANAAN
JURUSAN TEKNIK SIPIL S-1
JL., Bendungan Sigura-Gura No.2 Tlpn.551951 – 551431
MALANG

PERNYATAAN KEASLIAN SKRIPSI

Saya yang bertanda tangan dibawah ini :

Nama : **Dwirapi Tирто Babba**

NIM : **13.21.096**

Program Studi : **Teknik Sipil S-1**

Fakultas : **Teknik Sipil dan Perencanaan**

Menyatakan dengan sesungguhnya bahwa skripsi saya dengan judul :

**“ANALISA KINERJA SIMPANG BERSINYAL DENGAN
MENGGUNAKAN METODE CTM (CELL TRANSMISSION MODEL)
PADA RUAS JALAN BASUKI RACHMAT”**

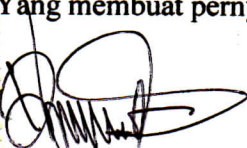
Adalah benar-benar merupakan hasil karya sendiri, bukan duplikat serta tidak mengutip atau menyadur seluruhnya karya orang lain, kecuali disebut dari sumber aslinya

Apabila dikemudian hari terbukti atau dapat dibuktikan tugas akhir ini hasil jiplakan atau mengambil karya tulis dan pemikiran orang lain, saya bersedia menerima sanksi atas perbuatan tersebut

Malang,.....September 2017

Yang membuat pernyataan




(Dwirapi Tирто Babba)
13.21.096

LEMBAR PENGESAHAN

SKRIPSI

**“ANALISA KINERJA SIMPANG BERSINYAL DENGAN MENGGUNAKAN
METODE CTM (CELL TRANSMISSION MODEL) PADA RUAS JALAN
BASUKI RACHMAT”**

*Dipertahankan Dihadapan Majelis Penguji Sidang Skripsi
Jenjang Strata Satu (S-1)*

Pada Hari : Senin, 7 Agustus 2017

*Dan Diterima Untuk Memenuhi Salah Satu Persyaratan
Guna Memperoleh Gelar Sarjana Teknik*

Disusun Oleh :

Dwirapi Tirto Babba

13.21.096

Disahkan Oleh :

Ketua

Ir. A. Agus Santosa, MT.
NIP.Y.1018700155

Sekretaris

Ir. Munasih, MT

Anggota Penguji :

Dosen Penguji I

Ir. Eding Iskak Imananto, MT

Dosen Penguji II

Drs. Kamidjo Rahario, ST. MT

**PROGRAM STUDI TEKNIK SIPIL S-1
FAKULTAS TEKNIK SIPIL DAN PERENCANAAN
INSTITUT TEKNOLOGI NASIONAL
MALANG
2017**

**LEMBAR PERSETUJUAN
SKRIPSI**

**"ANALISA KINERJA SIMPANG BERSINYAL DENGAN MENGGUNAKAN
METODE CTM (*CELL TRANSMISSION MODEL*) PADA RUAS JALAN
BASUKI RACHMAT "**

*Disusun dan Diajukan Sebagai Salah Satu Syarat Untuk Memperoleh Gelar Sarjana
Teknik Sipil S-1*

*Institut Teknologi Nasional Malang
Fakultas Teknik Sipil dan Perencanaan
Jurusan Teknik Sipil Strata Satu S-I*

Disusun Oleh :

Dwirapi Tirto Babba

13.21.096

Menyetujui :

Dosen Pembimbing I

Dr. Ir. Nusa Sebayang, MT

Dosen Pembimbing II

Ir. Togi H Nainggolan, MS

**Mengetahui,
Ketua Program Studi Teknik Sipil S-1**



Ir. A. Agus Santosa, MT

**PROGRAM STUDI TEKNIK SIPIL S-1
FAKULTAS TEKNIK SIPIL DAN PERENCANAAN
INSTITUT TEKNOLOGI NASIONAL
MALANG
2017**

ABSTRAK

ANALISA KINERJA SIMPANG BERSINYAL DENGAN MENGGUNAKAN METODE CTM (*CELL TRANSMISSION MODEL*) PADA RUAS JL. BASUKI RACHMAT

Dwirapi Tirto Babba (13.21.096)

Dosen Pembimbing I : Dr. Ir. Nusa Sebayang.,MT

Dosen Pembimbing II : Ir. Togi H. Nainggolan., MS

Jl. Basuki Rahmat memiliki kondisi Derajat Kejenuhan (DS) jalan yang berubah-ubah. Derajat Kejenuhan (DS) biasa mengalami kondisi under satu rated dan over satu rated. Sehingga dalam pemodelannya tidak dapat menggunakan metode MKJI 1997. Dalam kondisi over satu rated akan mengakibatkan data yang eror jika menggunakan MKJI 1997. *Cell Transmission Model* (CTM) merupakan metode yang masih sangat baru bagi Indonesia. Metode CTM memiliki kelebihan yang tidak dimiliki oleh Metode MKJI. Metode CTM mampu menghitung Derajat Kejenuhan yang mengalami over satu rated. Sehingga metode CTM akan menjadi solusi transpotasi Indonesia khususnya di jalan Basuki Rahmat yang memiliki Derajat Kejenuhan Over satu rated.

Pengumpulan data dapat dilakukan dengan melakukan survey pada jalan Basuki Rahmat. Yang pertama ialah terhadap volume lalu lintas untuk mengetahui jam puncak pada lokasi. Tahap kedua mencari kecepatan rata-rata kendaraan dengan menggunakan 2 buah *handycam*. Tahap ketiga dengan menggunakan 3 *handycam* untuk mengetahui isi sel dan panjang antrian. Sehingga pemodelan pada metode CTM dapat dilakukan dengan data yang telah diperoleh

Dalam mengetahui keakuratan metode CTM perlu dilakukannya perbandingan panjang antrian dan tundaan dengan data yang sebenarnya (*real*) dan juga metode MKJI 1997. Dari data penelitian yang telah diperoleh menunjukkan bahwa metode CTM lebih akurat dibandingkan dengan metode MKJI. Data antrian yang diperoleh adalah sebagai berikut. data lapangan: 176 meter, metode CTM: 176 meter dan metode MKJI: 79.86 meter. Dari data di atas menunjukkan mengalami perbandingan yang sangat jauh dibandingkan dengan data lapangan. Sedangkan metode CTM memiliki panjang antrian yang sama persis dengan panjang antrian di lapangan.

Kata kunci : Metode *Cell Transmission Model* dan Simpang Bersinyal.

DAFTAR ISI

| | |
|-----------------------------------|-------------|
| LEMBAR JUDUL..... | i |
| LEMBAR PERSETUJUAN | ii |
| LEMBAR PENGESAHAN | iii |
| LEMBAR PERNYATAAN | iv |
| ABSTRAK | v |
| LEMBAR PERSEMBAHAN..... | vi |
| KATA PENGANTAR | viii |
| DAFTAR ISI | x |
| DAFTAR GAMBAR..... | xiii |
| DAFTAR TABEL | xiv |
| DAFTAR GRAFIK | xv |
| | |
| BAB I. PENDAHULUAN..... | 1 |
| 1.1 Latar Belakang | 1 |
| 1.2Identifikasi Masalah | 3 |
| 1.3 Rumusan Masalah | 3 |
| 1.4 Tujuan Dan Manfaat | 4 |
| 1.5 Ruang Lingkup Masalah | 4 |
| BAB II. DASAR TEORI..... | 5 |
| 2.1 Studi-Studi Sebelumnya..... | 5 |
| 2.2Pengertian Persimpangan | 6 |
| 2.3Jenis-jenis Persimpangan | 7 |

| | |
|--|----|
| 2.4 Simpang Bersinyal | 7 |
| 2.5 Karakteristik Lalulintas | 9 |
| 2.6 <i>Cell Transmission Model</i> | 9 |
| 2.6.1 Pengertian <i>Cell Transmission Model</i> | 9 |
| 2.6.2 Premis Dasar | 10 |
| 2.6.3 Pemodelan pergerakan lalu lintas menggunakan CTM | 10 |
| 2.6.4 Perumusan besar tundaan | 12 |
| 2.6.4 Manual Kapasitas Jalan Indonesia | 13 |
| BAB III. METODOLOGI PENELITIAN | 21 |
| 3.1 Lokasi Penelitian | 21 |
| 3.2 Alat dan Bahan | 23 |
| 3.2.1 Alat Penelitian | 23 |
| 3.2.2 Bahan Penelitian | 24 |
| 3.2 Tahapan Penelitian | 25 |
| BAB IV. PENGUMPULAN DAN PENGOLAHAN DATA | 28 |
| 4.1 Data hasil survei | 28 |
| 4.1.1 Dimensi Geometrik dan Waktu Sinyal Simpang Bersinyal | 28 |
| 4.1.2 Data Volume Lalu lintas | 31 |
| 4.1.3 Data Volume Lalu Lintas Tiap Sel | 42 |
| 4.2 Analisa dan Pembahasan | 57 |
| 4.2.1 Prediksi Tundaan Hasil Pemodelan | 57 |
| 4.2.2. Pemodelan CTM | 63 |
| 4.2.3. Antrian dan Tundaan Simpang | 65 |
| 4.2.3.1 Antrian dan Tundaan Data Survey(Real) | 65 |

| | |
|---|-----------|
| 4.2.3.2 Antrian dan Tundaan Metode CTM..... | 72 |
| 4.2.3.2 Antrian dan Tundaan Metode MKJI 1997 | 87 |
| 4.2.3.2 Analisa Perbandingan panjang Antrian dan Tundaan..... | 93 |
| BAB V. PENUTUP..... | 96 |
| 5.1 Kesimpulan | 96 |
| 5.2 Saran | 97 |

DaftarPustaka

Lampiran

DAFTAR GAMBAR

| | |
|--|----|
| Gambar 2.1 Konflik-konflik pada simpang bersinyal empat lengan | 9 |
| Gambar 3.1 Lokasi Jalan Basuki Rahmat | 15 |
| Gambar 3.2 Lokasi Simpang bersinyal | 16 |
| Gambar 3.3 Panjang Antara Simpang Bersinyal..... | 17 |
| Gambar 4.1 Geometrik jln basuki rahmat, jln Brigjen slamet, jln Jaksa agung suprapto | 28 |
| Gambar 4.2 Geometrik jln basuki rahmat, jln semeru, jln kahuripan | 29 |
| Gambar 4.3 Waktu sinyal koordinasi sinyal pada simpang BCA dan simpang PLN | 30 |
| Gambar 4.4 Waktu sinyal koordinasi sinyal pada simpang PLN dan simpang BCA..... | 31 |
| Gambar 4.5Simulasi survei dengan menggunakan <i>handycam</i> | 42 |

DAFTAR TABEL

| | |
|--|----|
| Tabel 2.8 Kapasitas Dasar Jalan Perkotaan (C_0) | 15 |
| Tabel 2.9 Faktor Penyesuaian Kapasitas Lebar Jalur Lalu-lintas (FC_W) | 15 |
| Tabel 2.10 Faktor Penyesuaian Kapasitas untuk Pemisahan Arah (FC_{SP}) | 16 |
| Tabel 2.11 Faktor Penyesuaian Kapasitas untuk Hambatan Samping (FC_{SF}) | 17 |
| Tabel 2.12 Faktor Penyesuaian Kapasitas UntukUkuran Kota (FC_{cs}) | 18 |
| Tabel 4.1 Hasil Survei Volume kendaraan Jl. Basuki Rahmat Selatan ke - Arah Jl. Basuki Rahmat Utara (Lurus) | 32 |
| Tabel 4.2 Hasil Perhitungan Lalulintas Perarah..... | 34 |
| Tabel 4.3 Hasil Perhitungan Volume Jl. Basuki Rahmat Utara ke - Arah Jl. Basuki Rahmat Selatan (Lurus)..... | 35 |
| Tabel 4.4. Hasil Perhitungan lalulintas perarah | 37 |
| Tabel 4.5 Hasil Perhitungan Volume Jl. Semeruke -Arah Jl. Kahuripan (Lurus) | 38 |
| Tabel 4.6 Hasil Perhitungan lalulintas perarah | 40 |
| Tabel 4.7 ArusMasukSel (Qmasuk)..... | 43 |
| Tabel 4.8 Arus Masuk Sel 7(Qmasuk)..... | 46 |
| Tabel 4.9 Arus Masuk Sel 8(Qmasuk)..... | 50 |
| Tabel 4.10 Data CTM BCA-PLN (Lancar)..... | 53 |
| Tabel 4.11 Kecepatan Arus Lalu lintas | 57 |
| Tabel 4.12 Kapasitas Ruas Jalan Antar Simpang Bersinyal | 58 |
| Tabel 4.13 Arus Jenuh (saturation Flow) Pendekat Simpang | 59 |
| Tabel 4.14 Kecepatan Rata-Rata Kendaraan Kantor BCA - Kantor PLN | 60 |
| Tabel 4.15 Kecepatan Rata-Rata Kendaraan Kantor PLN - Kantor BCA | 61 |
| Tabel 4.16 Pemodelan CTM | 64 |

| | |
|---|----|
| Tabel 4.17 BCA-PLN (Lancar) | 65 |
| Tabel 4.18 Data Antrian Real BCA-PLN (Lancar) | 67 |
| Tabel 4.19 BCA-PLN (Macet) | 67 |
| Tabel 4.20 Data Antrian Real BCA-PLN (Macet) | 68 |
| Tabel 4.21 PLN-BCA (Lancar)..... | 68 |
| Tabel 4.22 Data Antrian Real PLN-BCA (Lancar)..... | 70 |
| Tabel 4.23 PLN-BCA (Macet)..... | 70 |
| Tabel 4.24 Data Antrian Real PLN-BCA (Macet)..... | 71 |
| Tabel 4.25 Pemodelan CTM BCA-PLN kondisi Lancar | 72 |
| Tabel 4.26 Data Antrian CTM BCA-PLN (Lancar) | 73 |
| Tabel 4.27 Pemodelan CTM BCA-PLN kondisi Lancar | 74 |
| Tabel 4.28 Data Tundaan CTM BCA-PLN (Lancar) | 75 |
| Tabel 4.29 Pemodelan CTM BCA-PLN kondisi Macet | 76 |
| Tabel 4.30 Data Antrian CTM BCA-PLN (Macet) | 77 |
| Tabel 4.31 Pemodelan CTM BCA-PLN kondisi Macet | 78 |
| Tabel 4.32 Data Tundaan CTM BCA-PLN (Macet) | 79 |
| Tabel 4.33 Pemodelan CTM PLN-BCA kondisi Lancar | 80 |
| Tabel 4.34 Data Antrian CTM PLN-BCA (Lancar) | 81 |
| Tabel 4.35 Pemodelan CTM PLN-BCA kondisi Lancar | 82 |
| Tabel 4.36 Data Tundaan CTM PLN-BCA (Lancar) | 83 |
| Tabel 4.37 Pemodelan CTM PLN-BCA kondisi Macet | 84 |
| Tabel 4.38 Data Antrian CTM PLN-BCA (Macet) | 85 |
| Tabel 4.39 Pemodelan CTM PLN-BCA kondisi Macet | 86 |
| Tabel 4.40 Data Tundaan CTM PLN-BCA (Macet) | 87 |

DAFTAR GRAFIK

| | |
|---|----|
| Grafik 4.1 jumlah kendaraan Arah Jl. Basuki Rahmat Selatan ke - Arah Jl. Basuki Rahmat Utara (Lurus) | 35 |
| Grafik 4.2 jumlah kendaraan Arah Jl. Basuki Rahmat Utara ke - Arah Jl. Basuki Rahmat Selatan (Lurus) | 38 |
| Grafik 4.3 jumlah kendaraan Arah Jl. Semeru ke - Arah Jl. Kahuripan (Lurus) | 41 |

KATA PENGANTAR

Puji syukur kehadirat Tuhan Yang Maha Esa, karena berkat kasih karuniaNya, penulis dapat menyelesaikan proposal skripsi yang berjudul “**ANALISA KINERJA SIMPANG BERSINYAL DENGAN MENGGUNAKAN METODE CTM (CELL TRANSMISSION MODEL) PADA RUAS JALAN S. SUPRIADI (Study Kasus : Jalan S. Supriadi, kecamatan Sukun, Kota Malang)**”.

Penelitian ini bertujuan untuk mempraktekan teori-teori yang didapat dari bangku perkuliahan, serta untuk memenuhi persyaratan dalam mencapai gelar Sarjana Teknik (ST) Strata Satu (S-1) Teknik Sipil Institut Teknologi Nasional Malang.

Penulisan proposal skripsi ini, tidak dapat terselesaikan tanpa bantuan dan dukungan dari berbagai pihak. Oleh karena itu, penulis ingin mengucapkan terima kasih yang sebesar-besarnya kepada :

1. Kedua orang tua dan saudara-saudara penulis, yang telah memberikan dukungan, semangat, dan doa.
2. Bapak Ir. A. Agus Santosa,MT selaku Ketua Jurusan Teknik Sipil Institut Teknologi Nasional Malang.
3. Bapak Dr.Ir Nusa Sebayang,MT dan Bapak Ir.Togi H. Nainggolan,MS, selaku Dosen Pembimbing.
4. Bapak dan Ibu dosen pengajar di lingkungan Jurusan Teknik Sipil Institut Teknologi Nasional Malang.

5. Saudara Sipil 2013 dan teman-teman yang lain, terimakasih atas semua bantuan dan ide kreatif yang sangat membantu penulis.

Besar harapan penulis semoga proposal skripsi ini bermanfaat khususnya bagi pemerintah, Institusi ITN Malang, rekan-rekan teknik Sipil, dan para pembaca pada umumnya.

Malang, November 2016

Penulis

BAB I

PENDAHULUAN

1.1 Latar Belakang

Pertumbuhan dan perkembangan suatu wilayah, khususnya di Kota Malang, dilatar belakangi dari berbagai aspek kehidupan, seperti perkembangan penduduk, kemajuan ilmu pengetahuan dan teknologi, dinamika kegiatan ekonomi, perkembangan atau perluasan jaringan komunikasi-transportasi, dan sebagainya. Faktor-faktor tersebut akan membawa perubahan terhadap bentuk keruangan di wilayah yang bersangkutan, baik secara fisik maupun non fisik. Menurut Badan Perencanaan Pemerintah Kota Malang, perubahan tersebut jika tidak ditata dengan baik akan mengakibatkan perkembangan yang tidak terarah dan penurunan kualitas pemanfaatan ruang.

Salah satu akibat dari hal itu adalah kemacetan lalu lintas. Menurut Anonim, dalam Widhiastri, kemacetan adalah situasi atau keadaan tersendatnya atau bahkan terhentinya lalu lintas yang disebabkan oleh banyaknya jumlah kendaraan melebihi kapasitas jalan. Kemacetan banyak terjadi di kota-kota besar, terutamanya yang tidak mempunyai transportasi publik yang baik atau memadai ataupun juga tidak seimbangnya kebutuhan jalan dengan kepadatan penduduk. Kemacetan di daerah perkotaan ditimbulkan oleh pertambahan penduduk yang semakin tinggi. Secara umum, pertambahan penduduk di perkotaan diakibatkan gencarnya perpindahan penduduk dari desa ke kota.

Pertambahan penduduk yang semakin meningkat di perkotaan tentunya mengakibatkan mobilitas penduduk semakin meningkat. Apalagi saat ini banyak orang yang memiliki kendaraan pribadi untuk berpergian, baik saat bekerja maupun untuk memenuhi kebutuhan sehari-hari, seperti belanja ke pasar/mall, pergi ke sekolah atau kampus, dan sebagainya. Jaringan jalan di daerah perkotaan seharusnya direncanakan mampu menampung tingginya mobilitas penduduk tersebut. Akan tetapi, akibat dari semakin meningkatnya pertumbuhan penduduk dibarengi dengan kepemilikan kendaraan pribadi, jalan-jalan di daerah perkotaan tidak mampu untuk menanggulangi kemacetan.

Kemacetan lalu lintas terjadi karena beberapa faktor, seperti banyak pengguna jalan yang tidak tertib, pemakai jalan melawan arus, kurangnya petugas lalu lintas yang mengawasi, adanya mobil yang parkir di badan jalan, permukaan jalan tidak rata, tidak ada jembatan penyeberangan, dan tidak ada pembatasan jenis kendaraan. Banyaknya pengguna jalan yang tidak tertib, seperti adanya pedagang kaki lima yang berjualan di tepi jalan, dan parkir liar. Selain itu, ada pemakai jalan yang melawan arus. Hal ini terjadi karena kurangnya jumlah petugas lalu lintas dalam mengatasi jalannya lalu lintas terutama di jalan-jalan yang rawan macet. Kemacetan lalu lintas memberikan dampak negatif yang sangat besar bagi penduduk, seperti pemborosan bahan bakar, terbuangnya waktu secara percuma, dan kerusakan lingkungan akibat polusi udara yang dikeluarkan oleh kendaraan bermotor.

Tentu saja fenomena kemacetan di Kota Malang yang setiap tahun semakin meningkat akan menjadi masalah yang serius dan akan bertambah parah di tahun-

tahun mendatang jika tidak mendapat perhatian dan penanganan yang serius. Untuk itu dalam menyikapi permasalahan yang ada penelitian ini akan mengembangkan model Cell Transmission Model (CTM), sehingga didapatkan tundaan minimal pada seluruh ruas jalan tersebut.

1.2 Identifikasi Masalah

Identifikasi masalah pada kawasan studi sebagaimana dapat diamati langsung antara lain :

1. Tingginya Jumlah Arus lalu lintas yang menggunakan simpang tersebut mengakibatkan panjangnya kemacetan.
2. Kapasitas Jalan yang tidak memadai mengakibatkan turunnya kecepatan kendaraan dan berdampak pada besar tundaan.
3. Menganalisa metode prediksi kinerja simpang menggunakan metode MKJI

1.3 Rumusan Masalah

Pada penelitian ini akan membahas rumusan masalah sebagai berikut :

1. Bagaimana kinerja simpang pada pendekat Utara di simpang BCA dan pendekat Selatan di simpang PLN?
2. Bagaimana Perbandingan kinerja simpang dengan menggunakan metode CTM dan MKJI yang di bandingkan dengan data sesungguhnya (real)?

1.4 Tujuan dan Manfaat

Adapun tujuan dan manfaat dari penelitian adalah :

a. Tujuan

Tujuan penelitian ini adalah mengembangkan model transmisi sel (*cell transmission model*) dalam perambatan kendaraan pada ruas antar simpang bersinyal jl basuki rahmat, kota Malang.

b. Manfaat

Memprediksi tundaan yang dialami oleh kendaraan pada ruas jalan akibat terjadinya pengurangan kapasitas jalan pada suatu lokasi tertentu di ruas jalan tersebut yang diakibatkan oleh terjadinya kecelakaan lalu lintas ataupun akibat adanya gangguan lain yang mengakibatkan sebagian badan jalan ditutup.

1.5 Ruang Lingkup Masalah

Karena adanya keterbatasan waktu maka penulis membatasi studi ini. Adapun batasan-batasan masalah pada studi ini sebagai berikut:

1. Pengolahan data menggunakan metode CTM (*Cell transmission model*).
2. Volume lalu lintas berdasarkan survey yang dilakukan pada jam-jam sibuk.
3. Lokasi studi yang diambil hanyalah pada ruas jalan Basuki Rahmat (BCA-PLN dan PLN-BCA)

BAB II

DASAR TEORI

2.1 Studi-Studi Sebelumnya

Penulisan tugas akhir ini berdasarkan referensi beberapa jurnal dan *website* sebelumnya, maka dengan ini penulis mengambil referensi dari beberapa jurnal dan *website* sebelumnya. Penelitian skripsi yang menjadi referensi penulis mengenai Analisis Karakteristik Pergerakan Lalu Lintas pada Jaringan Simpang Bersinyal dengan menggunakan Metode CTM (*Cell Transmission Model*) di Jalan S. Surpiadi, Kecamatan Sukun, Kota Malang. Beberapa penulisan/studi yang menjadi acuan dari penelitian ini adalah :

- a. Jurnal Pengembangan Model Optimasi Offset Sinyal Lampu Isyarat Lalu Lintas Pada Jaringan ATCS ATCS (*AREA TRAFFIC CONTROL SYSTEM*) berbentuk Grid menggunakan Model Transimission Sell (CTM).

Pada Jurnal ini, akan dikembangkan model optimasi offset sinyal pada jaringan simpang bersinyal yang berbentuk grid menggunakan model CTM, sehingga didapatkan tundaan minimal pada seluruh simpang pada ATCS tersebut.

- b. Jurnal Model Sel Transmisi (Catatan Kuliah di Teknik Dan Manajemen Lalu Lintas).

Dalam catatan kuliah ini dicatat model dan transmisi sel hidrodinamik Model dan kesetaraan mereka dibahas. Model transmisi sel dijelaskan dalam dua bagian, pertama dengan hanya sumber dan tenggelam, dan kemudian diperluas ke jaringan. Pada bagian pertama, konsep persamaan aliran kemajuan dasar CTM dan bentuk umum dari CTM disajikan. Selain itu, fenomena ketidakstabilan juga dibahas. Di segmen kedua, representasi jaringan dan topologi ditetapkan, setelah model tersebut dibahas dalam hal formulasi program linier untuk penggabungan dan divergen

- c. Jurnal Deskripsi Lalu Lintas Di Kota Malang

Pada jurnal ini membahas tentang mengetahui kondisi dan faktor-faktor yang memengaruhi kemacetan tersebut. Pengambilan data dilakukan dengan teknik *purposive sampling* yang mana diambil beberapa titik kemacetan di Kota Malang. Dari jurnal ini penulis mendapatkan informasi penyebab kemacetan yang terjadi di kota Malang.

d. Analisa kinerja simpang bersinyal

Dari jurnal ini penulis mendapatkan informasi tentang Analisis kinerja simpang bersinyal menggunakan metode pendekatan MKJI (Manual Kapasitas Jalan Indonesia) .

2.2 Pengertian Persimpangan

Persimpangan merupakan bagian yang tidak terpisahkan dari semua sistem jalan. Ketika berkendara di dalam kota, orang dapat melihat bahwa kebanyakan jalan di daerah perkotaan biasanya memiliki persimpangan, di mana pengemudi dapat memutuskan untuk jalan terus atau berbelok dan pindah jalan.

Menurut Kementerian Perhubungan Direktorat Jenderal Perhubungan Darat, persimpangan adalah simpul pada jaringan jalan di mana jalan-jalan bertemu dan lintasan kendaraan berpotongan. Lalu lintas pada masing-masing kaki persimpangan bergerak secara bersama-sama dengan lalu lintas lainnya.

Persimpangan-persimpangan merupakan faktorfaktor yang paling penting dalam menentukan kapasitas dan waktu perjalanan pada suatu jaringan jalan, khususnya di daerah-daerah perkotaan.

Karena persimpangan harus dimanfaatkan bersama-sama oleh setiap orang yang ingin menggunakannya, maka persimpangan tersebut harus dirancang dengan hati-hati, dengan mempertimbangkan efisiensi, keselamatan, kecepatan, biaya operasi, dan kapasitas. Pergerakan lalu lintas yang terjadi dan urutan-urutannya dapat ditangani dengan berbagai cara, tergantung pada jenis persimpangan yang dibutuhkan (Sumber : C. Jotin Khisty)

Khisty menambahkan, persimpangan dibuat dengan tujuan untuk mengurangi potensi konflik diantara kendaraan (termasuk pejalan kaki) dan sekaligus menyediakan kenyamanan maksimum dan kemudahan pergerakan bagi kendaraan

2.3 Jenis-jenis Persimpangan

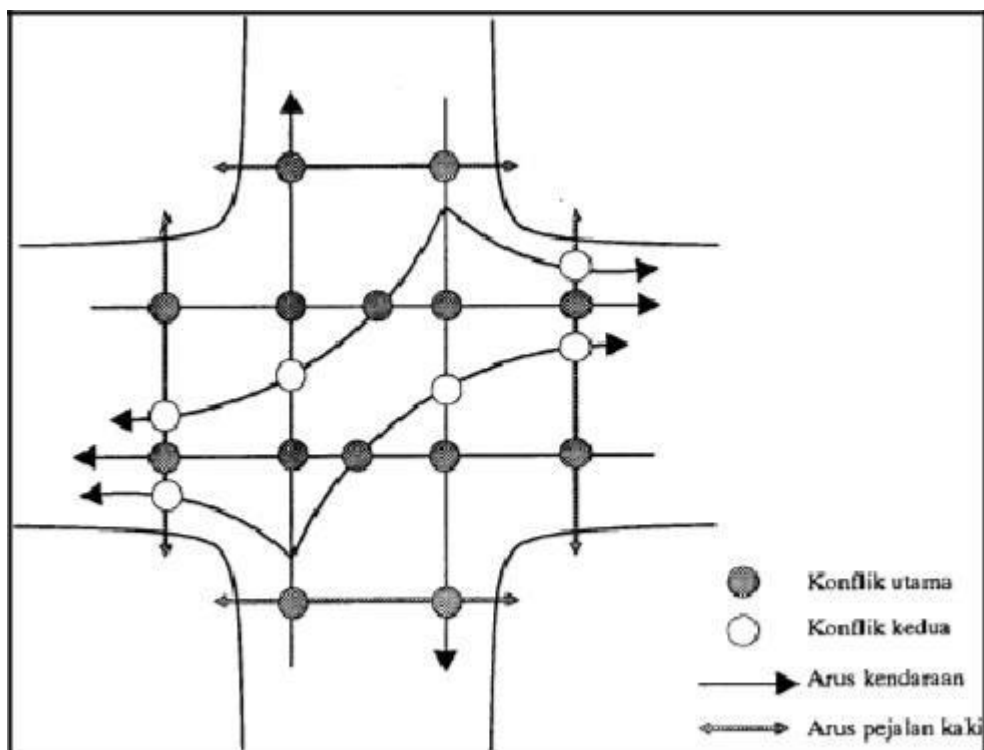
Secara umum terdapat tiga jenis persimpangan, yaitu persimpangan sebidang, pembagian jalur jalan tanpa ramp, dan simpang susun atau interchange (Sumber : Khisty). Sedangkan menurut Sumber : F.D. Hobbs, terdapat tiga tipe umum pertemuan jalan, yaitu pertemuan jalan sebidang, pertemuan jalan tak sebidang, dan kombinasi antara keduanya.

Persimpangan sebidang (*intersection at grade*) adalah persimpangan di mana dua jalan atau lebih bergabung pada satu bidang datar, dengan tiap jalan raya mengarah keluar dari sebuah persimpangan dan membentuk bagian darinya (Khisty).

2.4 Simpang Bersinyal

Simpang-simpang bersinyal merupakan bagian dari sistem kendali waktu tetap yang dirangkai atau sinyal aktual kendaraan terisolir. Simpang bersinyal biasanya memerlukan metode dan perangkat lunak khusus dalam analisanya.

Kapasitas simpang dapat ditingkatkan dengan menerapkan aturan prioritas sehingga simpang dapat digunakan secara bergantian. Pada jam-jam sibuk hambatan yang tinggi dapat terjadi, untuk mengatasi hal itu pengendalian dapat dibantu oleh petugas lalu lintas namun bila volume lalu lintas meningkat sepanjang waktu diperlukan sistem pengendalian untuk seluruh waktu (*full time*) yang dapat bekerja secara otomatis. Pengendalian tersebut dapat digunakan alat pemberi isyarat lalu intas (*traffic signal*) atau sinyal lalu lintas.



Gambar 2.1 Konflik-konflik pada simpang bersinyal empat lengan (Sumber: MKJI)

Menurut MKJI , pada umumnya penggunaan sinyal lalu lintas pada persimpangan dipergunakan untuk satu atau lebih alasan berikut ini.

1. Untuk menghindari kemacetan simpang akibat adanya konflik arus lalu lintas, sehingga terjamin bahwa suatu kapasitas tertentu dapat dipertahankan, bahkan selama kondisi lalu lintas jam puncak.
2. Untuk memberi kesempatan kepada kendaraan dan/atau pejalan kaki dari jalan simpang (kecil) untuk memotong jalan utama.
3. Untuk mengurangi jumlah kecelakaan lalu lintas akibat tabrakan antara kendaraan-kendaraan dari arah yang bertentangan.

2.5 Karakteristik Lalu Lintas

Lalu lintas di dalam Undang-undang No.22 tahun 2009 didefinisikan sebagai gerak kendaraan dan orang di Ruang Lalu lintas Jalan. Sedang yang dimaksud dengan Ruang Lalu Lintas

jalan adalah prasarana yang diperuntukkan bagi gerak pindah kendaraan, orang, dan / barang yang berupa jalan dan fasilitas pendukung.

Pemerintah mempunyai tujuan untuk mewujudkan lalu lintas dan angkutan jalan yang selamat, aman, cepat, lancar, tertib dan teratur, nyaman dan efisien melalui manajemen lalu lintas dan rekayasa lalu lintas. Tata cara berlalu lintas di jalan diatur dengan peraturan perundang – undangan menyangkut arah lalu lintas, prioritas menggunakan jalan, lajur lalu lintas dan pengendalian arus di persimpangan.

Berdasarkan hasil pengamatan, pola pergerakan lalu lintas memiliki karakteristik. Karakteristik tersebut terbentuk atas beberapa karakteristik komponen– komponen lalu lintas. Dalam evaluasi persimpangan tak bersinyal komponen-komponen lalu lintas yang diamati adalah:

1. Kendaraan ringan (LV)
2. Kendaraan berat (HV)
3. Sepeda motor (MC)
4. Kendaraan tak bermotor (UM)

2.6 Cell Transmission Model (CTM)

2.6.1 Pengertian *Cell Transmission Model* (CTM)

Pada model transmisi sel (CTM), ruas jalan antar simpang dibagi atas sel-sel, dimana masing-masing sel diisi oleh kendaraan. Kendaraan akan bergerak merambat dari sel hulu ke sel hilir. Model transmisi sel (CTM) ini pada awalnya digunakan untuk memprediksi tundaan yang dialami oleh kendaraan pada ruas jalan akibat terjadinya pengurangan kapasitas jalan pada suatu lokasi tertentu di ruas jalan tersebut yang

Sedangkan jumlah sel pada masing-masing ruas adalah hasil pembagian panjang ruas dengan panjang sel. Lalu lintas pada ruas jalan akan merambat dari sel ke sel. Perambatan pergerakan kendaraan antar sel pada CTM yang dirumuskan Daganzo adalah sebagai berikut:

$$n_i(t+1) = n_i(t) + y_i(t) - y_{i+1}(t) \dots \dots \dots \dots \quad (2)$$

$$y_i(t) = \min \{ n_{i-1}(t), Q_i(t), (W/v)[N_i(t)-n_i(t)] \} \dots \dots \dots \dots \quad (3)$$

$$y_{i+1}(t) = \min \{ n_i(t), Q_{i+1}(t), (W/v)[N_{i+1}(t)-n_{i+1}(t)] \} \dots \dots \dots \dots \quad (4)$$

dimana:

indeks i : menunjukkan sel-i

t : selang waktu dinyatakan dalam *clock tick* $n_i(t)$: jumlah

kendaraan di sel-i pada waktu t

$n_i(t+1)$: jumlah kendaraan pada sel-I pada waktu (t+1)

$y_i(t)$: jumlah kendaraan yang memasuki sel-i pada waktu t $y_{i+1}(t)$: jumlah kendaraan yang memasuki sel-(i+1) pada waktu t

V : kecepatan arus bebas (*free flow speed*)

W : kecepatan gelombang kejut kearah belakang (*backward shock wave speed*)

$N_i(t)$: jumlah kendaraan maksimum yang dapat menempati sel-i pada waktu t.

$Q_i(t)$: jumlah maksimum kendaraan yang dapat mengalir memasuki sel-i.

Penerapan konsep CTM pada pergerakan kendaraan antar sel pada ruas jaringan simpang bersinyal (Li), membagi ruas antar simpang dalam empat zona yaitu zona penggabungan (*merging*), zona perambatan (*propagation*), zona penyebaran (*diverging*) dan

zona keberangkatan (*departure*). Kendaraan dari satu sel berpindah ke sel berikutnya mengikuti persamaan keseimbangan sel rumus (1) di atas. Sedangkan untuk sel di zona *departure*, kendaraan akan dapat berpindah ke sel berikut di ruas berikutnya apabila sinyal hijau menyala, dan kendaraan tidak bisa keluar apabila sinyal merah menyala. Selama sinyal lampu merah menyala maka jumlah kendaraan di dalam sel tersebut akan terus bertambah hingga sel tersebut penuh. Apabila sinyal lampu masih tetap merah, sedangkan sel di ujung sudah penuh, maka jumlah kendaraan di dalam sel pada sel sebelum ujung akan bertambah, demikian seterusnya hingga sinyal hijau menyala. Ketika sinyal hijau menyala maka sel ujung akan mengeluarkan kendaraan dari sel *departure* sebesar arus jenuh dari pendekat simpang tersebut.

$$d_{ij}(t)$$

2.6.4 Perumusan Besar Tundaan

Besarnya tundaan yang dialami kendaraan pada simpang bersinyal dapat dihitung dengan menghitung lama waktu kendaraan tertahan pada suatu sel. Apabila pada sel, jumlah kendaraan yang masuk dan jumlah kendaraan yang keluar dalam interval waktu t (*clock tick*) adalah sama besar dan tidak ada kendaraan yang tertinggal di sel maka kendaraan pada sel tersebut tidak mengalami tundaan. Sebaliknya apabila jumlah kendaraan yang keluar sel lebih kecil dari jumlah kendaraan yang masuk sel sehingga ada sejumlah kendaraan tertinggal didalam sel tersebut, maka kendaraan tersebut mengalami tundaan. Dengan pendekatan tersebut, besar tundaan yang dialami kendaraan dapat diestimasi dengan mengitung pertambahan waktu kendaraan pada seluruh sel di seluruh ruas jalan. Jumlah kendaraan yang mengalami tundaan di tingkat sel dirumuskan (Lo), sebagai berikut:

$$d_{ij}(t) = n_{ij}(t) - y_{i,j+1}(t) \dots \dots \dots \quad (5)$$

dimana:

= jumlah kendaraan yang mengalami tundaan pada sel-j ruas-i pada waktu t .

$n_{ij}(t)$ = jumlah kendaraan pada sel-j ruas-i $y_{i,j+1}(t)$ = arus keluar dari sel-j pada ruas-i

2.7 Manual Kapasitas Jalan Indonesia (MKJI)

Perhitungan volume, kapasitas, waktu siklus dan lain-lain dilakukan berdasarkan persamaan dalam MKJI (1997). Beberapa persamaan dasar yang penting dalam penelitian ini diberikan berikut ini.

a. Perhitungan penilaian arus jenuh (S)

Penghitungan nilai arus jenuh ini dapat diselesaikan dengan menggunakan persamaan di bawah ini. Persamaan tersebut diperoleh dari survai langsung di lapangan dengan melihat besarnya komposisi lalu lintas, perilaku pengemudi dan perkembangan samping jalan di Indonesia.

$$S = So \times FCS \times FSF \times FG \times FP$$

$$\times FRT \times FLT (6)$$

dengan,

So = Arus jenuh dasar

FCS = Faktor koreksi ukuran kota

FSF = Faktor koreksi gangguan samping

FG = Faktor koreksi kelandaian

FP = Faktor koreksi parkir

FRT = Faktor koreksi belok kanan

FLT = Faktor koreksi belok kiri

b. Kapasitas

Kapasitas didefinisikan sebagai arus maksimum yang melalui suatu titik di jalan persatuan jam pada kondisi tertentu. Untuk jalan dua-lajur dua-arah, kapasitas ditentukan untuk arus dua arah (kombinasi dua arah), tetapi untuk jalan dengan banyak lajur, arus dipisahkan per arah dan kapasitas ditentukan per lajur.

Nilai kapasitas diamati melalui pengumpulan data lapangan selama memungkinkan. Kapasitas juga diperkirakan dari analisa kondisi iringan lalu-lintas dan secara teoritis dengan mengasumsikan hubungan matematik antara kepadatan, kecepatan, dan arus. Kapasitas dinyatakan dalam satuan mobil penumpang (smp).

$$C = C_0 \times FCW \times FCSP \times FCsf \times FCCS \dots \dots \dots \quad (2.2)$$

Dengan:

C : kapasitas (smp/jam),

C_0 : kapasitas dasar (smp/jam),

FCW : faktor penyesuaian lebar jalan,

$FCSP$: faktor penyesuaian pemisahan arah (hanya untuk jalan tak terbagi),

$FCsf$: faktor penyesuaian hambatan samping dan bahu jalan/kereb,

$FCCS$: faktor penyesuaian ukuran kota.

Jika kondisi sesungguhnya sama dengan kondisi dasar (ideal) yang ditentukan sebelumnya maka semua faktor penyesuaian menjadi 1,0 dan kapasitas menjadi sama dengan kapasitas dasar. Adapun faktor-faktor penyesuaian yang digunakan untuk perhitungan pada kapasitas seperti ditunjukkan dalam Tabel 2.8, Tabel 2.9, Tabel 2.10.

Tabel 2.8 Kapasitas Dasar Jalan Perkotaan (C₀)

c.

d.

| Tipe jalan | Kapasitas dasar (smp/jam) | Keterangan |
|--|------------------------------|----------------|
| Jalan 4 lajur berpembatas median atau jalan satu arah | 1650 | Per lajur |
| Jalan 4 lajur tanpa pembatas median | 1500 | Per lajur |
| Jalan 2 lajur tanpa pembatas median e. | 2900 | Total dua arah |

Sumber : MKJI 1997

Tabel 2.9 Faktor Penyesuaian Kapasitas Lebar Jalur Lalu-lintas (F_{CW})

f.

| Tipe jalan | Lebar jalan efektif (m) | (F _{CW}) |
|--|-------------------------|--------------------|
| | Per lajur | |
| | 3.00 | 0.92 |
| Jalan 4 lajur berpembatas median atau jalan satu arah | 3.25 | 0.96 |
| | 3.50 | 1.00 |
| | 3.75 | 1.04 |
| | 4.00 | 1.08 |
| | Per lajur | |
| | 3.00 | 0.91 |
| Jalan 4 lajur tanpa pembatas median | 3.25 | 0.95 |

| | | |
|-------------------------------------|------|------|
| | 3.50 | 1.00 |
| | 3.75 | 1.05 |
| | 4.00 | 1.09 |
| <hr/> | | |
| Dua arah | | |
| | 5 | 0.56 |
| | 6 | 0.87 |
| | 7 | 1.00 |
| Jalan 2 lajur tanpa pembatas median | | |
| | 8 | 1.14 |
| | 9 | 1.25 |
| | 10 | 1.29 |
| | 11 | 1.34 |
| g. | | |

Sumber : MKJI 1997

h. **Tabel 2.10 Faktor Penyesuaian Kapasitas untuk Pemisahan Arah (FCsp)**

| Pembagian arah (%-%) | 50-50 | 55-45 | 60-40 | 65-35 | 70-30 |
|---|-------|-------|-------|-------|-------|
| <hr/> | | | | | |
| 2-lajur 2-arah tanpa pembatas median | 1.00 | 0.97 | 0.94 | 0.91 | 0.88 |
| FCsp (2/2 UD) | | | | | |

-
- i.
j. 4-lajur 2-arah tanpa
pembatas median 1.00 0.985 0.97 0.955 0.94 (4/2 UD)
k.
-

Sumber : MKJI 1997

Tabel 2.11 Faktor Penyesuaian Kapasitas untuk Hambatan Samping (FCSF)

| Tipe jalan | Kelas gangguan samping | <i>Faktor koreksi akibat gangguan samping dan lebar bahu jalan</i> | | | |
|--|------------------------|--|------|------|-------|
| | | Lebar bahu jalan efektif | | | |
| | | ≤ 0.5 | 1.0 | 1.5 | ≥ 2.0 |
| 4-lajur 2-arah berpembatas median (4/2 D) | Sangat rendah | 0.96 | 0.98 | 1.01 | 1.03 |
| | Rendah | 0.94 | 0.97 | 1.00 | 1.02 |
| | Sedang | 0.92 | 0.95 | 0.98 | 1.00 |
| | Tinggi | 0.88 | 0.92 | 0.95 | 0.98 |
| | Sangat Tinggi | 0.84 | 0.88 | 0.92 | 0.96 |
| 4-lajur 2-arah tanpa pembatas median (4/2 UD) | Sangat rendah | 0.96 | 0.99 | 1.01 | 1.03 |
| | Rendah | 0.94 | 0.97 | 1.00 | 1.02 |
| | Sedang | 0.92 | 0.95 | 0.98 | 1.00 |
| | Tinggi | 0.87 | 0.91 | 0.94 | 0.98 |
| | Sangat Tinggi | 0.80 | 0.86 | 0.90 | 0.95 |
| 2-lajur 2-arah tanpa pembatas median (2/2 UD) atau jalan | Sangat rendah | 0.94 | 0.96 | 0.99 | 1.01 |
| | Rendah | 0.92 | 0.94 | 0.97 | 1.00 |
| | Sedang | 0.89 | 0.92 | 0.95 | 0.98 |
| | Tinggi | 0.82 | 0.86 | 0.90 | 0.95 |

1 arah

| | | | | |
|---------------|------|------|------|------|
| Sangat Tinggi | 0.73 | 0.79 | 0.85 | 0.91 |
|---------------|------|------|------|------|

Sumber : MKJI 1997

**Tabel 2.12 Faktor Penyesuaian Kapasitas
Untuk Ukuran Kota (FCCS)**

| Ukuran kota (juta penduduk) | Faktor koreksi untuk ukuran kota |
|-----------------------------|----------------------------------|
| < 0,1 | 0,86 |
| 0,1 – 0,5 | 0,90 |
| 0,5 – 1,0 | 0,94 |
| 1,0 – 1,3 | 1,00 |
| > 1,3 | 1,03 |

Sumber : MKJI (1997)

d. Derajat Kejemuhan

Derajat kejemuhan merupakan rasio arus lalu lintas terhadap kapasitas, yang digunakan sebagai faktor utama dalam penentuan kinerja simpang. Nilai derajat jemuhan ditentukan dengan persamaan di bawah ini.

$$DS = Q/C(3) \dots \dots \dots \dots \dots (8)$$

dengan,

DS = Derajat jemuhan

$Q =$ Arus lalu lintas (smp/jam)

$C =$ Kapasitas (smp/jam)

e. Panjang antrian

Dari nilai derajat jenuh dapat digunakan untuk menghitung jumlah antrian smp (NQ_1) yang merupakan sisa dari fase hijau terdahulu, diperoleh dari persamaan:

Untuk $DS > 0,5$

$$NQ_1 = 0,25 \times C \times [(DS - 1)$$

$$\sqrt{\frac{2}{(DS - 1)} - 8} \quad (9)$$

C

Untuk $DS \leq 0,5$

$$NQ_1 = 0 \quad (10)$$

dengan,

$NQ_1 =$ Jumlah smp yang tersisa dari

fase hijau sebelumnya

$DS =$ Derajat jenuh

$GR =$ Rasio hijau

$C =$ Kapasitas (smp/jam) =

$$S \times GR$$

Kemudian dihitung jumlah antrian smp yang datang selama fase merah (NQ_2), dengan persamaan berikut:

$$NQ_2 = \frac{1}{c} \frac{GR}{DS} Q$$

dengan,

NQ_2 = Jumlah smp yang datang

selama fase merah

1 = Volume lalu lintas yang masuk di luar LTOR (smp/detik)

c = Waktu siklus (detik)

DS = Derajat jenuh

GR = Rasio hijau (detik)

Untuk menghitung jumlah antrian total dengan menjumlahkan kedua hasil di atas.

$$NQ = NQ_1 + NQ_2 \quad (11)$$

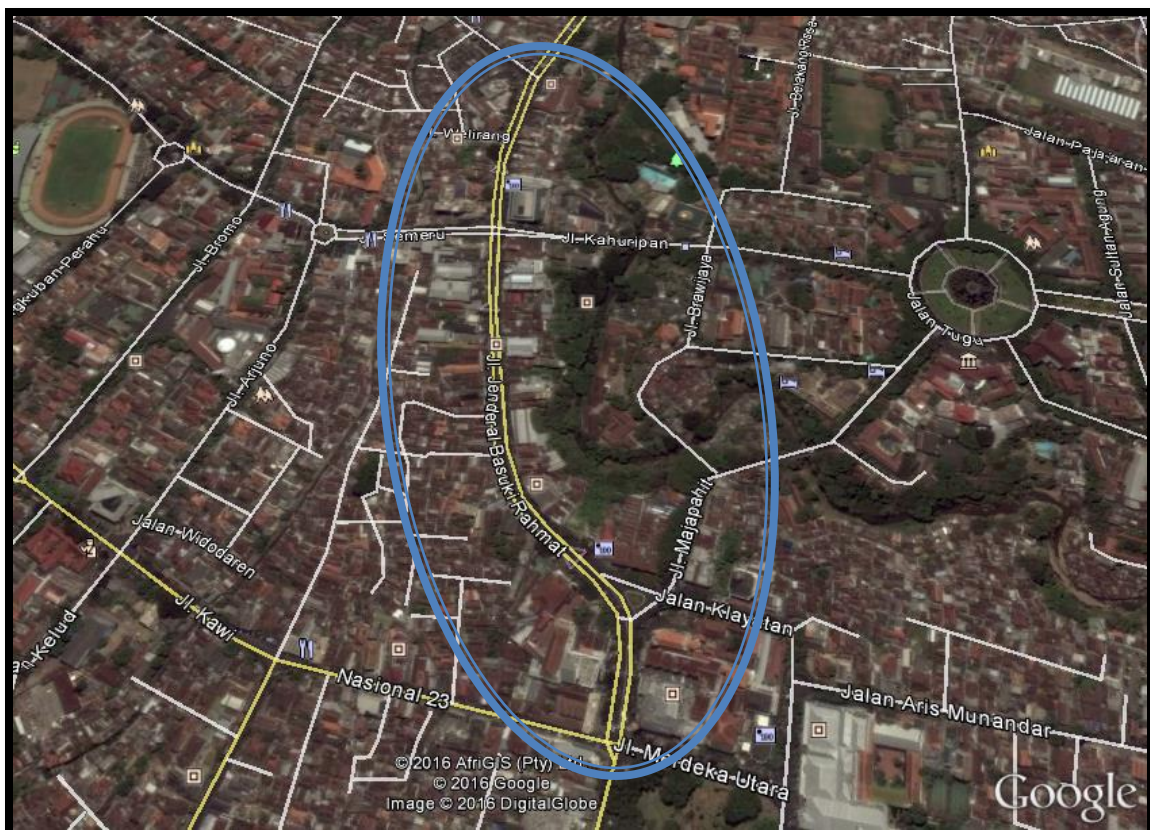
BAB III

METODOLOGI PENELITIAN

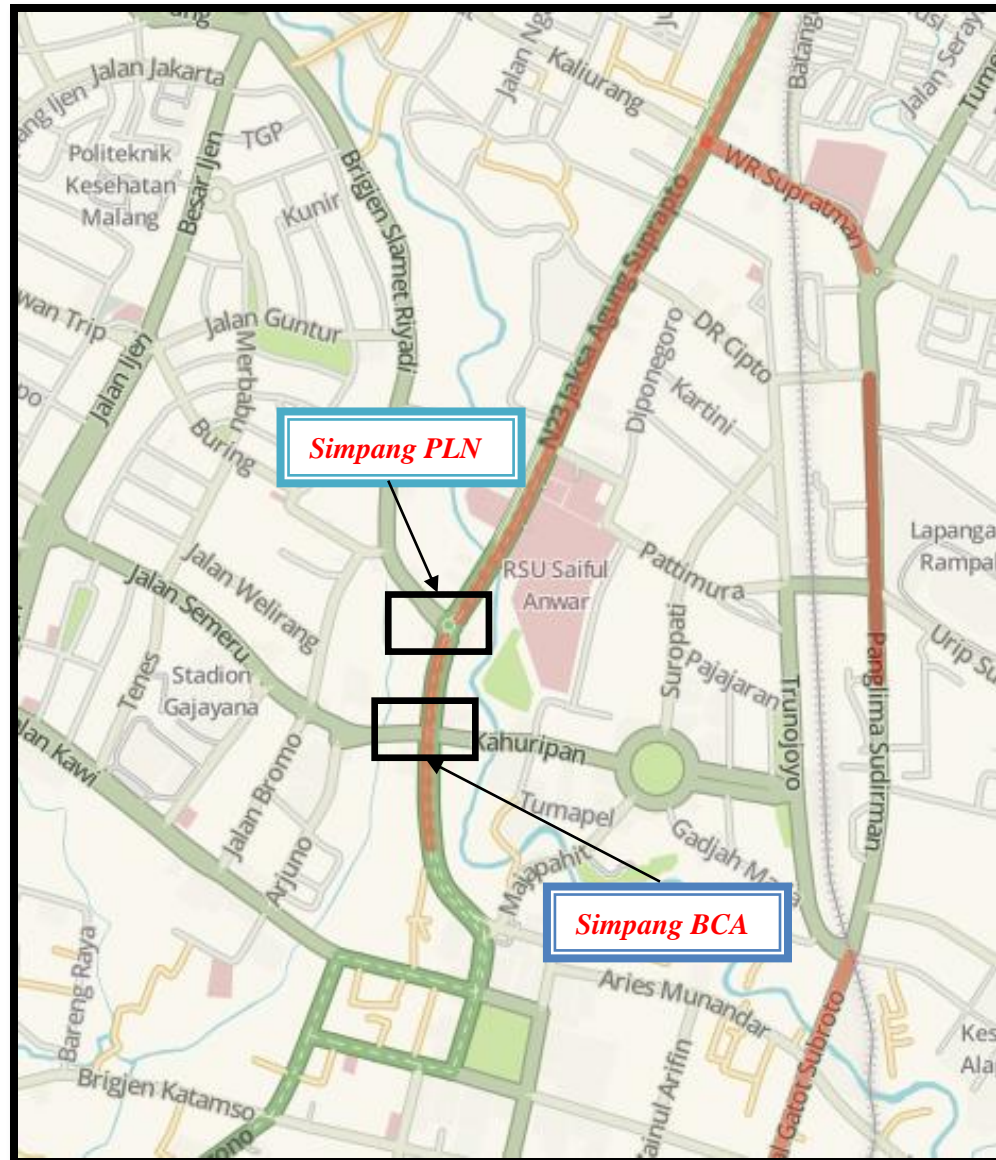
3.1 Lokasi Penelitian

Penelitian ini Berlokasi di Jalan Basuki Rahmat , kecamatan Klojen, Kota Malang. Panjang ruas jalan yang di teliti berkisar ± 800 m. Adapun lokasi penelitian ini dapat di lihat pada gambar berikut :

Lokasi Jalan Basuki Rahmat

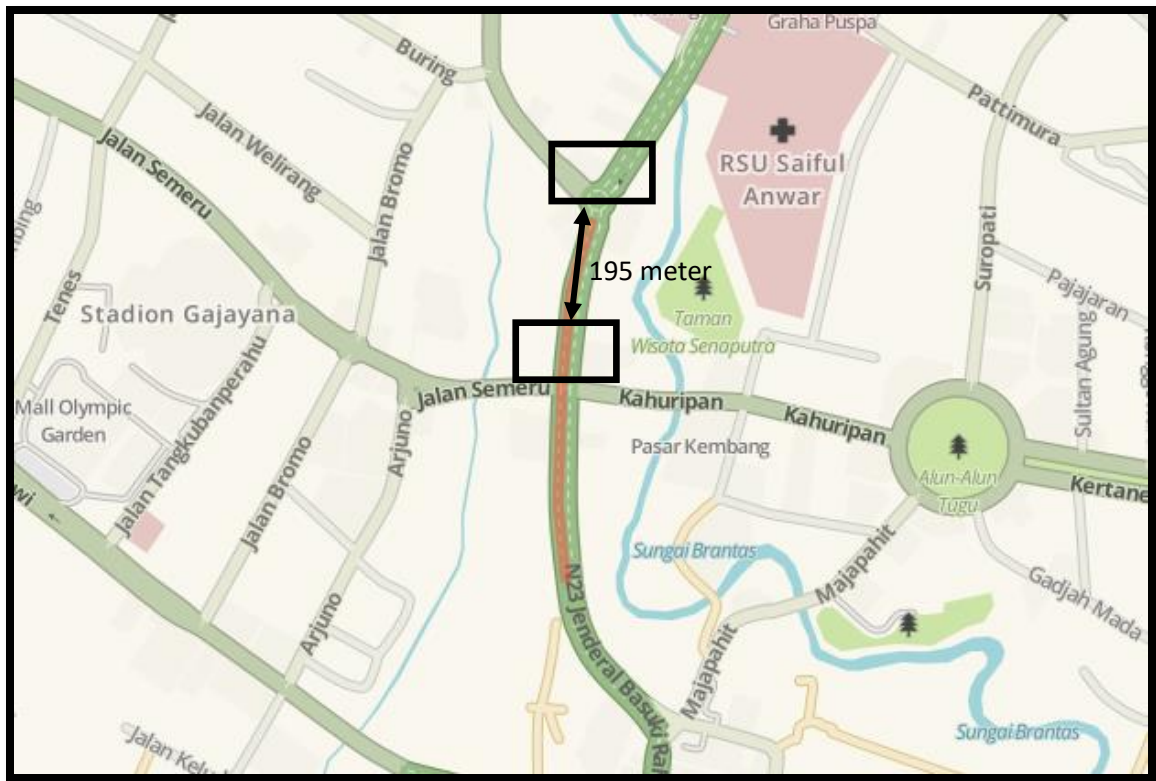


Gambar 3.1 Lokasi Jalan Basuki Rahmat



Gambar 3.2 Lokasi Simpang bersinyal

Jarak Antar Simpang Bersinyal



Gambar 3.3 Panjang Atara Simpang Bersinyal

3.2 Alat dan Bahan

Peralatan dan bahan yang akan digunakan dalam penelitian ini meliputi :

3.2.1 Alat Penelitian

Peralatan yang digunakan dalam penelitian ini adalah :

1. Perangkat keras :
 - a. Laptop Toshiba processor 3 2,30 Ghz dan RAM 6 GB
 - b. Kamera Nikon D5300

- c. Meteran
 - d. *Stopwatch*
2. Perengkat Lunak :
- a. *Microsoft Excel 2016*

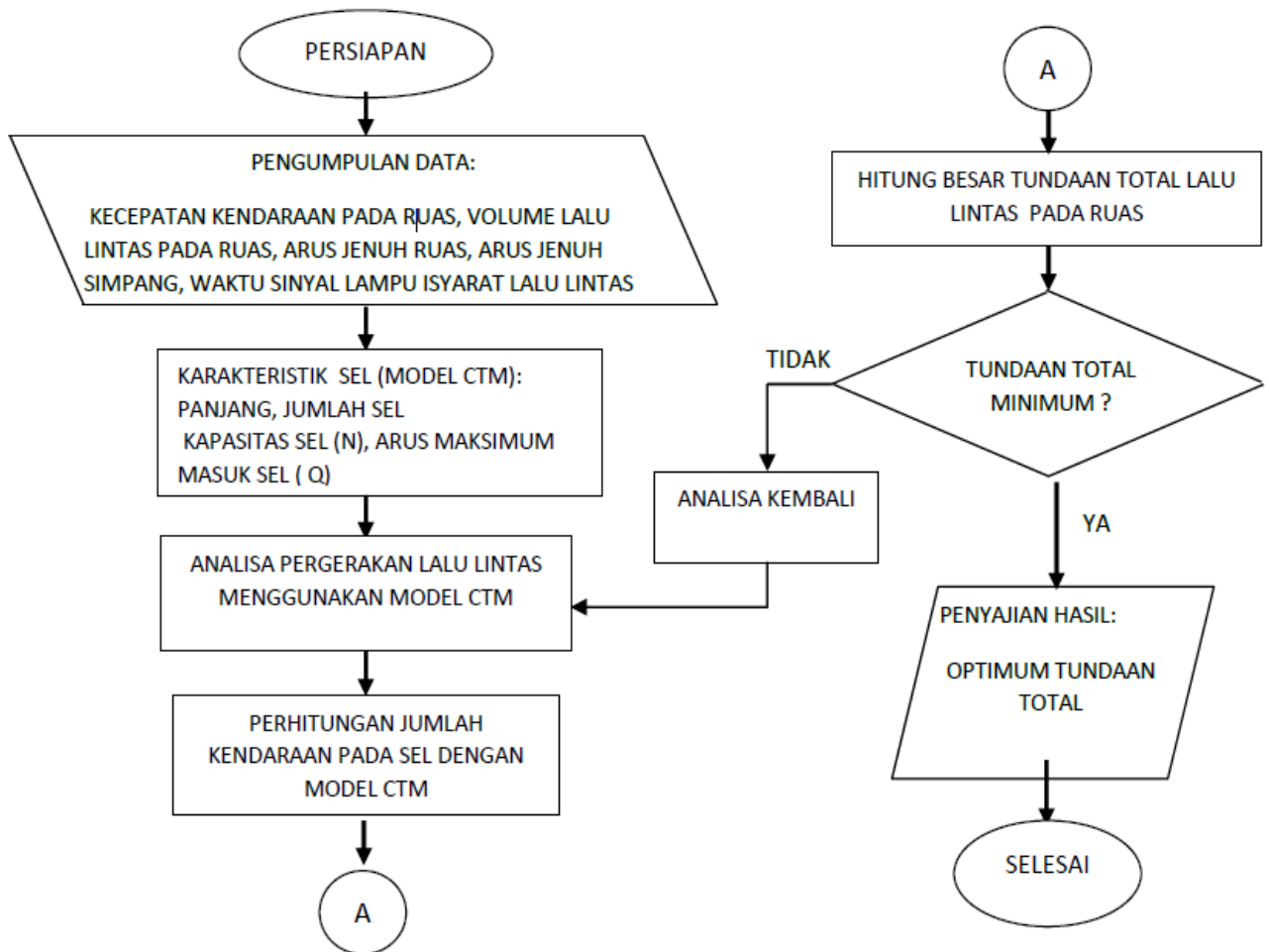
3.2.2 Bahan Penelitian

Bahan yang digunakan dalam penelitian ini adalah :

- a. Data kecepatan kendaraan
- b. Volume lalu lintas pada ruas
- c. Arus jenuh ruas
- d. Arus jenuh simpang
- e. Waktu sinyal lampu isyarat lalu lintas

3.3 Tahapan Penelitian

Berikut ini diagram alir yang menggambarkan tahapan dalam penelitian sebagai berikut :



Penjelasan diagram alir :

1. Persiapan

Dalam tahap ini dilakukan persiapan-persiapan penelitian misalnya pembacaan literatur-literatur yang berhubungan dengan topik penelitian. Selain itu, juga dilakukan .

2. Pengumpulan data

Pada tahap ini dilakukan pengumpulan data-data yang diperlukan dalam penelitian. Data ini meliputi data Data kecepatan kendaraan, Volume lalulintas pada ruas, Arus jenuh ruas , Arus jenuh simpang, Waktu sinyal lampu isyarat lalu lintas.

3. Karakteristik Sel (MODEL CTM):

Pada tahap ini dilakukan penentuan karakteristik dari model CTM yang meliputi panjang ruas jalan, jumlah se, kapsitas pada sel (N), arus maksimum masuk sel (Q)

4. Analisa pergerakan lalu lintas menggunakan model CTM

Pada tahap ini di lakukan Analisa pergerakan lalu lintas dengan menggunakan karakteristik sel (Model CTM), sesuai dengan langkah ke 3.

5. Jumlah kendaraan pada sel

Pada tahap ini di lakukan perhitungan jumlah kendaraan pada sel menggunakan metode CTM. Dari perhitungan tersebut di dapatkan sebuah hasil.

6. Hitung besar tundaan total pada ruas

Pada tahap ini di lakukan perhitungan besar tundaan total pada ruas untuk mengetahui besarnya tundaan yang dialami kendaraan pada simpang bersinyal, dengan menghitung lama waktu kendaraan tertahan pada setiap sel.

7. Tundaan Total minimum

Pada tahap ini di lakukan Analisa dari hasil perhitungan besar tundaan total pada ruas Jl. Basuki Rahmat untuk mengetahui tundaan total minimum yang dialami pada jaring simpang bersinyal.

8. Penyajian Hasil

Pada tahap ini hasil yang di peroleh adalah mendapatkan optimum tundaan lalu lintas pada seluruh ruas Jl. Basuki Rahmat

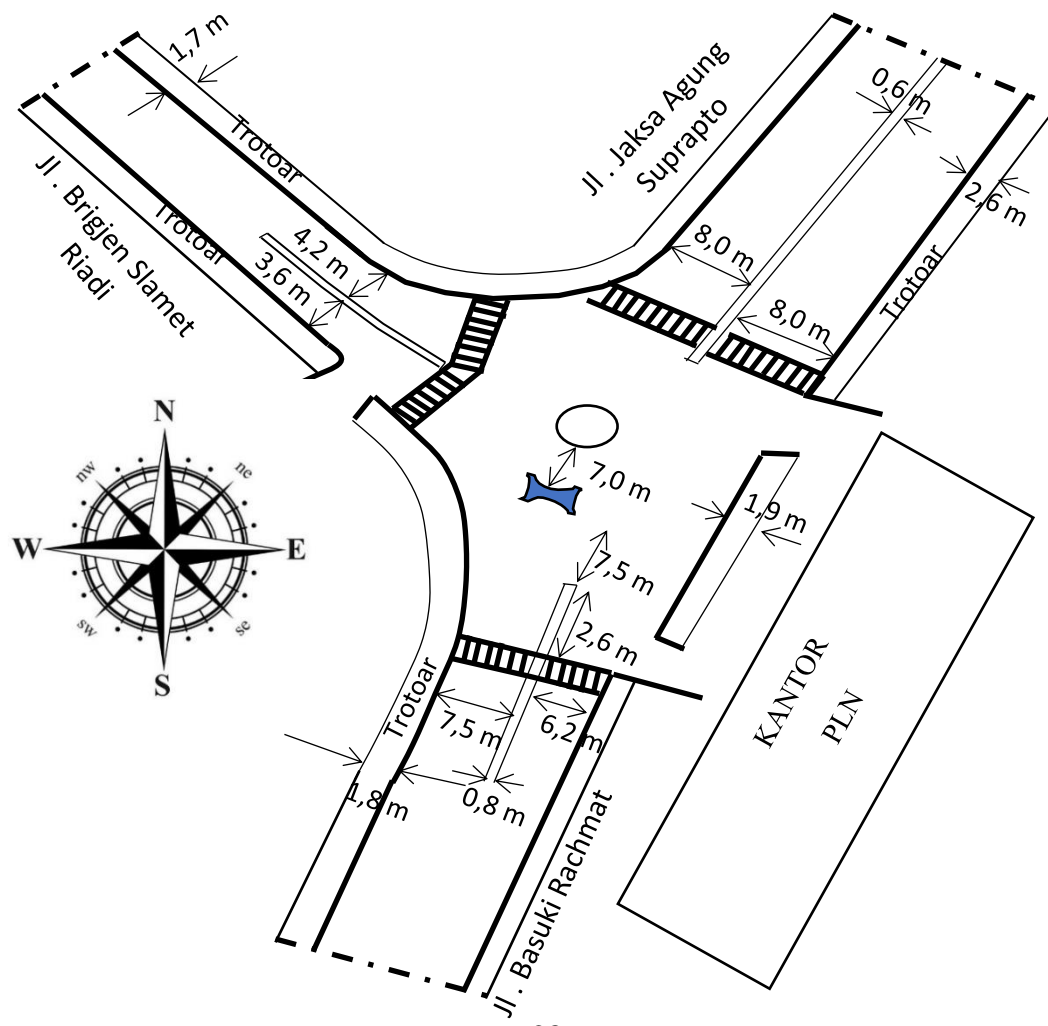
BAB IV

PENGUMPULAN DAN PENGOLAHAN DATA

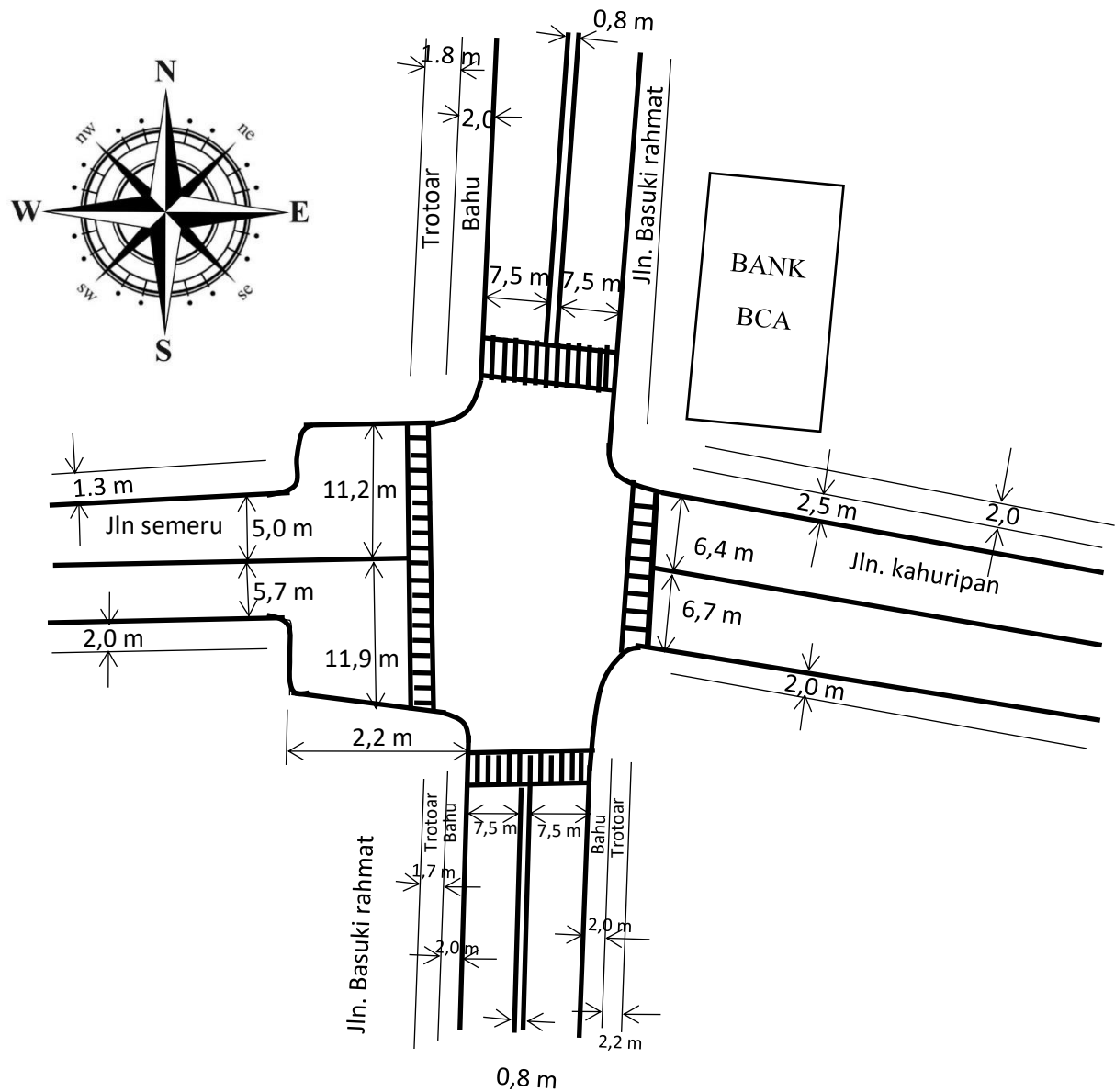
4.1. Data Hasil Survei

4.1.1 Dimensi Geometrik dan Waktu Sinyal Simpang Bersinyal

Data geometrik di dapatkan dari hasil pengukuran langsung kondisi yang ada pada lokasi studi. Data geometrik yang di peroleh meliputi: lebar jalur, lebar pemisah jalan, tinggi pemisah jalan, lebar bahu jalan.



Gambar 4.1 geometrik jalan basuki rahmat, jalan Brigjen slamet, jalan Jaksa agung suprapto



Gambar 4.2 geometrik jalan basuki rahmat, jln semeru, jn kahuripan

Pengujian model di lakukan dengan dilakukannya survei simpang bersinyal di di lokasi studi. Kedua simpang bersinyal tersebut di koordinasikan dengan mengambil panjang siklus 78 detik untuk simpang PLN dan 88 detik untuk simpang BCA. Waktu sinyal pada masing-masing simpang di perlihatkan pada Tabel 4.1 berikut.



Gambar 4.3. waktu sinyal koordinasi sinyal pada simpang BCA dan simpang PLN



Gambar 4.4. waktu sinyal koordinasi sinyal pada simpang PLN dan simpang BCA

4.1.2 Data Volume Lalu Lintas

Volume kendaraan di peroleh dari survei di lapangan selama 1 hari, Pada hari senin 13 Maret 2017. Adapun memilih hari tersebut untuk mewakili hari-hari kerja. Waktu pengamatan di lakukan pada jam 06:00-09:00 ; 11:00-14:00 dan 16:00-19:00 dengan interval 15 menit. Perhitungan volume kendaraan di lakukan dengan cara menghitung setiap kendaraan yang melewati titik atau pos pengamatan pada ruas jalan di lokasi studi.

Pada perhitungan volume lalulintas kendaraan dikelompokkan menjadi 4 jenis kelompok kendaraan yaitu:

- Tak bermotor
- Sepeda motor
- Kendaraan ringan
- Kendaraan berat

Data hasil survei di wakilkan pada tabel dan grafik di bawah ini.

Tabel 4.1 Hasil Survei Volume kendaraan Jl. Basuki Rahmat Selatan ke - Arah Jl.

Basuki Rahmat Utara (Lurus)

| PERIODE | JENIS KENDARAAN | | | |
|-------------|-----------------|--------------|--------------|-------------|
| | Tak Bermotor | Sepeda Motor | Kend. Ringan | Kend. Berat |
| 06.00-06.15 | 2 | 471 | 121 | 2 |
| 06.15-06.30 | 1 | 654 | 129 | 2 |
| 06.30-06.45 | 4 | 756 | 134 | 1 |
| 06.45-07.00 | 0 | 733 | 170 | 0 |
| 07.00-07.15 | 2 | 698 | 129 | 1 |
| 07.30-07.45 | 4 | 702 | 142 | 1 |
| 07.45-08.00 | 5 | 653 | 135 | 3 |
| 08.00-08.15 | 2 | 511 | 120 | 0 |
| 08.30-08.45 | 1 | 436 | 129 | 1 |
| 08.45-09.00 | 4 | 502 | 149 | 1 |
| ISTIRAHAT | | | | |
| 11.00-11.15 | 2 | 392 | 158 | 2 |
| 11.30-11.45 | 3 | 383 | 147 | 0 |
| 11.45-12.00 | 4 | 363 | 133 | 0 |
| 12.00-12.15 | 6 | 373 | 150 | 2 |
| 12.15-12.30 | 0 | 452 | 163 | 0 |
| 12.30-12.45 | 4 | 397 | 164 | 1 |
| 12.45-13.00 | 3 | 490 | 131 | 0 |
| 13.15-13.30 | 1 | 438 | 154 | 2 |
| 13.30-13.45 | 4 | 406 | 159 | 0 |

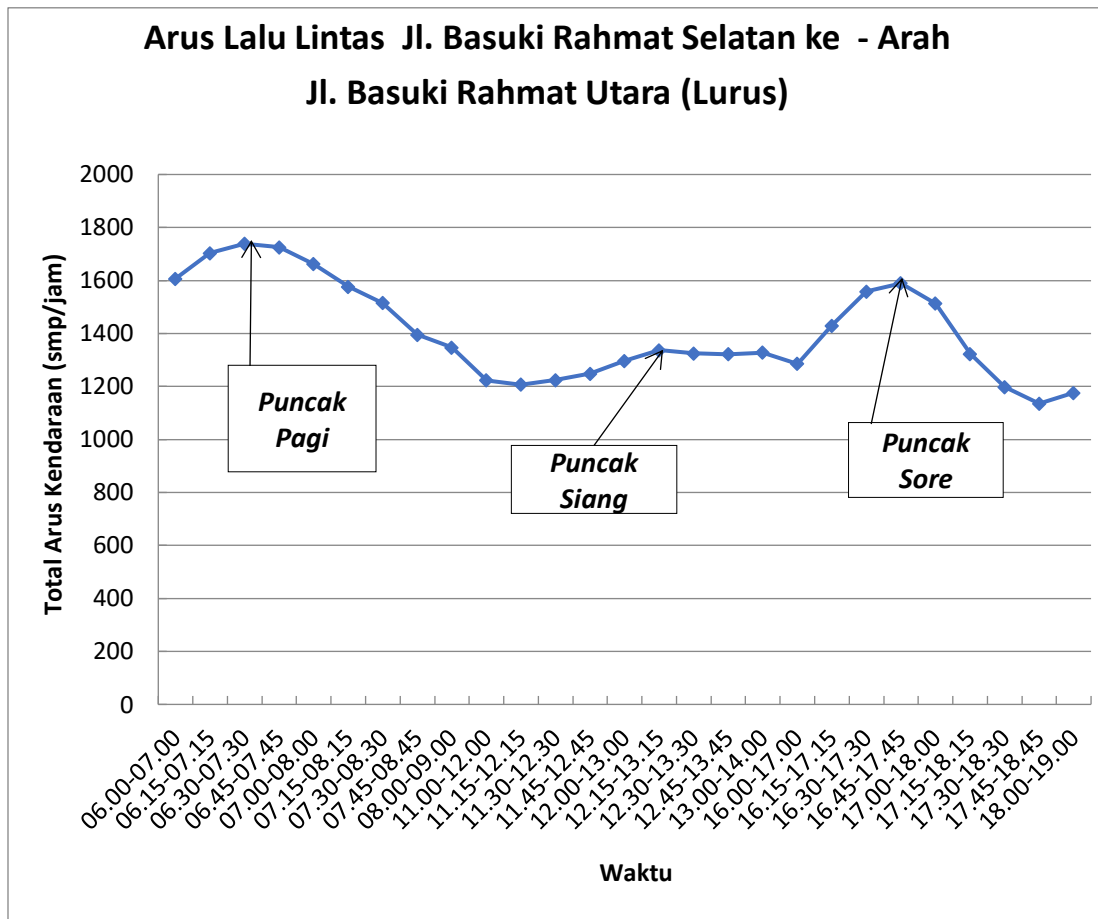
| PERIODE | JENIS KENDARAAN | | | |
|------------------|-----------------|--------------|--------------|-------------|
| | Tak Bermotor | Sepeda Motor | Kend. Ringan | Kend. Berat |
| 13.45-14.00 | 0 | 389 | 176 | 1 |
| ISTIRAHAT | | | | |
| 16.00-16.15 | 2 | 406 | 145 | 1 |
| 16.15-16.30 | 0 | 388 | 127 | 0 |
| 16.30-16.45 | 1 | 427 | 171 | 0 |
| 16.45-17.00 | 1 | 423 | 181 | 2 |
| 17.00-17.15 | 4 | 583 | 218 | 1 |
| 17.15-17.30 | 2 | 507 | 207 | 1 |
| 17.30-17.45 | 1 | 462 | 188 | 0 |
| 17.45-18.00 | 1 | 293 | 157 | 2 |
| 18.00-18.15 | 1 | 316 | 136 | 0 |
| 18.15-18.30 | 2 | 311 | 162 | 0 |
| 18.30-18.45 | 3 | 357 | 167 | 0 |
| 18.45-19.00 | 2 | 362 | 171 | 1 |

Sumber : Hasil Survei

Tabel 4.2 Hasil Perhitungan Lalulintas Perarah

| PERIODE | JUMLAH KENDARAAN | | | | Total Arus (smp/jam) |
|-------------|---------------------------------|--|--|---|-------------------------|
| | Jumlah Kend. (Kendaraan/jam) | Sepeda Motor emp = 0.400 (smp/jam) | Kend. Ringan emp = 1.000 (smp/jam) | Kend. Berat emp = 1.300 (smp/jam) | |
| | | | | | |
| 06.00-07.00 | 3173 | 1045.600 | 554.000 | 6.500 | 1606.100 |
| 06.15-07.15 | 3407 | 1136.400 | 562.000 | 5.200 | 1703.600 |
| 06.30-07.30 | 3463 | 1150.000 | 586.000 | 2.600 | 1738.600 |
| 06.45-07.45 | 3417 | 1128.400 | 594.000 | 2.600 | 1725.000 |
| 07.00-08.00 | 3305 | 1096.400 | 559.000 | 6.500 | 1661.900 |
| 07.15-08.15 | 3108 | 1021.600 | 550.000 | 5.200 | 1576.800 |
| 07.30-08.30 | 2961 | 964.800 | 545.000 | 5.200 | 1515.000 |
| 07.45-08.45 | 2682 | 858.400 | 532.000 | 5.200 | 1395.600 |
| 08.00-09.00 | 2543 | 798.000 | 546.000 | 2.600 | 1346.600 |
| 11.00-12.00 | 2147 | 616.800 | 602.000 | 3.900 | 1222.700 |
| 11.15-12.15 | 2120 | 609.200 | 594.000 | 3.900 | 1207.100 |
| 11.30-12.30 | 2166 | 628.400 | 593.000 | 2.600 | 1224.000 |
| 11.45-12.45 | 2198 | 634.000 | 610.000 | 3.900 | 1247.900 |
| 12.00-13.00 | 2323 | 684.800 | 608.000 | 3.900 | 1296.700 |
| 12.15-13.15 | 2392 | 704.400 | 627.000 | 5.200 | 1336.600 |
| 12.30-13.30 | 2371 | 698.800 | 618.000 | 7.800 | 1324.600 |
| 12.45-13.45 | 2374 | 702.400 | 613.000 | 6.500 | 1321.900 |
| 13.00-14.00 | 2319 | 662.000 | 658.000 | 7.800 | 1327.800 |
| 16.00-17.00 | 2271 | 657.600 | 624.000 | 3.900 | 1285.500 |
| 16.15-17.15 | 2521 | 728.400 | 697.000 | 3.900 | 1429.300 |
| 16.30-17.30 | 2721 | 776.000 | 777.000 | 5.200 | 1558.200 |
| 16.45-17.45 | 2773 | 790.000 | 794.000 | 5.200 | 1589.200 |
| 17.00-18.00 | 2619 | 738.000 | 770.000 | 5.200 | 1513.200 |
| 17.15-18.15 | 2269 | 631.200 | 688.000 | 3.900 | 1323.100 |
| 17.30-18.30 | 2027 | 552.800 | 643.000 | 2.600 | 1198.400 |
| 17.45-18.45 | 1901 | 510.800 | 622.000 | 2.600 | 1135.400 |
| 18.00-19.00 | 1983 | 538.400 | 636.000 | 1.300 | 1175.700 |

Sumber : Analisa data



Gambar 4.5 Grafik jumlah kendaraan Arah Jl. Basuki Rahmat Selatan ke - Arah Jl. Basuki Rahmat Utara (Lurus)

Tabel 4.3 Hasil Perhitungan Volume Jl. Basuki Rahmat Utara ke - Arah Jl. Basuki Rahmat Selatan (Lurus)

| PERIODE | JENIS KENDARAAN | | | |
|-------------|-----------------|--------------|--------------|-------------|
| | Tak Bermotor | Sepeda Motor | Kend. Ringan | Kend. Berat |
| 06.00-06.15 | 3 | 378 | 174 | 0 |
| 06.15-06.30 | 2 | 475 | 238 | 2 |
| 06.30-06.45 | 1 | 530 | 321 | 0 |
| 07.00-07.15 | 5 | 734 | 278 | 3 |
| 07.30-07.45 | 3 | 460 | 218 | 1 |
| 07.45-08.00 | 1 | 482 | 198 | 0 |

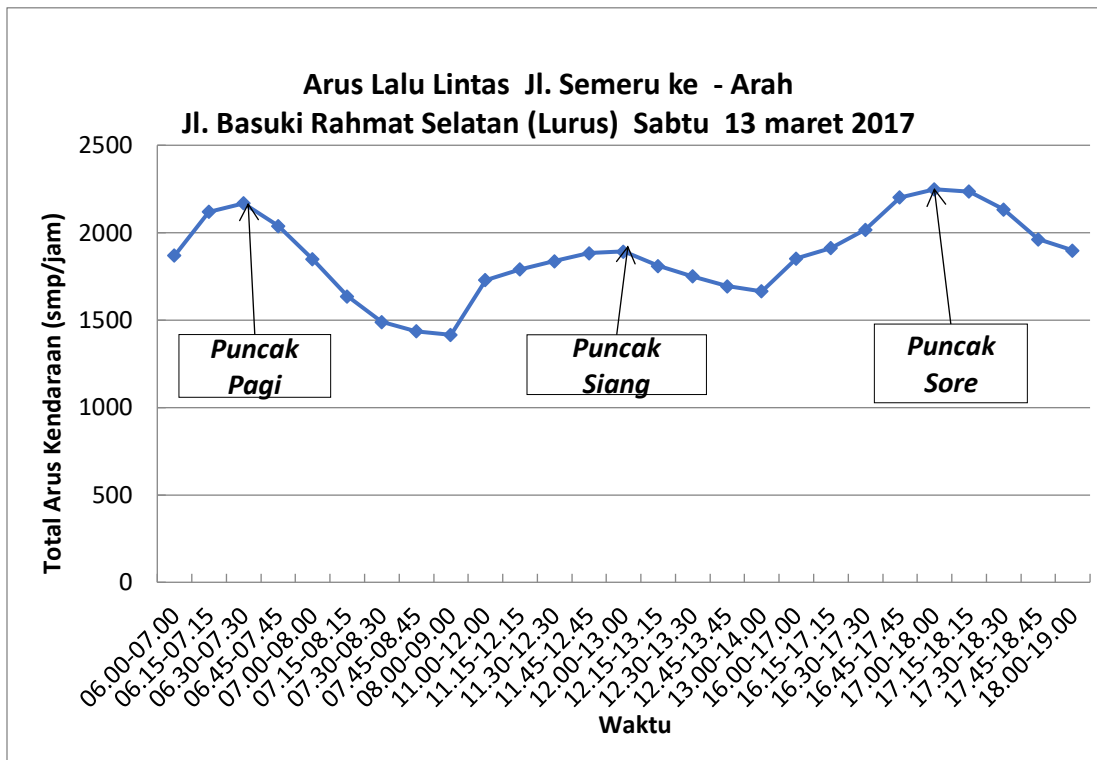
| PERIODE | JENIS KENDARAAN | | | |
|-------------|-----------------|--------------|--------------|-------------|
| | Tak Bermotor | Sepeda Motor | Kend. Ringan | Kend. Berat |
| 08.15-08.30 | 4 | 432 | 157 | 1 |
| 08.30-08.45 | 6 | 394 | 190 | 2 |
| 08.45-09.00 | 2 | 344 | 230 | 2 |
| | | | | |
| 11.00-11.15 | 1 | 450 | 234 | 1 |
| 11.15-11.30 | 3 | 472 | 253 | 0 |
| 11.30-11.45 | 0 | 491 | 227 | 0 |
| 11.45-12.00 | 0 | 460 | 261 | 2 |
| 12.00-12.15 | 6 | 486 | 283 | 0 |
| 12.15-12.30 | 3 | 532 | 274 | 1 |
| 12.30-12.45 | 3 | 523 | 256 | 3 |
| 12.45-13.00 | 3 | 487 | 262 | 1 |
| 13.00-13.15 | 6 | 372 | 245 | 0 |
| 13.15-13.30 | 7 | 396 | 271 | 0 |
| 13.30-13.45 | 5 | 394 | 255 | 0 |
| 13.45-14.00 | 8 | 413 | 263 | 0 |
| | ISTIRAHAT | | | |
| 16.00-16.15 | 4 | 464 | 245 | 2 |
| 16.15-16.30 | 8 | 488 | 287 | 3 |
| 16.30-16.45 | 1 | 418 | 273 | 0 |
| 16.45-17.00 | 0 | 508 | 289 | 1 |
| 17.00-17.15 | 4 | 534 | 278 | 0 |
| 17.15-17.30 | 7 | 612 | 345 | 1 |
| 17.30-17.45 | 5 | 570 | 396 | 1 |
| 17.45-18.00 | 2 | 628 | 289 | 0 |
| 18.00-18.15 | 3 | 584 | 245 | 0 |
| 18.15-18.30 | 0 | 524 | 278 | 1 |
| 18.30-18.45 | 1 | 593 | 213 | 3 |
| 18.45-19.00 | 2 | 557 | 254 | 0 |

Sumber : Hasil Survei

Tabel 4.4. Hasil Perhitungan lalulintas perarah

| PERIODE | JUMLAH KENDARAAN | | | | |
|-------------|------------------|--------------|--------------|-------------|------------|
| | Jumlah Kend. | Sepeda Motor | Kend. Ringan | Kend. Berat | Total Arus |
| | (smp/jam) | emp = 0.400 | emp = 1.000 | emp = 1.300 | Kendaraan |
| 06.00-07.00 | 3084 | 810.000 | 1057.000 | 2.600 | 1869.600 |
| 06.15-07.15 | 3547 | 952.400 | 1161.000 | 6.500 | 2119.900 |
| 06.30-07.30 | 3602 | 957.200 | 1204.000 | 6.500 | 2167.700 |
| 06.45-07.45 | 3430 | 929.200 | 1101.000 | 7.800 | 2038.000 |
| 07.00-08.00 | 3144 | 865.200 | 975.000 | 7.800 | 1848.000 |
| 07.15-08.15 | 2771 | 757.200 | 874.000 | 5.200 | 1636.400 |
| 07.30-08.30 | 2591 | 735.200 | 750.000 | 3.900 | 1489.100 |
| 07.45-08.45 | 2498 | 708.800 | 722.000 | 5.200 | 1436.000 |
| 08.00-09.00 | 2394 | 653.600 | 754.000 | 7.800 | 1415.400 |
| 11.00-12.00 | 2851 | 749.200 | 975.000 | 3.900 | 1728.100 |
| 11.15-12.15 | 2935 | 763.600 | 1024.000 | 2.600 | 1790.200 |
| 11.30-12.30 | 3017 | 787.600 | 1045.000 | 3.900 | 1836.500 |
| 11.45-12.45 | 3081 | 800.400 | 1074.000 | 7.800 | 1882.200 |
| 12.00-13.00 | 3108 | 811.200 | 1075.000 | 6.500 | 1892.700 |
| 12.15-13.15 | 2956 | 765.600 | 1037.000 | 6.500 | 1809.100 |
| 12.30-13.30 | 2816 | 711.200 | 1034.000 | 5.200 | 1750.400 |
| 12.45-13.45 | 2683 | 659.600 | 1033.000 | 1.300 | 1693.900 |
| 13.00-14.00 | 2609 | 630.000 | 1034.000 | 0.000 | 1664.000 |
| 16.00-17.00 | 2978 | 751.200 | 1094.000 | 7.800 | 1853.000 |
| 16.15-17.15 | 3079 | 779.200 | 1127.000 | 5.200 | 1911.400 |
| 16.30-17.30 | 3259 | 828.800 | 1185.000 | 2.600 | 2016.400 |
| 16.45-17.45 | 3535 | 889.600 | 1308.000 | 3.900 | 2201.500 |
| 17.00-18.00 | 3654 | 937.600 | 1308.000 | 2.600 | 2248.200 |
| 17.15-18.15 | 3671 | 957.600 | 1275.000 | 2.600 | 2235.200 |
| 17.30-18.30 | 3516 | 922.400 | 1208.000 | 2.600 | 2133.000 |
| 17.45-18.45 | 3358 | 931.600 | 1025.000 | 5.200 | 1961.800 |
| 18.00-19.00 | 3252 | 903.200 | 990.000 | 5.200 | 1898.400 |

Sumber : Analisa data



Gambar 4.6 Grafik jumlah kendaraan Arah Jl. Basuki Rahmat Utara ke - Arah Jl. Basuki Rahmat Selatan (Lurus)

Tabel 4.5 Hasil Perhitungan Volume Jl. Semeru ke - Arah Jl. Kahuripan (Lurus)

| PERIODE | JENIS KENDARAAN | | | |
|-------------|-----------------|--------------|--------------|-------------|
| | Tak Bermotor | Sepeda Motor | Kend. Ringan | Kend. Berat |
| 06.00-06.15 | 3 | 321 | 162 | 2 |
| 06.15-06.30 | 6 | 567 | 224 | 1 |
| 06.30-06.45 | 5 | 576 | 356 | 5 |
| 06.45-07.00 | 5 | 563 | 347 | 0 |
| 07.00-07.15 | 4 | 472 | 265 | 2 |
| 07.15-07.30 | 3 | 356 | 107 | 2 |
| 07.30-07.45 | 4 | 397 | 147 | 4 |
| 07.45-08.00 | 3 | 456 | 211 | 2 |
| 08.00-08.15 | 8 | 423 | 142 | 2 |

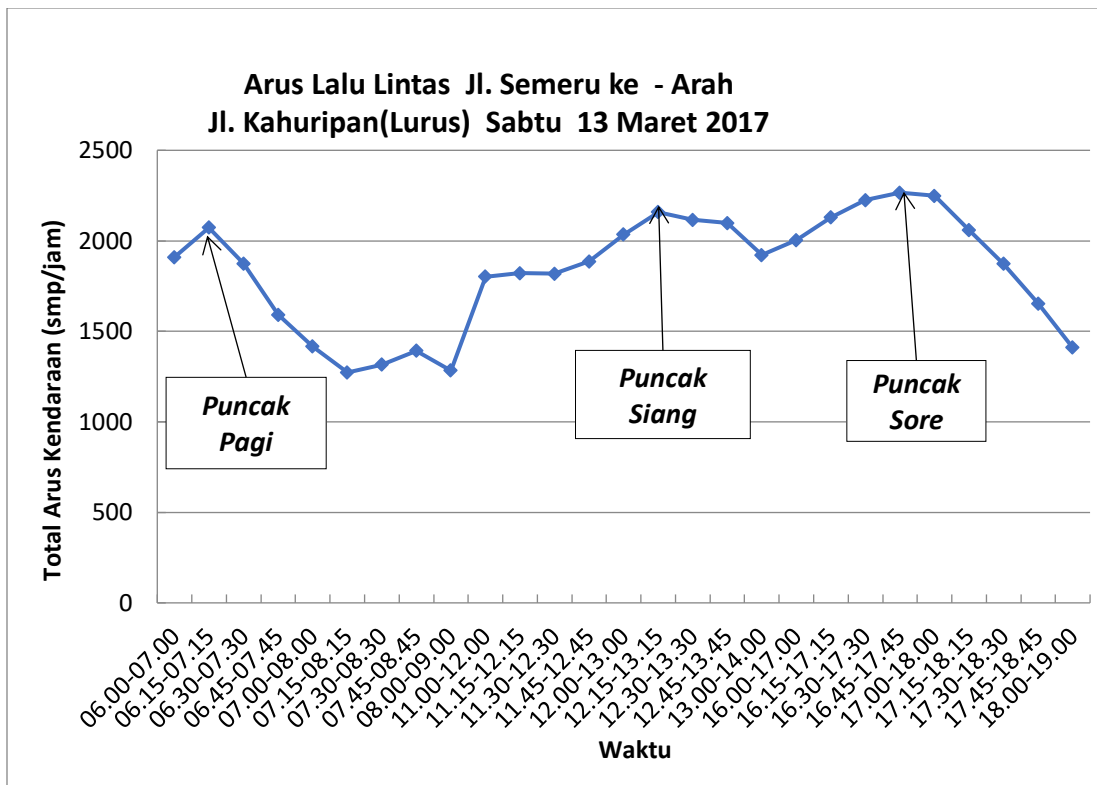
| PERIODE | JENIS KENDARAAN | | | |
|------------------|-----------------|--------------|--------------|-------------|
| | Tak Bermotor | Sepeda Motor | Kend. Ringan | Kend. Berat |
| 08.30-08.45 | 5 | 413 | 218 | 3 |
| ISTIRAHAT | | | | |
| 11.00-11.15 | 10 | 446 | 230 | 7 |
| 11.15-11.30 | 2 | 543 | 284 | 0 |
| 11.30-11.45 | 1 | 471 | 204 | 2 |
| 11.45-12.00 | 1 | 484 | 294 | 0 |
| 12.00-12.15 | 1 | 461 | 246 | 5 |
| 12.15-12.30 | 5 | 536 | 284 | 0 |
| 12.30-12.45 | 4 | 528 | 249 | 2 |
| 12.45-13.00 | 3 | 598 | 395 | 2 |
| 13.00-13.15 | 0 | 473 | 372 | 0 |
| 13.15-13.30 | 2 | 544 | 236 | 1 |
| 13.30-13.45 | 3 | 385 | 288 | 3 |
| 13.45-14.00 | 2 | 342 | 321 | 1 |
| ISTIRAHAT | | | | |
| 16.00-16.15 | 3 | 341 | 287 | 2 |
| 16.15-16.30 | 0 | 467 | 265 | 1 |
| 16.30-16.45 | 4 | 532 | 323 | 4 |
| 16.45-17.00 | 4 | 541 | 362 | 4 |
| 17.00-17.15 | 1 | 571 | 321 | 2 |
| 17.15-17.30 | 2 | 478 | 352 | 4 |
| 17.30-17.45 | 0 | 613 | 337 | 0 |
| 17.45-18.00 | 4 | 524 | 353 | 2 |
| 18.00-18.15 | 4 | 376 | 210 | 2 |
| 18.15-18.30 | 4 | 360 | 214 | 3 |
| 18.30-18.45 | 3 | 405 | 201 | 0 |
| 18.45-19.00 | 0 | 423 | 153 | 0 |

Sumber : Hasil Survei

Tabel 4.6 Hasil Perhitungan lalulintas perarah

| PERIODE | JUMLAH KENDARAAN | | | | |
|-------------|------------------|--------------|--------------|-------------|------------|
| | Jumlah Kend. | Sepeda Motor | Kend. Ringan | Kend. Berat | Total Arus |
| | (smp/jam) | emp = 0.400 | emp = 1.000 | emp = 1.300 | Kendaraan |
| | | (smp/jam) | (smp/jam) | (smp/jam) | (smp/jam) |
| 06.00-07.00 | 3124 | 810.800 | 1089.000 | 10.400 | 1910.200 |
| 06.15-07.15 | 3378 | 871.200 | 1192.000 | 10.400 | 2073.600 |
| 06.30-07.30 | 3051 | 786.800 | 1075.000 | 11.700 | 1873.500 |
| 06.45-07.45 | 2662 | 715.200 | 866.000 | 10.400 | 1591.600 |
| 07.00-08.00 | 2421 | 672.400 | 730.000 | 13.000 | 1415.400 |
| 07.15-08.15 | 2249 | 652.800 | 607.000 | 13.000 | 1272.800 |
| 07.30-08.30 | 2316 | 668.400 | 635.000 | 13.000 | 1316.400 |
| 07.45-08.45 | 2402 | 674.800 | 706.000 | 11.700 | 1392.500 |
| 08.00-09.00 | 2255 | 649.200 | 622.000 | 13.000 | 1284.200 |
| 11.00-12.00 | 2965 | 777.600 | 1012.000 | 11.700 | 1801.300 |
| 11.15-12.15 | 2994 | 783.600 | 1028.000 | 9.100 | 1820.700 |
| 11.30-12.30 | 2987 | 780.800 | 1028.000 | 9.100 | 1817.900 |
| 11.45-12.45 | 3089 | 803.600 | 1073.000 | 9.100 | 1885.700 |
| 12.00-13.00 | 3306 | 849.200 | 1174.000 | 11.700 | 2034.900 |
| 12.15-13.15 | 3439 | 854.000 | 1300.000 | 5.200 | 2159.200 |
| 12.30-13.30 | 3400 | 857.200 | 1252.000 | 6.500 | 2115.700 |
| 12.45-13.45 | 3297 | 800.000 | 1291.000 | 7.800 | 2098.800 |
| 13.00-14.00 | 2966 | 697.600 | 1217.000 | 6.500 | 1921.100 |
| 16.00-17.00 | 3129 | 752.400 | 1237.000 | 14.300 | 2003.700 |
| 16.15-17.15 | 3393 | 844.400 | 1271.000 | 14.300 | 2129.700 |
| 16.30-17.30 | 3494 | 848.800 | 1358.000 | 18.200 | 2225.000 |
| 16.45-17.45 | 3585 | 881.200 | 1372.000 | 13.000 | 2266.200 |
| 17.00-18.00 | 3557 | 874.400 | 1363.000 | 10.400 | 2247.800 |
| 17.15-18.15 | 3251 | 796.400 | 1252.000 | 10.400 | 2058.800 |
| 17.30-18.30 | 2994 | 749.200 | 1114.000 | 9.100 | 1872.300 |
| 17.45-18.45 | 2650 | 666.000 | 978.000 | 9.100 | 1653.100 |
| 18.00-19.00 | 2347 | 625.600 | 778.000 | 6.500 | 1410.100 |

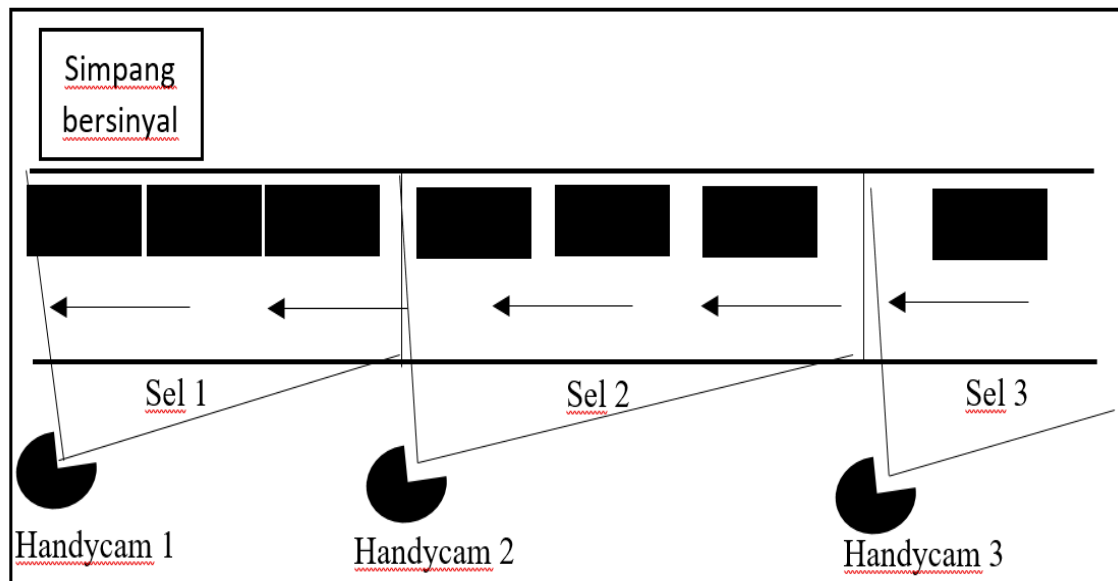
Sumber : Analisa data



Gambar 4.7 Grafik jumlah kendaraan Arah Jl. Semeru ke - Arah Jl. Kahuripan (Lurus)

4.1.3. Data Volume Lalu Lintas Tiap Sel

Data volume lalu lintas tiap sel adalah data jumlah kendaraan yang berada di dalam sebuah sel. Jumlah kendaraan tersebut meliputi sepeda motor, kendaraan ringan dan kendaraan berat. Data volume tiap sel dapat di peroleh dengan menghitung jumlah kendaraan tiap 3 detiknya selama 5 menit dengan menggunakan handycam yang di letakkan pada tiap-tiap sel yang telah di tentukan. Ada 3 handycam yang di miliki sehingga tiap-tiap handycam bisa di letakkan pada sel-sel yang berbeda-beda. Handycam pertama dapa di letakkan pada bagian terpadat pada ruas jalan tersebut atau sel pertama seblum simpang. Yang ke dua dapat di letakkan pada bagian yang tidak terlalu padat atau berada di tengah-tengah antrian. Dan yang ketiga dapat di letakkan pada sel yang tidak mengalami antian. Sehingga dengan demikian daya dapat memaksimalkan handycam yang di miliki dan dapat di lihat pada gambar berikut



Gambar 4.8. Simulasi survei dengan menggunakan handycam

Dalam pengumpulan data volume lalu lintas tiap sel juga harus mengambil dua kondisi lalulintas, yaitu dalam kondisi macet dan tidak macet. Dua buah ruas yang akan

dijadikan objek penelitian adalah jalur BCA-PLN dan PLN-BCA yang akan dilampirkan dalam bentuk Tabel sebagai berikut.

Kondisi tidak macet BCA-PLN

Emp Sepeda Motor = 0,4

Emp Kendaraan Ringan = 1

Emp kendaraan Berat = 1,3

Cell 6

Tabel 4.7 Arus Masuk Sel 6(Qmasuk)

| Interval Waktu | Sepeda Motor | | Mobil | | Kend Berat | | Vol kend | vol smp |
|----------------|--------------|-----|-------|-----|------------|-----|----------|---------|
| | Kend | smp | Kend | smp | Kend | smp | | |
| 3 | 0 | 0 | 0 | 0 | 0 | 0 | 0 | 0 |
| 6 | 0 | 0 | 0 | 0 | 0 | 0 | 0 | 0 |
| 9 | 1 | 0.4 | 0 | 0 | 0 | 0 | 1 | 0.4 |
| 12 | 2 | 0.8 | 0 | 0 | 0 | 0 | 2 | 0.8 |
| 15 | 1 | 0.4 | 0 | 0 | 0 | 0 | 1 | 0.4 |
| 18 | 1 | 0.4 | 0 | 0 | 0 | 0 | 1 | 0.4 |
| 21 | 0 | 0 | 1 | 1 | 0 | 0 | 1 | 1 |
| 24 | 0 | 0 | 0 | 0 | 0 | 0 | 0 | 0 |
| 27 | 5 | 2 | 1 | 1 | 0 | 0 | 6 | 3 |
| 30 | 7 | 2.8 | 1 | 1 | 0 | 0 | 8 | 3.8 |
| 33 | 3 | 1.2 | 2 | 2 | 0 | 0 | 5 | 3.2 |
| 36 | 3 | 1.2 | 2 | 2 | 0 | 0 | 5 | 3.2 |
| 39 | 4 | 1.6 | 2 | 2 | 0 | 0 | 6 | 3.6 |
| 42 | 4 | 1.6 | 3 | 3 | 0 | 0 | 7 | 4.6 |
| 45 | 2 | 0.8 | 3 | 3 | 0 | 0 | 5 | 3.8 |
| 48 | 3 | 1.2 | 4 | 4 | 0 | 0 | 7 | 5.2 |
| 51 | 2 | 0.8 | 4 | 4 | 0 | 0 | 6 | 4.8 |

| Interval Waktu | Sepeda Motor | | Mobil | | Kend Berat | | Vol kend | vol smp |
|----------------|--------------|-----|-------|-----|------------|-----|----------|---------|
| | Kend | smp | Kend | smp | Kend | smp | | |
| 60 | 4 | 1.6 | 4 | 4 | 0 | 0 | 8 | 5.6 |
| 63 | 2 | 0.8 | 4 | 4 | 0 | 0 | 6 | 4.8 |
| 66 | 2 | 0.8 | 6 | 6 | 0 | 0 | 8 | 6.8 |
| 69 | 1 | 0.4 | 5 | 5 | 0 | 0 | 6 | 5.4 |
| 72 | 0 | 0 | 6 | 6 | 0 | 0 | 6 | 6 |
| 75 | 1 | 0.4 | 4 | 4 | 0 | 0 | 5 | 4.4 |
| 78 | 0 | 0 | 3 | 3 | 0 | 0 | 3 | 3 |
| 81 | 1 | 0.4 | 2 | 2 | 0 | 0 | 3 | 2.4 |
| 84 | 1 | 0.4 | 1 | 1 | 0 | 0 | 2 | 1.4 |
| 87 | 1 | 0.4 | 2 | 2 | 0 | 0 | 3 | 2.4 |
| 90 | 0 | 0 | 1 | 1 | 0 | 0 | 1 | 1 |
| 93 | 0 | 0 | 0 | 0 | 0 | 0 | 0 | 0 |
| 96 | 0 | 0 | 0 | 0 | 0 | 0 | 0 | 0 |
| 99 | 0 | 0 | 0 | 0 | 0 | 0 | 0 | 0 |
| 102 | 0 | 0 | 1 | 1 | 0 | 0 | 1 | 1 |
| 105 | 0 | 0 | 1 | 1 | 0 | 0 | 1 | 1 |
| 108 | 3 | 1.2 | 0 | 0 | 0 | 0 | 3 | 1.2 |
| 111 | 3 | 1.2 | 0 | 0 | 0 | 0 | 3 | 1.2 |
| 114 | 4 | 1.6 | 2 | 2 | 0 | 0 | 6 | 3.6 |
| 117 | 1 | 0.4 | 3 | 3 | 0 | 0 | 4 | 3.4 |
| 120 | 2 | 0.8 | 4 | 4 | 0 | 0 | 6 | 4.8 |
| 123 | 2 | 0.8 | 4 | 4 | 0 | 0 | 6 | 4.8 |
| 126 | 3 | 1.2 | 2 | 2 | 0 | 0 | 5 | 3.2 |
| 129 | 3 | 1.2 | 2 | 2 | 0 | 0 | 5 | 3.2 |
| 132 | 3 | 1.2 | 4 | 4 | 0 | 0 | 7 | 5.2 |
| 135 | 2 | 0.8 | 4 | 4 | 0 | 0 | 6 | 4.8 |
| 138 | 4 | 1.6 | 4 | 4 | 0 | 0 | 8 | 5.6 |
| 141 | 3 | 1.2 | 4 | 4 | 0 | 0 | 7 | 5.2 |
| 144 | 4 | 1.6 | 5 | 5 | 0 | 0 | 9 | 6.6 |
| 147 | 4 | 1.6 | 4 | 4 | 0 | 0 | 8 | 5.6 |
| 150 | 4 | 1.6 | 4 | 4 | 0 | 0 | 8 | 5.6 |
| 153 | 2 | 0.8 | 5 | 5 | 0 | 0 | 7 | 5.8 |
| 156 | 1 | 0.4 | 5 | 5 | 0 | 0 | 6 | 5.4 |
| 159 | 1 | 0.4 | 5 | 5 | 0 | 0 | 6 | 5.4 |

| Interval Waktu | Sepeda Motor | | Mobil | | Kend Berat | | Vol kend | vol smp |
|----------------|--------------|-----|-------|-----|------------|-----|----------|---------|
| | Kend | smp | Kend | smp | Kend | smp | | |
| 162 | 2 | 0.8 | 3 | 3 | 0 | 0 | 5 | 3.8 |
| 165 | 1 | 0.4 | 2 | 2 | 0 | 0 | 3 | 2.4 |
| 168 | 2 | 0.8 | 1 | 1 | 0 | 0 | 3 | 1.8 |
| 171 | 1 | 0.4 | 1 | 1 | 0 | 0 | 2 | 1.4 |
| 174 | 2 | 0.8 | 1 | 1 | 0 | 0 | 3 | 1.8 |
| 177 | 3 | 1.2 | 2 | 2 | 0 | 0 | 5 | 3.2 |
| 180 | 0 | 0 | 3 | 3 | 0 | 0 | 3 | 3 |
| 183 | 0 | 0 | 1 | 1 | 0 | 0 | 1 | 1 |
| 186 | 0 | 0 | 0 | 0 | 0 | 0 | 0 | 0 |
| 189 | 0 | 0 | 1 | 1 | 0 | 0 | 1 | 1 |
| 192 | 6 | 2.4 | 1 | 1 | 0 | 0 | 7 | 3.4 |
| 195 | 6 | 2.4 | 0 | 0 | 0 | 0 | 6 | 2.4 |
| 198 | 3 | 1.2 | 0 | 0 | 0 | 0 | 3 | 1.2 |
| 201 | 3 | 1.2 | 1 | 1 | 0 | 0 | 4 | 2.2 |
| 204 | 5 | 2 | 2 | 2 | 0 | 0 | 7 | 4 |
| 207 | 4 | 1.6 | 2 | 2 | 0 | 0 | 6 | 3.6 |
| 210 | 8 | 3.2 | 3 | 3 | 0 | 0 | 11 | 6.2 |
| 213 | 5 | 2 | 2 | 2 | 0 | 0 | 7 | 4 |
| 216 | 3 | 1.2 | 3 | 3 | 0 | 0 | 6 | 4.2 |
| 219 | 2 | 0.8 | 5 | 5 | 0 | 0 | 7 | 5.8 |
| 222 | 1 | 0.4 | 7 | 7 | 0 | 0 | 8 | 7.4 |
| 225 | 2 | 0.8 | 7 | 7 | 0 | 0 | 9 | 7.8 |
| 228 | 1 | 0.4 | 8 | 8 | 0 | 0 | 9 | 8.4 |
| 231 | 2 | 0.8 | 7 | 7 | 0 | 0 | 9 | 7.8 |
| 234 | 1 | 0.4 | 8 | 8 | 0 | 0 | 9 | 8.4 |
| 237 | 2 | 0.8 | 9 | 9 | 0 | 0 | 11 | 9.8 |
| 240 | 3 | 1.2 | 9 | 9 | 0 | 0 | 12 | 10.2 |
| 243 | 2 | 0.8 | 9 | 9 | 0 | 0 | 11 | 9.8 |
| 246 | 1 | 0.4 | 6 | 6 | 0 | 0 | 7 | 6.4 |
| 249 | 1 | 0.4 | 5 | 5 | 0 | 0 | 6 | 5.4 |
| 252 | 0 | 0 | 5 | 5 | 0 | 0 | 5 | 5 |
| 255 | 0 | 0 | 3 | 3 | 0 | 0 | 3 | 3 |
| 258 | 0 | 0 | 3 | 3 | 0 | 0 | 3 | 3 |
| 261 | 0 | 0 | 2 | 2 | 0 | 0 | 2 | 2 |

| Interval Waktu | Sepeda Motor | | Mobil | | Kend Berat | | Vol kend | vol smp |
|----------------|--------------|-----|-------|-----|------------|-----|----------|---------|
| | Kend | smp | Kend | smp | Kend | smp | | |
| 264 | 0 | 0 | 1 | 1 | 0 | 0 | 1 | 1 |
| 267 | 0 | 0 | 0 | 0 | 0 | 0 | 0 | 0 |
| 270 | 0 | 0 | 0 | 0 | 0 | 0 | 0 | 0 |
| 273 | 2 | 0.8 | 0 | 0 | 0 | 0 | 2 | 0.8 |
| 276 | 1 | 0.4 | 0 | 0 | 0 | 0 | 1 | 0.4 |
| 279 | 6 | 2.4 | 0 | 0 | 0 | 0 | 6 | 2.4 |
| 282 | 5 | 2 | 0 | 0 | 0 | 0 | 5 | 2 |
| 285 | 4 | 1.6 | 1 | 1 | 0 | 0 | 5 | 2.6 |
| 288 | 2 | 0.8 | 2 | 2 | 0 | 0 | 4 | 2.8 |
| 291 | 5 | 2 | 1 | 1 | 0 | 0 | 6 | 3 |
| 294 | 4 | 1.6 | 3 | 3 | 0 | 0 | 7 | 4.6 |
| 297 | 0 | 0 | 5 | 5 | 0 | 0 | 5 | 5 |
| 300 | 2 | 0.8 | 3 | 3 | 0 | 0 | 5 | 3.8 |

Sumber : hasil survei

$$\text{Emp Sepeda Motor} = 0,4$$

$$\text{Emp Kendaraan Ringan} = 1$$

$$\text{Emp kendaraam Berat} = 1,3$$

Cell 7

Tabel 4.8 Arus Masuk Sel 7(Qmasuk)

| Interval Waktu | Sepeda Motor | | Mobil | | Kend Berat | | Vol (kend) | Vol (smp) |
|----------------|--------------|-----|-------|-----|------------|-----|------------|-----------|
| | Kend | smp | Kend | smp | Kend | smp | | |
| 3 | 0 | 0 | 0 | 0 | 0 | 0 | 0 | 0 |
| 6 | 0 | 0 | 0 | 0 | 0 | 0 | 0 | 0 |
| 9 | 0 | 0 | 0 | 0 | 0 | 0 | 0 | 0 |
| 12 | 1 | 0.2 | 0 | 0 | 0 | 0 | 1 | 0.2 |
| 15 | 1 | 0.2 | 0 | 0 | 0 | 0 | 1 | 0.2 |
| 18 | 0 | 0 | 0 | 0 | 0 | 0 | 0 | 0 |
| 21 | 0 | 0 | 0 | 0 | 0 | 0 | 0 | 0 |
| 24 | 0 | 0 | 1 | 1 | 0 | 0 | 1 | 1 |

| Interval Waktu | Sepeda Motor | | Mobil | | Kend Berat | | Vol (kend) | Vol (smp) |
|----------------|--------------|-----|-------|-----|------------|-----|------------|-----------|
| | Kend | smp | Kend | smp | Kend | smp | | |
| 27 | 0 | 0 | 1 | 1 | 0 | 0 | 1 | 1 |
| 30 | 4 | 0.8 | 2 | 2 | 0 | 0 | 6 | 2.8 |
| 33 | 9 | 1.8 | 2 | 2 | 0 | 0 | 11 | 3.8 |
| 36 | 5 | 1 | 3 | 3 | 0 | 0 | 8 | 4 |
| 39 | 4 | 0.8 | 3 | 3 | 0 | 0 | 7 | 3.8 |
| 42 | 6 | 1.2 | 4 | 4 | 0 | 0 | 10 | 5.2 |
| 45 | 4 | 0.8 | 4 | 4 | 0 | 0 | 8 | 4.8 |
| 48 | 10 | 2 | 4 | 4 | 0 | 0 | 14 | 6 |
| 51 | 11 | 2.2 | 5 | 5 | 0 | 0 | 16 | 7.2 |
| 54 | 12 | 2.4 | 6 | 6 | 0 | 0 | 18 | 8.4 |
| 57 | 13 | 2.6 | 6 | 6 | 0 | 0 | 19 | 8.6 |
| 60 | 13 | 2.6 | 6 | 6 | 0 | 0 | 19 | 8.6 |
| 63 | 8 | 1.6 | 6 | 6 | 0 | 0 | 14 | 7.6 |
| 66 | 5 | 1 | 4 | 4 | 0 | 0 | 9 | 5 |
| 69 | 3 | 0.6 | 5 | 5 | 0 | 0 | 8 | 5.6 |
| 72 | 2 | 0.4 | 3 | 3 | 0 | 0 | 5 | 3.4 |
| 75 | 0 | 0 | 3 | 3 | 0 | 0 | 3 | 3 |
| 78 | 1 | 0.2 | 3 | 3 | 0 | 0 | 4 | 3.2 |
| 81 | 0 | 0 | 2 | 2 | 0 | 0 | 2 | 2 |
| 84 | 1 | 0.2 | 3 | 3 | 0 | 0 | 4 | 3.2 |
| 87 | 0 | 0 | 2 | 2 | 0 | 0 | 2 | 2 |
| 90 | 1 | 0.2 | 2 | 2 | 0 | 0 | 3 | 2.2 |
| 93 | 0 | 0 | 1 | 1 | 0 | 0 | 1 | 1 |
| 96 | 0 | 0 | 1 | 1 | 0 | 0 | 1 | 1 |
| 99 | 0 | 0 | 1 | 1 | 0 | 0 | 1 | 1 |
| 102 | 0 | 0 | 1 | 1 | 0 | 0 | 1 | 1 |
| 105 | 0 | 0 | 1 | 1 | 0 | 0 | 1 | 1 |
| 108 | 0 | 0 | 2 | 2 | 0 | 0 | 2 | 2 |
| 111 | 2 | 0.4 | 2 | 2 | 0 | 0 | 4 | 2.4 |
| 114 | 3 | 0.6 | 1 | 1 | 0 | 0 | 4 | 1.6 |
| 117 | 4 | 0.8 | 2 | 2 | 0 | 0 | 6 | 2.8 |
| 120 | 1 | 0.2 | 4 | 4 | 0 | 0 | 5 | 4.2 |
| 123 | 2 | 0.4 | 5 | 5 | 0 | 0 | 7 | 5.4 |
| 126 | 2 | 0.4 | 5 | 5 | 0 | 0 | 7 | 5.4 |

| Interval Waktu | Sepeda Motor | | Mobil | | Kend Berat | | Vol (kend) | Vol (smp) |
|----------------|--------------|-----|-------|-----|------------|-----|------------|-----------|
| | Kend | smp | Kend | smp | Kend | smp | | |
| 129 | 5 | 1 | 4 | 4 | 0 | 0 | 9 | 5 |
| 132 | 7 | 1.4 | 4 | 4 | 0 | 0 | 11 | 5.4 |
| 135 | 6 | 1.2 | 4 | 4 | 0 | 0 | 10 | 5.2 |
| 138 | 4 | 0.8 | 4 | 4 | 0 | 0 | 8 | 4.8 |
| 141 | 3 | 0.6 | 5 | 5 | 0 | 0 | 8 | 5.6 |
| 144 | 4 | 0.8 | 5 | 5 | 0 | 0 | 9 | 5.8 |
| 147 | 4 | 0.8 | 6 | 6 | 0 | 0 | 10 | 6.8 |
| 150 | 4 | 0.8 | 6 | 6 | 0 | 0 | 10 | 6.8 |
| 153 | 6 | 1.2 | 6 | 6 | 0 | 0 | 12 | 7.2 |
| 156 | 3 | 0.6 | 5 | 5 | 0 | 0 | 8 | 5.6 |
| 159 | 1 | 0.2 | 3 | 3 | 0 | 0 | 4 | 3.2 |
| 162 | 1 | 0.2 | 3 | 3 | 0 | 0 | 4 | 3.2 |
| 165 | 3 | 0.6 | 4 | 4 | 0 | 0 | 7 | 4.6 |
| 168 | 2 | 0.4 | 3 | 3 | 0 | 0 | 5 | 3.4 |
| 171 | 1 | 0.2 | 1 | 1 | 0 | 0 | 2 | 1.2 |
| 174 | 1 | 0.2 | 1 | 1 | 0 | 0 | 2 | 1.2 |
| 177 | 2 | 0.4 | 1 | 1 | 0 | 0 | 3 | 1.4 |
| 180 | 0 | 0 | 1 | 1 | 0 | 0 | 1 | 1 |
| 183 | 0 | 0 | 2 | 2 | 0 | 0 | 2 | 2 |
| 186 | 0 | 0 | 2 | 2 | 0 | 0 | 2 | 2 |
| 189 | 0 | 0 | 2 | 2 | 0 | 0 | 2 | 2 |
| 192 | 0 | 0 | 1 | 1 | 0 | 0 | 1 | 1 |
| 195 | 5 | 1 | 2 | 2 | 0 | 0 | 7 | 3 |
| 198 | 6 | 1.2 | 2 | 2 | 0 | 0 | 8 | 3.2 |
| 201 | 6 | 1.2 | 2 | 2 | 0 | 0 | 8 | 3.2 |
| 204 | 6 | 1.2 | 2 | 2 | 0 | 0 | 8 | 3.2 |
| 207 | 5 | 1 | 3 | 3 | 0 | 0 | 8 | 4 |
| 210 | 6 | 1.2 | 4 | 4 | 0 | 0 | 10 | 5.2 |
| 213 | 7 | 1.4 | 5 | 5 | 0 | 0 | 12 | 6.4 |
| 216 | 10 | 2 | 6 | 6 | 0 | 0 | 16 | 8 |
| 219 | 7 | 1.4 | 6 | 6 | 0 | 0 | 13 | 7.4 |
| 222 | 6 | 1.2 | 7 | 7 | 0 | 0 | 13 | 8.2 |
| 225 | 6 | 1.2 | 7 | 7 | 0 | 0 | 13 | 8.2 |
| 228 | 8 | 1.6 | 7 | 7 | 0 | 0 | 15 | 8.6 |

| Interval Waktu | Sepeda Motor | | Mobil | | Kend Berat | | Vol (kend) | Vol (smp) |
|----------------|--------------|-----|-------|-----|------------|-----|---------------|--------------|
| | Kend | smp | Kend | smp | Kend | smp | | |
| 231 | 8 | 1.6 | 7 | 7 | 0 | 0 | 15 | 8.6 |
| 234 | 8 | 1.6 | 7 | 7 | 0 | 0 | 15 | 8.6 |
| 237 | 8 | 1.6 | 7 | 7 | 0 | 0 | 15 | 8.6 |
| 240 | 8 | 1.6 | 7 | 7 | 0 | 0 | 15 | 8.6 |
| 243 | 6 | 1.2 | 6 | 6 | 0 | 0 | 12 | 7.2 |
| 246 | 4 | 0.8 | 5 | 5 | 0 | 0 | 9 | 5.8 |
| 249 | 3 | 0.6 | 5 | 5 | 0 | 0 | 8 | 5.6 |
| 252 | 1 | 0.2 | 4 | 4 | 0 | 0 | 5 | 4.2 |
| 255 | 0 | 0 | 3 | 3 | 0 | 0 | 3 | 3 |
| 258 | 0 | 0 | 2 | 2 | 0 | 0 | 2 | 2 |
| 261 | 0 | 0 | 2 | 2 | 0 | 0 | 2 | 2 |
| 264 | 0 | 0 | 1 | 1 | 0 | 0 | 1 | 1 |
| 267 | 0 | 0 | 2 | 2 | 0 | 0 | 2 | 2 |
| 270 | 0 | 0 | 1 | 1 | 0 | 0 | 1 | 1 |
| 273 | 0 | 0 | 0 | 0 | 0 | 0 | 0 | 0 |
| 276 | 2 | 0.4 | 0 | 0 | 0 | 0 | 2 | 0.4 |
| 279 | 1 | 0.2 | 0 | 0 | 0 | 0 | 1 | 0.2 |
| 282 | 4 | 0.8 | 0 | 0 | 0 | 0 | 4 | 0.8 |
| 285 | 5 | 1 | 0 | 0 | 0 | 0 | 5 | 1 |
| 288 | 3 | 0.6 | 1 | 1 | 0 | 0 | 4 | 1.6 |
| 291 | 5 | 1 | 2 | 2 | 0 | 0 | 7 | 3 |
| 294 | 2 | 0.4 | 2 | 2 | 0 | 0 | 4 | 2.4 |
| 297 | 6 | 1.2 | 2 | 2 | 0 | 0 | 8 | 3.2 |
| 300 | 2 | 0.4 | 5 | 5 | 0 | 0 | 7 | 5.4 |

Sumber : hasil survei

Emp Sepeda Motor = 0,4

Emp Kendaraan Ringan = 1

Emp kendaraan Berat = 1,3

Cell 8

Tabel 4.9 Arus Masuk Sel 8(Qmasuk)

| Interval Waktu | Sepeda Motor | | Mobil | | Kend Berat | | Vol (kend) | Vol (smp) |
|----------------|--------------|-----|-------|-----|------------|-----|------------|-----------|
| | Kend | smp | Kend | smp | Kend | smp | | |
| 3 | 0 | 0 | 7 | 7 | 0 | 0 | 7 | 7 |
| 6 | 0 | 0 | 7 | 7 | 0 | 0 | 7 | 7 |
| 9 | 0 | 0 | 7 | 7 | 0 | 0 | 7 | 7 |
| 12 | 0 | 0 | 7 | 7 | 0 | 0 | 7 | 7 |
| 15 | 1 | 0.2 | 7 | 7 | 0 | 0 | 8 | 7.2 |
| 18 | 2 | 0.4 | 7 | 7 | 0 | 0 | 9 | 7.4 |
| 21 | 2 | 0.4 | 7 | 7 | 0 | 0 | 9 | 7.4 |
| 24 | 2 | 0.4 | 7 | 7 | 0 | 0 | 9 | 7.4 |
| 27 | 2 | 0.4 | 7 | 7 | 0 | 0 | 9 | 7.4 |
| 30 | 2 | 0.4 | 7 | 7 | 0 | 0 | 9 | 7.4 |
| 33 | 4 | 0.8 | 8 | 8 | 0 | 0 | 12 | 8.8 |
| 36 | 6 | 1.2 | 8 | 8 | 0 | 0 | 14 | 9.2 |
| 39 | 8 | 1.6 | 9 | 9 | 0 | 0 | 17 | 10.6 |
| 42 | 6 | 1.2 | 9 | 9 | 0 | 0 | 15 | 10.2 |
| 45 | 8 | 1.6 | 9 | 9 | 0 | 0 | 17 | 10.6 |
| 48 | 7 | 1.4 | 9 | 9 | 0 | 0 | 16 | 10.4 |
| 51 | 7 | 1.4 | 9 | 9 | 0 | 0 | 16 | 10.4 |
| 54 | 7 | 1.4 | 9 | 9 | 0 | 0 | 16 | 10.4 |
| 57 | 7 | 1.4 | 8 | 8 | 0 | 0 | 15 | 9.4 |
| 60 | 7 | 1.4 | 5 | 5 | 0 | 0 | 12 | 6.4 |
| 63 | 11 | 2.2 | 4 | 4 | 0 | 0 | 15 | 6.2 |
| 66 | 10 | 2 | 4 | 4 | 0 | 0 | 14 | 6 |
| 69 | 7 | 1.4 | 6 | 6 | 0 | 0 | 13 | 7.4 |
| 72 | 5 | 1 | 3 | 3 | 0 | 0 | 8 | 4 |
| 75 | 2 | 0.4 | 4 | 4 | 0 | 0 | 6 | 4.4 |
| 78 | 1 | 0.2 | 3 | 3 | 0 | 0 | 4 | 3.2 |

| Interval Waktu | Sepeda Motor | | Mobil | | Kend Berat | | Vol kend | vol smp |
|----------------|--------------|-----|-------|-----|------------|-----|----------|---------|
| | Kend | smp | Kend | smp | Kend | smp | | |
| 81 | 1 | 0.2 | 2 | 2 | 0 | 0 | 3 | 2.2 |
| 84 | 0 | 0 | 3 | 3 | 0 | 0 | 3 | 3 |
| 87 | 1 | 0.2 | 4 | 4 | 0 | 0 | 5 | 4.2 |
| 90 | 2 | 0.4 | 6 | 6 | 0 | 0 | 8 | 6.4 |
| 93 | 2 | 0.4 | 6 | 6 | 0 | 0 | 8 | 6.4 |
| 96 | 2 | 0.4 | 6 | 6 | 0 | 0 | 8 | 6.4 |
| 99 | 2 | 0.4 | 6 | 6 | 0 | 0 | 8 | 6.4 |
| 102 | 2 | 0.4 | 6 | 6 | 0 | 0 | 8 | 6.4 |
| 105 | 2 | 0.4 | 6 | 6 | 0 | 0 | 8 | 6.4 |
| 108 | 2 | 0.4 | 6 | 6 | 0 | 0 | 8 | 6.4 |
| 111 | 2 | 0.4 | 7 | 7 | 0 | 0 | 9 | 7.4 |
| 114 | 2 | 0.4 | 7 | 7 | 0 | 0 | 9 | 7.4 |
| 117 | 5 | 1 | 7 | 7 | 0 | 0 | 12 | 8 |
| 120 | 8 | 1.6 | 7 | 7 | 0 | 0 | 15 | 8.6 |
| 123 | 9 | 1.8 | 8 | 8 | 0 | 0 | 17 | 9.8 |
| 126 | 10 | 2 | 8 | 8 | 0 | 0 | 18 | 10 |
| 129 | 11 | 2.2 | 9 | 9 | 0 | 0 | 20 | 11.2 |
| 132 | 13 | 2.6 | 9 | 9 | 0 | 0 | 22 | 11.6 |
| 135 | 17 | 3.4 | 9 | 9 | 0 | 0 | 26 | 12.4 |
| 138 | 18 | 3.6 | 9 | 9 | 0 | 0 | 27 | 12.6 |
| 141 | 20 | 4 | 9 | 9 | 0 | 0 | 29 | 13 |
| 144 | 20 | 4 | 9 | 9 | 0 | 0 | 29 | 13 |
| 147 | 16 | 3.2 | 8 | 8 | 0 | 0 | 24 | 11.2 |
| 150 | 13 | 2.6 | 7 | 7 | 0 | 0 | 20 | 9.6 |
| 153 | 9 | 1.8 | 7 | 7 | 0 | 0 | 16 | 8.8 |
| 156 | 5 | 1 | 6 | 6 | 0 | 0 | 11 | 7 |
| 159 | 2 | 0.4 | 4 | 4 | 0 | 0 | 6 | 4.4 |
| 162 | 1 | 0.2 | 4 | 4 | 0 | 0 | 5 | 4.2 |
| 165 | 2 | 0.4 | 4 | 4 | 0 | 0 | 6 | 4.4 |
| 168 | 2 | 0.4 | 5 | 5 | 0 | 0 | 7 | 5.4 |
| 171 | 1 | 0.2 | 4 | 4 | 0 | 0 | 5 | 4.2 |
| 174 | 2 | 0.4 | 4 | 4 | 0 | 0 | 6 | 4.4 |
| 177 | 2 | 0.4 | 5 | 5 | 0 | 0 | 7 | 5.4 |
| 180 | 4 | 0.8 | 5 | 5 | 0 | 0 | 9 | 5.8 |

| Interval Waktu | Sepeda Motor | | Mobil | | Kend Berat | | Vol kend | vol smp |
|----------------|--------------|-----|-------|-----|------------|-----|----------|---------|
| | Kend | smp | Kend | smp | Kend | smp | | |
| 183 | 4 | 0.8 | 6 | 6 | 0 | 0 | 10 | 6.8 |
| 186 | 4 | 0.8 | 6 | 6 | 0 | 0 | 10 | 6.8 |
| 189 | 4 | 0.8 | 7 | 7 | 0 | 0 | 11 | 7.8 |
| 192 | 4 | 0.8 | 7 | 7 | 0 | 0 | 11 | 7.8 |
| 195 | 4 | 0.8 | 7 | 7 | 0 | 0 | 11 | 7.8 |
| 198 | 8 | 1.6 | 8 | 8 | 0 | 0 | 16 | 9.6 |
| 201 | 11 | 2.2 | 8 | 8 | 0 | 0 | 19 | 10.2 |
| 204 | 14 | 2.8 | 8 | 8 | 0 | 0 | 22 | 10.8 |
| 207 | 15 | 3 | 8 | 8 | 0 | 0 | 23 | 11 |
| 210 | 17 | 3.4 | 8 | 8 | 0 | 0 | 25 | 11.4 |
| 213 | 19 | 3.8 | 8 | 8 | 0 | 0 | 27 | 11.8 |
| 216 | 21 | 4.2 | 8 | 8 | 0 | 0 | 29 | 12.2 |
| 219 | 23 | 4.6 | 8 | 8 | 0 | 0 | 31 | 12.6 |
| 222 | 24 | 4.8 | 8 | 8 | 0 | 0 | 32 | 12.8 |
| 225 | 24 | 4.8 | 8 | 8 | 0 | 0 | 32 | 12.8 |
| 228 | 24 | 4.8 | 8 | 8 | 0 | 0 | 32 | 12.8 |
| 231 | 24 | 4.8 | 8 | 8 | 0 | 0 | 32 | 12.8 |
| 234 | 24 | 4.8 | 8 | 8 | 0 | 0 | 32 | 12.8 |
| 237 | 23 | 4.6 | 8 | 8 | 0 | 0 | 31 | 12.6 |
| 240 | 17 | 3.4 | 5 | 5 | 0 | 0 | 22 | 8.4 |
| 243 | 9 | 1.8 | 5 | 5 | 0 | 0 | 14 | 6.8 |
| 246 | 8 | 1.6 | 3 | 3 | 0 | 0 | 11 | 4.6 |
| 249 | 3 | 0.6 | 4 | 4 | 0 | 0 | 7 | 4.6 |
| 252 | 4 | 0.8 | 4 | 4 | 0 | 0 | 8 | 4.8 |
| 255 | 1 | 0.2 | 4 | 4 | 0 | 0 | 5 | 4.2 |
| 258 | 1 | 0.2 | 3 | 3 | 0 | 0 | 4 | 3.2 |
| 261 | 0 | 0 | 1 | 1 | 0 | 0 | 1 | 1 |
| 264 | 0 | 0 | 2 | 2 | 0 | 0 | 2 | 2 |
| 267 | 0 | 0 | 2 | 2 | 0 | 0 | 2 | 2 |
| 270 | 0 | 0 | 3 | 3 | 0 | 0 | 3 | 3 |
| 273 | 0 | 0 | 4 | 4 | 0 | 0 | 4 | 4 |
| 276 | 1 | 0.2 | 4 | 4 | 0 | 0 | 5 | 4.2 |
| 279 | 3 | 0.6 | 4 | 4 | 0 | 0 | 7 | 4.6 |
| 282 | 5 | 1 | 4 | 4 | 0 | 0 | 9 | 5 |

| Interval Waktu | Sepeda Motor | | Mobil | | Kend Berat | | Vol kend | vol smp |
|----------------|--------------|-----|-------|-----|------------|-----|----------|---------|
| | Kend | smp | Kend | smp | Kend | smp | | |
| 285 | 9 | 1.8 | 4 | 4 | 0 | 0 | 13 | 5.8 |
| 288 | 12 | 2.4 | 4 | 4 | 0 | 0 | 16 | 6.4 |
| 291 | 15 | 3 | 5 | 5 | 0 | 0 | 20 | 8 |
| 294 | 18 | 3.6 | 5 | 5 | 0 | 0 | 23 | 8.6 |
| 297 | 19 | 3.8 | 7 | 7 | 0 | 0 | 26 | 10.8 |
| 300 | 20 | 4 | 7 | 7 | 0 | 0 | 27 | 11 |

Sumber : hasil survei

Dari data volume kendaraan tersebut dapat di masukkan ke dalam data tabel CTM sebagai berikut.

Tabel 4.10 Data CTM BCA-PLN (Lancar)

| | Waktu (s) | clock tick | Q masuk | Sel-1 | Sel-2 | Sel-3 | Sel-4 | Sel-5 | Sel-6 | Sel-7 | Sel-8 | Qkeluar | |
|----|-----------|------------|---------|-------|-------|-------|-------|-------|-------|-------|-------|---------|--|
| 0 | | 0 | | | | | | | | | | | |
| 3 | | 1 | | | | | | | 0 | 0 | 7 | | |
| 6 | | 2 | | | | | | | 0 | 0 | 7 | | |
| 9 | | 3 | | | | | | | 1 | 0 | 7 | | |
| 12 | | 4 | | | | | | | 2 | 1 | 7 | | |
| 15 | | 5 | | | | | | | 1 | 1 | 8 | | |
| 18 | | 6 | | | | | | | 1 | 0 | 9 | | |
| 21 | | 7 | | | | | | | 1 | 0 | 9 | | |
| 24 | | 8 | | | | | | | 0 | 1 | 9 | | |
| 27 | | 9 | | | | | | | 6 | 1 | 9 | | |
| 30 | | 10 | | | | | | | 8 | 6 | 9 | | |
| 33 | | 11 | | | | | | | 5 | 11 | 12 | | |
| 36 | 12 | | | | | | | | 5 | 8 | 14 | | |
| 39 | 13 | | | | | | | | 6 | 7 | 17 | | |
| 42 | 14 | | | | | | | | 7 | 10 | 15 | | |
| 45 | 15 | | | | | | | | 5 | 8 | 17 | | |
| 48 | 16 | | | | | | | | 7 | 14 | 16 | | |
| 51 | 17 | | | | | | | | 6 | 16 | 16 | | |
| 54 | 18 | | | | | | | | 8 | 18 | 16 | | |

| | Waktu (s) | clock tick | Q masuk | Sel-1 | Sel-2 | Sel-3 | Sel-4 | Sel-5 | Sel-6 | Sel-7 | Sel-8 | Qkeluar | |
|-----|-----------|------------|---------|-------|-------|-------|-------|-------|-------|-------|-------|---------|--|
| 57 | | 19 | | | | | | | 8 | 19 | 15 | | |
| 60 | | 20 | | | | | | | 8 | 19 | 12 | | |
| 63 | | 21 | | | | | | | 6 | 14 | 15 | | |
| 66 | | 22 | | | | | | | 8 | 9 | 14 | | |
| 69 | | 23 | | | | | | | 6 | 8 | 13 | | |
| 72 | | 24 | | | | | | | 6 | 5 | 8 | | |
| 75 | | 25 | | | | | | | 5 | 3 | 6 | | |
| 78 | | 26 | | | | | | | 3 | 4 | 4 | | |
| 81 | | 27 | | | | | | | 3 | 2 | 3 | | |
| 84 | | 28 | | | | | | | 2 | 4 | 3 | | |
| 87 | | 29 | | | | | | | 3 | 2 | 5 | | |
| 90 | | 30 | | | | | | | 1 | 3 | 8 | | |
| 93 | | 31 | | | | | | | 0 | 1 | 8 | | |
| 96 | | 32 | | | | | | | 0 | 1 | 8 | | |
| 99 | | 33 | | | | | | | 0 | 1 | 8 | | |
| 102 | | 34 | | | | | | | 1 | 1 | 8 | | |
| 105 | | 35 | | | | | | | 1 | 1 | 8 | | |
| 108 | | 36 | | | | | | | 3 | 2 | 8 | | |
| 111 | | 37 | | | | | | | 3 | 4 | 9 | | |
| 114 | | 38 | | | | | | | 6 | 4 | 9 | | |
| 117 | | 39 | | | | | | | 4 | 6 | 12 | | |
| 120 | | 40 | | | | | | | 6 | 5 | 15 | | |
| 123 | | 41 | | | | | | | 6 | 7 | 17 | | |
| 126 | | 42 | | | | | | | 5 | 7 | 18 | | |
| 129 | | 43 | | | | | | | 5 | 9 | 20 | | |
| 132 | | 44 | | | | | | | 7 | 11 | 22 | | |
| 135 | | 45 | | | | | | | 6 | 10 | 26 | | |
| 138 | | 46 | | | | | | | 8 | 8 | 27 | | |
| 141 | | 47 | | | | | | | 7 | 8 | 29 | | |
| 144 | | 48 | | | | | | | 9 | 9 | 29 | | |
| 147 | | 49 | | | | | | | 8 | 10 | 24 | | |
| 150 | | 50 | | | | | | | 8 | 10 | 20 | | |
| 153 | | 51 | | | | | | | 7 | 12 | 16 | | |
| 156 | | 52 | | | | | | | 6 | 8 | 11 | | |

| | Waktu (s) | clock tick | Q masuk | Sel- 1 | Sel- 2 | Sel- 3 | Sel- 4 | Sel- 5 | Sel- 6 | Sel- 7 | Sel- 8 | Qkeluar | |
|-----|--------------|---------------|------------|-----------|-----------|-----------|-----------|-----------|-----------|-----------|-----------|---------|--------|
| 159 | | 53 | | | | | | | 6 | 4 | 6 | | |
| 162 | | 54 | | | | | | | 5 | 4 | 5 | | |
| 165 | | 55 | | | | | | | 3 | 7 | 6 | | |
| 168 | | 56 | | | | | | | 3 | 5 | 7 | | |
| 171 | | 57 | | | | | | | 2 | 2 | 5 | | |
| 174 | | 58 | | | | | | | 3 | 2 | 6 | | Yellow |
| 177 | | 59 | | | | | | | 5 | 3 | 7 | | Red |
| 180 | | 60 | | | | | | | 3 | 1 | 9 | | Red |
| 183 | | 61 | | | | | | | 1 | 2 | 10 | | Red |
| 186 | | 62 | | | | | | | 0 | 2 | 10 | | Red |
| 189 | | 63 | | | | | | | 1 | 2 | 11 | | Red |
| 192 | | 64 | | | | | | | 7 | 1 | 11 | | Red |
| 195 | | 65 | | | | | | | 6 | 7 | 11 | | Red |
| 198 | | 66 | | | | | | | 3 | 8 | 16 | | Red |
| 201 | | 67 | | | | | | | 4 | 8 | 19 | | Red |
| 204 | | 68 | | | | | | | 7 | 8 | 22 | | Red |
| 207 | | 69 | | | | | | | 6 | 8 | 23 | | Red |
| 210 | | 70 | | | | | | | 11 | 10 | 25 | | Red |
| 213 | | 71 | | | | | | | 7 | 12 | 27 | | Red |
| 216 | | 72 | | | | | | | 6 | 16 | 29 | | Red |
| 219 | | 73 | | | | | | | 7 | 13 | 31 | | Red |
| 222 | | 74 | | | | | | | 8 | 13 | 32 | | Red |
| 225 | | 75 | | | | | | | 9 | 13 | 32 | | Red |
| 228 | | 76 | | | | | | | 9 | 15 | 32 | | Red |
| 231 | | 77 | | | | | | | 9 | 15 | 32 | | Red |
| 234 | | 78 | | | | | | | 9 | 15 | 32 | | Green |
| 237 | | 79 | | | | | | | 11 | 15 | 31 | | Green |
| 240 | | 80 | | | | | | | 12 | 15 | 22 | | Green |
| 243 | | 81 | | | | | | | 11 | 12 | 14 | | Green |
| 246 | | 82 | | | | | | | 7 | 9 | 11 | | Green |
| 249 | | 83 | | | | | | | 6 | 8 | 7 | | Green |
| 252 | | 84 | | | | | | | 5 | 5 | 8 | | Green |
| 255 | | 85 | | | | | | | 3 | 3 | 5 | | Green |
| 258 | | 86 | | | | | | | 3 | 2 | 4 | | Green |

| | Waktu (s) | clock tick | Q masuk | Sel- 1 | Sel- 2 | Sel- 3 | Sel- 4 | Sel- 5 | Sel- 6 | Sel- 7 | Sel- 8 | Qkeluar | |
|-----|--------------|---------------|------------|-----------|-----------|-----------|-----------|-----------|-----------|-----------|-----------|---------|--|
| 261 | | 87 | | | | | | | 2 | 2 | 1 | | |
| 264 | | 88 | | | | | | | 1 | 1 | 2 | | |
| 267 | | 89 | | | | | | | 0 | 2 | 2 | | |
| 270 | | 90 | | | | | | | 0 | 1 | 3 | | |
| 273 | | 91 | | | | | | | 2 | 0 | 4 | | |
| 276 | | 92 | | | | | | | 1 | 2 | 5 | | |
| 279 | | 93 | | | | | | | 6 | 1 | 7 | | |
| 282 | | 94 | | | | | | | 5 | 4 | 9 | | |
| 285 | | 95 | | | | | | | 5 | 5 | 13 | | |
| 288 | | 96 | | | | | | | 4 | 4 | 16 | | |
| 291 | | 97 | | | | | | | 6 | 7 | 20 | | |
| 294 | | 98 | | | | | | | 7 | 4 | 23 | | |
| 297 | | 99 | | | | | | | 5 | 8 | 26 | | |
| 300 | | 100 | | | | | | | 5 | 7 | 27 | | |

Sumber : hasil survei

4.2 Analisa dan Pembahasan

4.2.1 Prediksi Tundaan Hasil Pemodelan

Besar tundaan hasil pemodelan di hitung menggunakan program computer yang dikembangkan menggunakan model transmisi sel. Data masukan untuk eksekusi program computer untuk menghitung besar tundaan dengan metode CTM pada suatu pendekat simpang bersinyal adalah sebagai berikut.

a. Kecepatan Arus Lalu lintas

Kecepatan arus lalu lintas pada ruas di perlihatkan pada Tabel berikut.

Tabel 4.11 Kecepatan Arus Lalu lintas

| Nama ruas | Panjang Ruas (m) | Kecepatan Arus Bebas (Km/jam) | |
|-----------|---------------------|-------------------------------|-------------------|
| | | Arah (BCA-PLN) | Arah (PLN-BCA) |
| 1-2 | 195 | 26,88 ≈ 27 | 28,72 ≈ 29 |

b. Kepadatan Macet (*Jam Density*)

Kepadatan macet adalah kepadatan lalulintas yang terjadi pada kondisi terjadi kemacetan lalu lintas. Kepadan macet adalah jumlah kendaraan yang menempati ruas dalam satuan panjang (Km). Besar kepadatan macet maka dapat di peroleh dengan cara menghitung jumlah kendaraan yang berada pada ruas jalan untuk panjang tertentu (Km). Jenis kendaraan yang melintasi ruas jalan adalah sepeda motor, kendaraan ringan, dan kendaraan berat. Kepadatan kendaraan dapat diestimasikan sebagai berikut.

$$\text{kepadatan } (D) = \frac{\text{Volume Lalu lintas}}{\text{Kecepatan Lalu lintas}}$$

Besar kepadatan maksimum tersebut harus di cek terhadap kepadatan macet (*jam density*). Besar kepadatan macet dalam satuan smp/km dapat di prediksi dengan mengambil asumsi terjadi kondisi macet total sehingga kendaraan tidak dapat bergerak. Pada kondisi yang demikian maka jumlah kendaraan ringan yang dapat terisi untuk panjang 1 kilometer ruas jalan. Untuk itu perlu di ketahui ukuran kendaraan ringan dan jarak antar kendaraan di perlihatkan pada gambar berikut. Jumlah kendaraan maksimum yang dapat mengisi ruas jalan sepanjang 1000 meter dapat diestimasi dengan rumus berikut:

$$\text{Kecepatan macet} = \frac{1000\text{m}}{L_p} = \frac{1000\text{ m}}{6\text{ m}}$$

$$= 166,66 \approx 166 \text{ kendaraan ringan} = 166 \text{ smp}$$

c. Kapasitas Ruas Jalan Antar Simpang Bersinyal

Kapasitas ruas jalan adalah lalulintas maksimum yang dapat di lewatkan melintasi suatu penampang ruas jalan (lajur jalan). Berdasarkan hasil survei pada ruas jalan didapatkan besar arus maksimum pada jalur adalah sebagai berikut.

Tabel 4.12 Kapasitas Ruas Jalan Antar Simpang Bersinyal

| Nama Ruas | Panjang Ruas (m) | Arah | Lebar jalur lalulintas (m) | Jumlah lajur | Besar Arus Maksimum (smp/jam) |
|-----------|------------------|---------|----------------------------|--------------|-------------------------------|
| 1-2 | 195 | BCA-PLN | 7,5 | 2 | 3000 |
| | | PLN-BCA | 7,5 | 2 | 3000 |

d. Arus Jenuh (*saturation Flow*) Pendekat Simpang

Arus jenuh maksimum adalah jumlah arus lalulintas maksimum yang dapat dilalui melintasi suatu pendekat simpang bersinyal. Berdasarkan hasil survei pada pendekat simpang di dapat besar arus jenuh adalah sebagai berikut

Tabel 4.13 Arus Jenuh (*saturation Flow*) Pendekat Simpang

| Simpang | Arah | Jumlah Lajur | Besar Arus Jenuh |
|---------|---------|--------------|------------------|
| 1 | BCA-PLN | 2 | 3000 |
| 2 | PLN-BCA | 2 | 3000 |

e. Model CTM Pada koordinasi 2 Simpang Bersinyal

Karakteristik CTM meliputi panjang sel, interval waktu (*clock tick*), kapasitas arus masuk sel (Q), jumlah maksimum kendaraan pada sel (N). Dalam menentukan karakteristik CTM langkah yang pertama harusdi tentukan adalah interval waktu (*clock tick*).

1. Unit interval waktu (*clock tick*).

Besar interval waktu (*clock tick*) di tentukan sedemikian sehingga panjang waktu siklus sinyal merupakan kelipatan terbesar unit waktu (*clock tick*). Besar unit waktu (*clock tick*) di rencanakan sebesar 3 detik sehingga hasil pembagian panjang siklus dengan unit waktu (*clock tick*) merupakan bilangan bulat

2. Jumlah siklus *clock tick*.

Jumlah siklus *clock tick* di ambil untuk lama waktu 5 menit, sehingga sama besar dengan waktu survei tundaan. Dengan demikian besar tundaan total lalulintas hasil model dan hasil survei adalah untuk lama waktu 5 menit.

Jumlah siklus *clock tick* dapat dihitung sebagai berikut:

$$\text{Jumlah siklus } \textit{clock tick} = (5 \times 60)/3 = 100$$

Dengan demikian, jumlah siklus di ambil sebesar 100 siklus.

3. Panjang sel pada metode CTM

Besar panjang sel pada metode CTM merupakan hasil perkalian kecepatan arus bebas dengan nilai unit waktu *clock tick*. Kecepatan arus bebas dapat dihitung dengan menggunakan 2 buah handycam yang diletakkan pada jarak 30 meter. Survei kecepatan dilakukan pada hari yang sama dengan survei volume lalulintas. Dengan mengambil sampel kendaraan ringan sebanyak 10 sampel.

Perhitungan kecepatan kendaraan yang digunakan adalah kecepatan rata-rata kendaraan, yaitu dengan membagi jarak dengan waktu tempuh. Adapun data kecepatan kendaraan adalah sebagai berikut.

Tabel 4.14 Kecepatan Rata-Rata Kendaraan Kantor BCA - Kantor PLN

0.195 km

| No | jarak (m) | waktu (detik) | Jarak (Km) | waktu (jam) | kecepatan (km/jam) |
|----|-----------|---------------|------------|-------------|--------------------|
| 1 | 30 | 4.28 | 0.03 | 0.001188889 | 25.23 |
| 2 | 30 | 3.63 | 0.03 | 0.001008333 | 29.75206612 |
| 3 | 30 | 3.83 | 0.03 | 0.001063889 | 28.19843342 |
| 4 | 30 | 5.43 | 0.03 | 0.001508333 | 19.88950276 |
| 5 | 30 | 3.7 | 0.03 | 0.001027778 | 29.18918919 |

| No | jarak (m) | waktu (detik) | Jarak (Km) | waktu (jam) | kecepatan (km/jam) |
|----|-----------|---------------|------------|-------------|--------------------|
| 6 | 30 | 3.75 | 0.03 | 0.001041667 | 28.8 |
| 7 | 30 | 3.72 | 0.03 | 0.001033333 | 29.03225806 |
| 8 | 30 | 4.3 | 0.03 | 0.001194444 | 25.12 |
| 9 | 30 | 4.35 | 0.03 | 0.001208333 | 24.82758621 |
| 10 | 30 | 3.75 | 0.03 | 0.001041667 | 28.8 |
| | | | | v= | 26.88 |

$$t: 3 \text{ sec} = 1/1200 \text{ Jam} = 0.000833333 \text{ jam}$$

- Panjang cell :

$$V \times t = 26.88 \times 0.000833333 = 0.0224 \approx 22 \text{ meter}$$

- jumlah cell

$$\text{panjang jalan / panjang cell} = 8.704 \approx 8\text{cell}$$

Tabel 4.15 Kecepatan Rata-Rata Kendaraan Kantor PLN - Kantor BCA
0,195 km

| No | km | waktu (detik) | Jarak (Km) | waktu (jam) | kecepatan (km/jam) |
|----|----|---------------|------------|-------------|--------------------|
| 1 | 30 | 5.38 | 0.03 | 0.001494444 | 20.07 |
| 2 | 30 | 3.65 | 0.03 | 0.001013889 | 29.5890411 |
| 3 | 30 | 3.64 | 0.03 | 0.001011111 | 29.67032967 |
| 4 | 30 | 3.48 | 0.03 | 0.000966667 | 31.03448276 |
| 5 | 30 | 3.68 | 0.03 | 0.001022222 | 29.34782609 |
| 6 | 30 | 3.76 | 0.03 | 0.001044444 | 28.72340426 |
| 7 | 30 | 3.85 | 0.03 | 0.001069444 | 28.05194805 |
| 8 | 30 | 3.47 | 0.03 | 0.000963889 | 31.12 |
| 9 | 30 | 4.32 | 0.03 | 0.0012 | 25 |
| 10 | 30 | 3.12 | 0.03 | 0.000866667 | 34.61538462 |
| | | | | V = | 28.72 |

$t: 3 \text{ sec} = 1/1200 \text{ Jam} = 0.000833333 \text{ jam}$

- Panjang cell :

$$V \times t = 28.72 \times 0.000833333 = 0.02393589$$

$\approx 23 \text{ meter}$

- jumlah cell

$$\text{panjang jalan / panjang cell} = 8.146761888 \approx 8 \text{ cell}$$

4. Kapasitas Kendaraan Pada Sel (N)

Kapasitas sel adalah jumlah maksimum kendaraan yang dapat terisi pada sel.

Kapasitas sel merupakan hasil perkalian panjang sel (*cell length*) dengan kepadatan macet (*jam density*)

$$\begin{aligned} N_i &= \text{panjang sel} \times \text{kepadatan jenuh} \times \text{jumlah jalur} \\ &= 22 \text{m} \times 166 \text{ smp/km} \times 2 \text{ lajur} \\ &= 22M \times 166/1000 \times 2 \text{ smp/m} \\ &= 7,3 \approx 7 \text{ smp} \end{aligned}$$

5. Jumlah Maksimum Kendaraan Memasuki Sel (Q)

Jumlah maksimum kendaraan memasuki sel dalam satu satuan waktu *clock tick*.

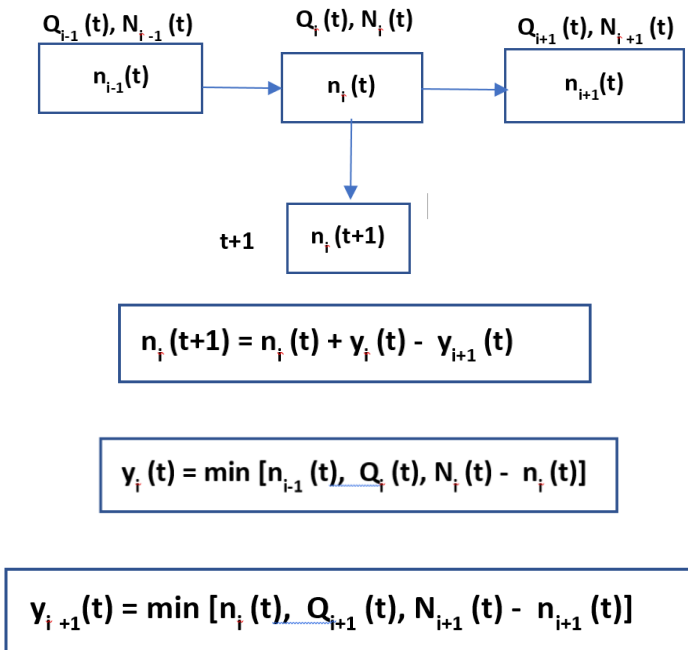
Jumlah maksimum kendaraan memasuki sel di peroleh dengan mengalikan besar arus jenuh sel (*cell's saturated flow*) dengan saruan waktu *clock tick*

$$\begin{aligned} Q_i &= \text{arus jenuh sel} (\text{cell's saturated flow}) \times \text{interval waktu} (\text{clock tick}) \times \\ &\quad \text{jumlah lajur} \\ &= 2200 \text{ smp/jam} \times 3/3600 \text{ jam} \times 2 \end{aligned}$$

$$= 3.666 \approx 3 \text{ smp}$$

4.2.2. Pemodelan CTM

Pemodelan CTM merupakan suatu tahapan yang bertujuan untuk mensimulasikan jaringan sel yang akan di hubungkan dengan simpang bersinyal. Pemodelan CTM di lakukan terhadap 2 ruas jalan yang berada di Jalan Basuki Rahmat. Ruas pertama ialah dari arah BCA-PLN dana rah PLN-BCA yang ditinjau dalam kosi normal (tidak macet) dan dalam kondisi tidak normal (macet) dapat di terapkan dengan persamaan sebagai berikut



Pemodelan CTM terhadap Jaringan Simpang Bersinyal dapat di peroleh hasil antrian dan tundaannya. Melalui data antrian dan tundaan dptat di peroleh Idek Tingkat Pelayanan (ITP) yang di isyaratkan oleh peraturan Mertri Perhubungan no. 75 Tahun

2015. Pemodelan CTM pada ruas jalan BCA-PLN dan PLN-BCA di lakukan dengan mencari Antrian dan Tundaan yang di lampirkan dalam 1 fase saja (lampa hijau, kuning dan merah)

Tabel 4.16 Pemodelan CTM

| Q | N | 999 | 3 | 3 | 3 | 3 | 3 | 3 | 3 | 3 |
|-----------|------------|--------|-------|-------|-------|-------|-------|-------|-------|-------|
| | | | Sel-1 | Sel-2 | Sel-3 | Sel-4 | Sel-5 | Sel-6 | Sel-7 | Sel-8 |
| Waktu (s) | clock tick | Qmasuk | | | | | | | | |
| 0 | 0 | | | | | | | | | 3 |
| 3 | 1 | 2 | 2 | 2 | 3 | 3 | 2 | 3 | 1 | 1 |
| 6 | 2 | 2 | 2 | 2 | 2 | 3 | 3 | 2 | 3 | 1 |
| 9 | 3 | 2 | 2 | 2 | 2 | 2 | 3 | 3 | 2 | 3 |
| 12 | 4 | 2 | 2 | 2 | 2 | 2 | 2 | 3 | 3 | 2 |
| 15 | 5 | 0 | 2 | 2 | 2 | 2 | 2 | 2 | 3 | 3 |
| 18 | 6 | 0 | 0 | 2 | 2 | 2 | 2 | 2 | 2 | 3 |
| 21 | 7 | 1 | 0 | 0 | 2 | 2 | 2 | 2 | 2 | 2 |
| 24 | 8 | 0 | 1 | 0 | 0 | 2 | 2 | 2 | 2 | 2 |
| 27 | 9 | 0 | 0 | 1 | 0 | 0 | 2 | 2 | 2 | 2 |
| 30 | 10 | 1 | 0 | 0 | 1 | 0 | 0 | 2 | 2 | 2 |
| 33 | 11 | 0 | 1 | 0 | 0 | 1 | 0 | 0 | 2 | 3 |
| 36 | 12 | 0 | 0 | 1 | 0 | 0 | 1 | 0 | 0 | 5 |
| 39 | 13 | 1 | 0 | 0 | 1 | 0 | 0 | 1 | 0 | 5 |
| 42 | 14 | 0 | 1 | 0 | 0 | 1 | 0 | 0 | 1 | 5 |
| 45 | 15 | 0 | 0 | 1 | 0 | 0 | 1 | 0 | 0 | 6 |
| 48 | 16 | 1 | 0 | 0 | 1 | 0 | 0 | 1 | 0 | 6 |
| 51 | 17 | 0 | 1 | 0 | 0 | 1 | 0 | 0 | 1 | 6 |
| 54 | 18 | 0 | 0 | 1 | 0 | 0 | 1 | 0 | 0 | 7 |
| 57 | 19 | 1 | 0 | 0 | 1 | 0 | 0 | 1 | 0 | 7 |
| 60 | 20 | 0 | 1 | 0 | 0 | 1 | 0 | 0 | 1 | 7 |
| 63 | 21 | 0 | 0 | 1 | 0 | 0 | 1 | 0 | 1 | 7 |
| 66 | 22 | 1 | 0 | 0 | 1 | 0 | 0 | 1 | 1 | 7 |
| 69 | 23 | 2 | 1 | 0 | 0 | 1 | 0 | 0 | 2 | 7 |
| 72 | 24 | 2 | 2 | 1 | 0 | 0 | 1 | 0 | 2 | 7 |

| Waktu (s) | clock tick | Qmasuk | Sel-1 | Sel-2 | Sel-3 | Sel-4 | Sel-5 | Sel-6 | Sel-7 | Sel-8 | Qkeluar |
|-----------|------------|--------|-------|-------|-------|-------|-------|-------|-------|-------|---------|
| 75 | 25 | 2 | 2 | 2 | 1 | 0 | 0 | 1 | 2 | 7 | 0 |
| 78 | 26 | 2 | 2 | 2 | 2 | 1 | 0 | 0 | 3 | 7 | 0 |
| 81 | 27 | 2 | 2 | 2 | 2 | 2 | 1 | 0 | 3 | 7 | 0 |
| 84 | 28 | 2 | 2 | 2 | 2 | 2 | 2 | 1 | 3 | 7 | 0 |
| 87 | 29 | 2 | 2 | 2 | 2 | 2 | 2 | 2 | 4 | 7 | 0 |

4.2.3. Antrian dan Tundaan Simpang

Data antrian dan data Tundaan pada ruas jalan basuki rahmat akan akan di bagi menjadi dua metode yaitu Metode CTM dan Metode MKJI. Dari data pada Metode CTM dan Metode MKJI akan di peroleh Data Antrian dan Data Tundaan yang akan di bandingkan dengan Data Antrian dan Tundaan dari survey di lokasi asli sehingga dapat diketahui metode survey yang lebih mendekati dengan hasil data lapangan.

4.2.3.1. Antrian dan Tundaan Data Survey (Real)

Antrian dan Tundaan pada data Survei merupakan data asli (real). Data survey merupakan data yang di peroleh dengan melakukan tinjauan langsung pada ruas jalan Basuki Rahmat sehingga dapat memperoleh data Antrian dan Tundaan yang asli. Survey yang di lakukan dengan meninjau langsung kondisi jalan yang berada dalam kondisi Lancar dan Macet. Ruas jalan yang menjadi tinjauan merupakan merupakan ruas jalan pada BCA-PLN dan PLN-BCA.

- Ruas Jalan BCA-PLN

BCA-PLN (Lancar)

Tabel 4.17 BCA-PLN (Lancar)

| Waktu (s) | clock tick | Q masuk | Sel-1 | Sel-2 | Sel-3 | Sel-4 | Sel-5 | Sel-6 | Sel-7 | Sel-8 | Q keluar |
|-----------|------------|---------|-------|-------|-------|-------|-------|-------|-------|-------|----------|
| | | | | | | | | | | | |
| 0 | 0 | | | | | | | | | | |
| 3 | 1 | | | | | | | | 0 | 0 | 7 |

| Waktu (s) | clock tick | Q masuk | Sel-1 | Sel-2 | Sel-3 | Sel-4 | Sel-5 | Sel-6 | Sel-7 | Sel-8 | Q keluar |
|-----------|------------|---------|-------|-------|-------|-------|-------|-------|-------|-------|----------|
| 6 | 2 | | | | | | | 0 | 0 | 7 | |
| 9 | 3 | | | | | | | 1 | 0 | 7 | |
| 12 | 4 | | | | | | | 2 | 1 | 7 | |
| 15 | 5 | | | | | | | 1 | 1 | 8 | |
| 18 | 6 | | | | | | | 1 | 0 | 9 | |
| 21 | 7 | | | | | | | 1 | 0 | 9 | |
| 24 | 8 | | | | | | | 0 | 1 | 9 | |
| 27 | 9 | | | | | | | 6 | 1 | 9 | |
| 30 | 10 | | | | | | | 8 | 6 | 9 | |
| 33 | 11 | | | | | | | 5 | 11 | 12 | |
| 36 | 12 | | | | | | | 5 | 8 | 14 | |
| 39 | 13 | | | | | | | 6 | 7 | 17 | |
| 42 | 14 | | | | | | | 7 | 10 | 15 | |
| 45 | 15 | | | | | | | 5 | 8 | 17 | |
| 48 | 16 | | | | | | | 7 | 14 | 16 | |
| 51 | 17 | | | | | | | 6 | 16 | 16 | |
| 54 | 18 | | | | | | | 8 | 18 | 16 | |
| 57 | 19 | | | | | | | 8 | 19 | 15 | |
| 60 | 20 | | | | | | | 8 | 19 | 12 | |
| 63 | 21 | | | | | | | 6 | 14 | 15 | |
| 66 | 22 | | | | | | | 8 | 9 | 14 | |
| 69 | 23 | | | | | | | 6 | 8 | 13 | |
| 72 | 24 | | | | | | | 6 | 5 | 8 | |
| 75 | 25 | | | | | | | 5 | 3 | 6 | |
| 78 | 26 | | | | | | | 3 | 4 | 4 | |
| 81 | 27 | | | | | | | 3 | 2 | 3 | |
| 84 | 28 | | | | | | | 2 | 4 | 3 | |
| 87 | 29 | | | | | | | 3 | 2 | 5 | |

Data Antrian real

Dari tabel diatas di tunjukkan bahwa sel terakhir yang reisi adalah pada sel 6. Hal tersebut menunjukkan bahawan panjang antrian terakhir berada pada sel 6

dengan jumlah 3 sel. Sehingga dapat diketahui antrian BCA-PLN dalam kondisi lancar adalah sebagai berikut.

Tabel 4.18 Data Antrian Real BCA-PLN (Lancar)

| Panjang setiap sel (meter) | Sel terisis | Panjang antrian (meter) |
|-------------------------------|-------------|----------------------------|
| 22 | 3 | 66 |

Jadi, panjang antrian real pada BCA-PLN dalam kondisi lancar adalah 66 meter

BCA-PLN (Macet)

Tabel 4.20 BCA-PLN (Macet)

| Waktu (s) | clock tick | Q masuk | Sel- 1 | Sel- 2 | Sel- 3 | Sel- 4 | Sel- 5 | Sel- 6 | Sel- 7 | Sel- 8 | Q keluar |
|--------------|---------------|------------|-----------|-----------|-----------|-----------|-----------|-----------|-----------|-----------|-------------|
| 0 | 0 | | | | | | | | | | |
| 3 | 1 | | 4 | | | | 11 | | | 10 | |
| 6 | 2 | | 3 | | | | 8 | | | 6 | |
| 9 | 3 | | 1 | | | | 10 | | | 7 | |
| 12 | 4 | | 1 | | | | 9 | | | 8 | |
| 15 | 5 | | 1 | | | | 7 | | | 8 | |
| 18 | 6 | | 1 | | | | 4 | | | 10 | |
| 21 | 7 | | 1 | | | | 5 | | | 12 | |
| 24 | 8 | | 2 | | | | 4 | | | 12 | |
| 27 | 9 | | 0 | | | | 4 | | | 12 | |
| 30 | 10 | | 1 | | | | 4 | | | 10 | |
| 33 | 11 | | 1 | | | | 6 | | | 10 | |
| 36 | 12 | | 0 | | | | 4 | | | 10 | |
| 39 | 13 | | 1 | | | | 6 | | | 11 | |
| 42 | 14 | | 2 | | | | 8 | | | 12 | |
| 45 | 15 | | 1 | | | | 6 | | | 12 | |
| 48 | 16 | | 1 | | | | 8 | | | 12 | |

| Waktu (s) | clock tick | Q masuk | Sel-1 | Sel-2 | Sel-3 | Sel-4 | Sel-5 | Sel-6 | Sel-7 | Sel-8 | Q keluar |
|-----------|------------|---------|-------|-------|-------|-------|-------|-------|-------|-------|----------|
| 51 | 17 | | 0 | | | | 8 | | | 12 | Green |
| 54 | 18 | | 4 | | | | 7 | | | 12 | Green |
| 57 | 19 | | 4 | | | | 6 | | | 12 | Yellow |

Data Antrian real

Dari tabel diatas di tunjukkan bahwa sel terakhir yang reisi adalah pada sel 1. Hal tersebut menunjukkan bahawan panjang antrian terakhir berada pada sel 1 dengan jumlah 8 sel. Sehingga dapat diketahui antrian BCA-PLN dalam kondisi lancar adalah sebagai berikut.

Tabel 4.21 Data Antrian Real BCA-PLN (Macet)

| Panjang setiap sel (meter) | Sel terisis | Panjang antrian (meter) |
|----------------------------|-------------|-------------------------|
| 22 | 8 | 176 |

Jadi, panjang antrian real pada BCA-PLN dalam kondisi macet adalah 176 meter

- Ruas Jalan PLN-BCA

PLN-BCA (Lancar)

Tabel 4.23 PLN-BCA (Lancar)

| Waktu (s) | clock tick | Q masuk | Sel-1 | Sel-2 | Sel-3 | Sel-4 | Sel-5 | Sel-6 | Sel-7 | Sel-8 | Q keluar |
|-----------|------------|---------|-------|-------|-------|-------|-------|-------|-------|-------|----------|
| 0 | 0 | | | | | | | | | | Yellow |
| 3 | 1 | | | | | | | | 9 | 13 | 12 |
| 6 | 2 | | | | | | | | 3 | 8 | 13 |
| 9 | 3 | | | | | | | | 2 | 5 | 16 |
| 12 | 4 | | | | | | | | 4 | 5 | 17 |

| Waktu (s) | clock tick | Q masuk | Sel-1 | Sel-2 | Sel-3 | Sel-4 | Sel-5 | Sel-6 | Sel-7 | Sel-8 | Q keluar |
|-----------|------------|---------|-------|-------|-------|-------|-------|-------|-------|-------|----------|
| 15 | 5 | | | | | | | 5 | 10 | 17 | |
| 18 | 6 | | | | | | | 4 | 7 | 19 | |
| 21 | 7 | | | | | | | 1 | 8 | 19 | |
| 24 | 8 | | | | | | | 2 | 9 | 19 | |
| 27 | 9 | | | | | | | 3 | 9 | 19 | |
| 30 | 10 | | | | | | | 3 | 10 | 19 | |
| 33 | 11 | | | | | | | 7 | 12 | 20 | |
| 36 | 12 | | | | | | | 4 | 12 | 20 | |
| 39 | 13 | | | | | | | 2 | 14 | 20 | |
| 42 | 14 | | | | | | | 4 | 16 | 19 | |
| 45 | 15 | | | | | | | 4 | 16 | 16 | |
| 48 | 16 | | | | | | | 7 | 16 | 14 | |
| 51 | 17 | | | | | | | 7 | 14 | 10 | |
| 54 | 18 | | | | | | | 10 | 10 | 10 | |
| 57 | 19 | | | | | | | 11 | 11 | 9 | |
| 60 | 20 | | | | | | | 10 | 14 | 8 | green |
| 63 | 21 | | | | | | | 11 | 12 | 9 | green |
| 66 | 22 | | | | | | | 8 | 10 | 11 | green |
| 69 | 23 | | | | | | | 9 | 8 | 12 | green |
| 72 | 24 | | | | | | | 5 | 6 | 6 | green |
| 75 | 25 | | | | | | | 7 | 3 | 5 | green |
| 78 | 26 | | | | | | | 7 | 7 | 4 | green |
| 81 | 27 | | | | | | | 5 | 9 | 4 | green |
| 84 | 28 | | | | | | | 3 | 7 | 10 | green |
| 87 | 29 | | | | | | | 1 | 4 | 12 | yellow |

Data Antrian real

Dari tabel diatas di tunjukkan bahwa sel terakhir yang reisi adalah pada sel 6. Hal tersebut menunjukkan bahawan panjang antrian terakhir berada pada sel 6 dengan jumlah 3 sel. Sehingga dapat di ketahui antrian PLN-BCA dalam kondisi lancar adalah sebagai berikut.

Tabel 4.24 Data Antrian Real PLN-BCA (Lancar)

| Panjang setiap sel (meter) | Sel terisis | Panjang antrian (meter) |
|-------------------------------|-------------|----------------------------|
| 23 | 3 | 69 |

Jadi, panjang antrian real pada PLN-BCA dalam kondisi lancar adalah 69 meter

BCA-PLN (Macet)

Tabel 4.26 PLN-BCA (Macet)

| Waktu (s) | clock tick | Q masuk | Sel- 1 | Sel- 2 | Sel- 3 | Sel- 4 | Sel- 5 | Sel- 6 | Sel- 7 | Sel- 8 | Q keluar |
|--------------|---------------|------------|-----------|-----------|-----------|-----------|-----------|-----------|-----------|-----------|-------------|
| 0 | 0 | | | | | | | | | | |
| 3 | 1 | | | | | | 4 | 6 | | 5 | |
| 6 | 2 | | | | | | 2 | 2 | | 8 | |
| 9 | 3 | | | | | | 4 | 4 | | 11 | |
| 12 | 4 | | | | | | 4 | 3 | | 12 | |
| 15 | 5 | | | | | | 3 | 4 | | 13 | |
| 18 | 6 | | | | | | 7 | 4 | | 15 | |
| 21 | 7 | | | | | | 5 | 6 | | 15 | |
| 24 | 8 | | | | | | 11 | 6 | | 17 | |
| 27 | 9 | | | | | | 10 | 9 | | 17 | |
| 30 | 10 | | | | | | 9 | 0 | | 17 | |
| 33 | 11 | | | | | | 10 | 9 | | 17 | |
| 36 | 12 | | | | | | 10 | 10 | | 17 | |
| 39 | 13 | | | | | | 8 | 11 | | 17 | |
| 42 | 14 | | | | | | 9 | 11 | | 17 | |
| 45 | 15 | | | | | | 8 | 15 | | 14 | |
| 48 | 16 | | | | | | 5 | 17 | | 12 | |
| 51 | 17 | | | | | | 4 | 21 | | 8 | |
| 54 | 18 | | | | | | 4 | 16 | | 13 | |
| 57 | 19 | | | | | | 5 | 15 | | 12 | |

| Waktu (s) | clock tick | Q masuk | Sel-1 | Sel-2 | Sel-3 | Sel-4 | Sel-5 | Sel-6 | Sel-7 | Sel-8 | Q keluar |
|-----------|------------|---------|-------|-------|-------|-------|-------|-------|-------|-------|----------|
| 60 | 20 | | | | | | 6 | 11 | | 13 | |
| 63 | 21 | | | | | | 2 | 11 | | 14 | |
| 66 | 22 | | | | | | 3 | 9 | | 12 | |
| 69 | 23 | | | | | | 5 | 7 | | 8 | |
| 72 | 24 | | | | | | 5 | 5 | | 5 | |
| 75 | 25 | | | | | | 4 | 6 | | 7 | |
| 78 | 26 | | | | | | 2 | 4 | | 9 | |
| 81 | 27 | | | | | | 4 | 2 | | 8 | |
| 84 | 28 | | | | | | 1 | 4 | | 4 | |
| 87 | 29 | | | | | | 5 | 3 | | 7 | |

Data Antrian real

Dari tabel diatas di tunjukkan bahwa sel terakhir yang reisi adalah pada sel 5. Hal tersebut menunjukkan bahawan panjang antrian terakhir berada pada sel 5 dengan jumlah 4 sel. Sehingga dapat diketahui antrian PLN-BCA dalam kondisi Macet adalah sebagai berikut.

Tabel 4.27 Data Antrian Real PLN-BCA (Macet)

| Panjang setiap sel (meter) | Sel terisis | Panjang antrian (meter) |
|----------------------------|-------------|-------------------------|
| 23 | 4 | 92 |

Jadi, panjang antrian real pada PLN-BCA dalam kondisi Macet adalah 92 meter

4.2.3.2. Antrian dan Tundaan Metode CTM

a. Ruas Jalan BCA-PLN

Antrian dan Tundaan di tinjau pada ruas jalan BCA-PLN dalam dua kondisi lalulintas. Yaitu, dalam kondisi Lancar (normal) dan Macet (tidak normal). Adapun data Atrian dan Tundaan pada ruas jalan BCA-PLN adalah sebagai berikut.

- **BCA-PLN dalam kondisi Lancar**

- Data Antrian BCA-PLN (*Lancar*)

Tabel 4.29 Pemodelan CTM BCA-PLN kondisi Lancar

| Waktu (s) | clock tick | Q masuk | Q | 3 | 3 | 3 | 3 | 3 | 3 | 3 | 3 |
|--------------|---------------|------------|---|-----|---|---|---|---|---|---|---|
| | | | N | 999 | 7 | 7 | 7 | 7 | 7 | 7 | 7 |
| 360 | 120 | 2 | 2 | 2 | 2 | 2 | 1 | 2 | 7 | 4 | 3 |
| 363 | 121 | 2 | 2 | 2 | 2 | 2 | 2 | 3 | 4 | 4 | 3 |
| 366 | 122 | 2 | 2 | 2 | 2 | 2 | 2 | 2 | 4 | 4 | 3 |
| 369 | 123 | 2 | 2 | 2 | 2 | 2 | 2 | 2 | 3 | 4 | 3 |
| 372 | 124 | 2 | 2 | 2 | 2 | 2 | 2 | 2 | 2 | 4 | 3 |
| 375 | 125 | 2 | 2 | 2 | 2 | 2 | 2 | 2 | 2 | 3 | 3 |
| 378 | 126 | 2 | 2 | 2 | 2 | 2 | 2 | 2 | 2 | 2 | 3 |
| 381 | 127 | 2 | 2 | 2 | 2 | 2 | 2 | 2 | 2 | 2 | 3 |
| 384 | 128 | 2 | 2 | 2 | 2 | 2 | 2 | 2 | 2 | 2 | 3 |
| 387 | 129 | 0 | 2 | 2 | 2 | 2 | 2 | 2 | 2 | 2 | 3 |
| 390 | 130 | 0 | 0 | 2 | 2 | 2 | 2 | 2 | 2 | 2 | 3 |
| 393 | 131 | 1 | 0 | 0 | 2 | 2 | 2 | 2 | 2 | 3 | 1 |
| 396 | 132 | 0 | 1 | 0 | 0 | 2 | 2 | 2 | 2 | 5 | 0 |
| 399 | 133 | 0 | 0 | 1 | 0 | 0 | 2 | 2 | 2 | 7 | 0 |
| 402 | 134 | 1 | 0 | 0 | 1 | 0 | 0 | 2 | 4 | 7 | 0 |
| 405 | 135 | 0 | 1 | 0 | 0 | 1 | 0 | 0 | 6 | 7 | 0 |
| 408 | 136 | 0 | 0 | 1 | 0 | 0 | 1 | 0 | 6 | 7 | 0 |
| 411 | 137 | 1 | 0 | 0 | 1 | 0 | 0 | 1 | 6 | 7 | 0 |
| 414 | 138 | 0 | 1 | 0 | 0 | 1 | 0 | 0 | 7 | 7 | 0 |
| 417 | 139 | 0 | 0 | 1 | 0 | 0 | 1 | 0 | 7 | 7 | 0 |
| 420 | 140 | 1 | 0 | 0 | 1 | 0 | 0 | 1 | 7 | 7 | 0 |
| 423 | 141 | 0 | 1 | 0 | 0 | 1 | 0 | 1 | 7 | 7 | 0 |
| 426 | 142 | 0 | 0 | 1 | 0 | 0 | 1 | 1 | 7 | 7 | 0 |
| 429 | 143 | 1 | 0 | 0 | 1 | 0 | 0 | 2 | 7 | 7 | 0 |
| 432 | 144 | 0 | 1 | 0 | 0 | 1 | 0 | 2 | 7 | 7 | 0 |
| 435 | 145 | 0 | 0 | 1 | 0 | 0 | 1 | 2 | 7 | 7 | 0 |
| 438 | 146 | 1 | 0 | 0 | 1 | 0 | 0 | 3 | 7 | 7 | 0 |

| Waktu (s) | clock tick | Q masuk | Sel-1 | Sel-2 | Sel-3 | Sel-4 | Sel-5 | Sel-6 | Sel-7 | Sel-8 | Q keluar |
|-----------|------------|---------|-------|-------|-------|-------|-------|-------|-------|-------|----------|
| 441 | 147 | 2 | 1 | 0 | 0 | 1 | 0 | 3 | 7 | 7 | 0 |
| 444 | 148 | 2 | 2 | 1 | 0 | 0 | 1 | 3 | 7 | 7 | 0 |
| 447 | 149 | 2 | 2 | 2 | 1 | 0 | 0 | 4 | 7 | 7 | 0 |
| 450 | 150 | 2 | 2 | 2 | 2 | 1 | 0 | 4 | 7 | 4 | 3 |
| 453 | 151 | 2 | 2 | 2 | 2 | 2 | 1 | 4 | 4 | 4 | 3 |
| 456 | 152 | 2 | 2 | 2 | 2 | 2 | 2 | 2 | 4 | 4 | 3 |
| 459 | 153 | 2 | 2 | 2 | 2 | 2 | 2 | 2 | 3 | 4 | 3 |
| 462 | 154 | 2 | 2 | 2 | 2 | 2 | 2 | 2 | 2 | 4 | 3 |
| 465 | 155 | 2 | 2 | 2 | 2 | 2 | 2 | 2 | 2 | 3 | 3 |
| 468 | 156 | 2 | 2 | 2 | 2 | 2 | 2 | 2 | 2 | 2 | 3 |
| 471 | 157 | 2 | 2 | 2 | 2 | 2 | 2 | 2 | 2 | 2 | 3 |
| 474 | 158 | 2 | 2 | 2 | 2 | 2 | 2 | 2 | 2 | 2 | 3 |
| 477 | 159 | 2 | 2 | 2 | 2 | 2 | 2 | 2 | 2 | 2 | 3 |
| 480 | 160 | 0 | 2 | 2 | 2 | 2 | 2 | 2 | 2 | 2 | 3 |
| 483 | 161 | 0 | 0 | 2 | 2 | 2 | 2 | 2 | 2 | 3 | 1 |

Data antrian maksimum adalah panjang antiran maksimum yang dimana sel telah terisi penuh dan berada dalam satu *clock tick* oleh kendaraan. Dapat di lihat pada tabel berikut.

Tabel 4.30 Data Antrian CTM BCA-PLN (Lancar)

| kondisi jalan | Periode (detik) | Q | | jumlah sel atrian | panjang sell | Panjang Antrian (meter) |
|---------------|-----------------|---------|----------|-------------------|--------------|-------------------------|
| | | q masuk | q keluar | | | |
| Normal | 447 | 2 | 3 | 3 | 22 | 66 |

- Data Tundaan BCA-PLN (*Lancar*):

Tabel 4.31 Pemodelan CTM BCA-PLN kondisi Lancar

| Waktu (s) | clock tick | Q masuk | Q | 3 | 3 | 3 | 3 | 3 | 3 | 3 | 3 |
|--------------|---------------|------------|---|-----|---|---|---|---|---|---|---|
| | | | N | 999 | 7 | 7 | 7 | 7 | 7 | 7 | 7 |
| 360 | 120 | 2 | 2 | 2 | 2 | 2 | 1 | 2 | 7 | 4 | 3 |
| 363 | 121 | 2 | 2 | 2 | 2 | 2 | 2 | 3 | 4 | 4 | 3 |
| 366 | 122 | 2 | 2 | 2 | 2 | 2 | 2 | 2 | 4 | 4 | 3 |
| 369 | 123 | 2 | 2 | 2 | 2 | 2 | 2 | 2 | 3 | 4 | 3 |
| 372 | 124 | 2 | 2 | 2 | 2 | 2 | 2 | 2 | 2 | 4 | 3 |
| 375 | 125 | 2 | 2 | 2 | 2 | 2 | 2 | 2 | 2 | 3 | 3 |
| 378 | 126 | 2 | 2 | 2 | 2 | 2 | 2 | 2 | 2 | 2 | 3 |
| 381 | 127 | 2 | 2 | 2 | 2 | 2 | 2 | 2 | 2 | 2 | 3 |
| 384 | 128 | 2 | 2 | 2 | 2 | 2 | 2 | 2 | 2 | 2 | 3 |
| 387 | 129 | 0 | 2 | 2 | 2 | 2 | 2 | 2 | 2 | 2 | 3 |
| 390 | 130 | 0 | 0 | 2 | 2 | 2 | 2 | 2 | 2 | 2 | 3 |
| 393 | 131 | 1 | 0 | 0 | 2 | 2 | 2 | 2 | 2 | 3 | 1 |
| 396 | 132 | 0 | 1 | 0 | 0 | 2 | 2 | 2 | 2 | 5 | 0 |
| 399 | 133 | 0 | 0 | 1 | 0 | 0 | 2 | 2 | 2 | 7 | 0 |
| 402 | 134 | 1 | 0 | 0 | 1 | 0 | 0 | 2 | 4 | 7 | 0 |
| 405 | 135 | 0 | 1 | 0 | 0 | 1 | 0 | 0 | 6 | 7 | 0 |
| 408 | 136 | 0 | 0 | 1 | 0 | 0 | 1 | 0 | 6 | 7 | 0 |
| 411 | 137 | 1 | 0 | 0 | 1 | 0 | 0 | 1 | 6 | 7 | 0 |
| 414 | 138 | 0 | 1 | 0 | 0 | 1 | 0 | 0 | 7 | 7 | 0 |
| 417 | 139 | 0 | 0 | 1 | 0 | 0 | 1 | 0 | 7 | 7 | 0 |
| 420 | 140 | 1 | 0 | 0 | 1 | 0 | 0 | 1 | 7 | 7 | 0 |
| 423 | 141 | 0 | 1 | 0 | 0 | 1 | 0 | 1 | 7 | 7 | 0 |
| 426 | 142 | 0 | 0 | 1 | 0 | 0 | 1 | 1 | 7 | 7 | 0 |
| 429 | 143 | 1 | 0 | 0 | 1 | 0 | 0 | 2 | 7 | 7 | 0 |
| 432 | 144 | 0 | 1 | 0 | 0 | 1 | 0 | 2 | 7 | 7 | 0 |
| 435 | 145 | 0 | 0 | 1 | 0 | 0 | 1 | 2 | 7 | 7 | 0 |
| 438 | 146 | 1 | 0 | 0 | 1 | 0 | 0 | 3 | 7 | 7 | 0 |
| 441 | 147 | 2 | 1 | 0 | 0 | 1 | 0 | 3 | 7 | 7 | 0 |
| 444 | 148 | 2 | 2 | 1 | 0 | 0 | 1 | 3 | 7 | 7 | 0 |

| Waktu (s) | clock tick | Q masuk | Sel-1 | Sel-2 | Sel-3 | Sel-4 | Sel-5 | Sel-6 | Sel-7 | Sel-8 | Q keluar |
|-----------|------------|---------|-------|-------|-------|-------|-------|-------|-------|-------|----------|
| 447 | 149 | 2 | 2 | 2 | 1 | 0 | 0 | 4 | 7 | 7 | 0 |
| 450 | 150 | 2 | 2 | 2 | 2 | 1 | 0 | 4 | 7 | 4 | 3 |
| 453 | 151 | 2 | 2 | 2 | 2 | 2 | 1 | 4 | 4 | 4 | 3 |
| 456 | 152 | 2 | 2 | 2 | 2 | 2 | 2 | 2 | 4 | 4 | 3 |
| 459 | 153 | 2 | 2 | 2 | 2 | 2 | 2 | 2 | 3 | 4 | 3 |
| 462 | 154 | 2 | 2 | 2 | 2 | 2 | 2 | 2 | 2 | 4 | 3 |
| 465 | 155 | 2 | 2 | 2 | 2 | 2 | 2 | 2 | 2 | 3 | 3 |
| 468 | 156 | 2 | 2 | 2 | 2 | 2 | 2 | 2 | 2 | 2 | 3 |
| 471 | 157 | 2 | 2 | 2 | 2 | 2 | 2 | 2 | 2 | 2 | 3 |
| 474 | 158 | 2 | 2 | 2 | 2 | 2 | 2 | 2 | 2 | 2 | 3 |
| 477 | 159 | 2 | 2 | 2 | 2 | 2 | 2 | 2 | 2 | 2 | 3 |
| 480 | 160 | 0 | 2 | 2 | 2 | 2 | 2 | 2 | 2 | 2 | 3 |
| 483 | 161 | 0 | 0 | 2 | 2 | 2 | 2 | 2 | 2 | 3 | 1 |

Tundaan adalah perbedaan waktu perjalanan dari suatu perjalanan dari satu titik ke titik tujuan antara kondisi arus bebas dengan arus terhambat. Tundaan adalah perbedaan waktu perjalanan dari suatu perjalanan dari satu titik ke titik tujuan antara kondisi arus bebas dengan arus terhambat

Tabel 4.32 Data Tundaan CTM BCA-PLN (Lancar)

| kondisi jalan | Periode (detik) | Detik | SMP | Tundaan (<i>Smp.Detik</i>) | Jumlah smp | Rata-rata Tundaan (smp.detik) |
|---------------|-----------------|-------|-----|------------------------------|------------|-------------------------------|
| Normal | 396-450 | 3 | 269 | 807 | 18 | 44.83 |

○ **BCA-PLN dalam Kondisi Macet**

- Data Antrian maksimum BCA-PLN (Macet)

Tabel 4.33 Pemodelan CTM BCA-PLN kondisi Macet

| Waktu (s) | clock tick | Q masuk | Sel-1 | Sel-2 | Sel-3 | Sel-4 | Sel-5 | Sel-6 | Sel-7 | Sel-8 | Q keluar |
|-----------|------------|---------|-------|-------|-------|-------|-------|-------|-------|-------|----------|
| 807 | 269 | 1 | 6 | 7 | 7 | 7 | 7 | 7 | 7 | 7 | 0 |
| 810 | 270 | 1 | 7 | 7 | 7 | 7 | 7 | 7 | 7 | 4 | 3 |
| 813 | 271 | 3 | 7 | 7 | 7 | 7 | 7 | 7 | 4 | 4 | 3 |
| 816 | 272 | 3 | 7 | 7 | 7 | 7 | 7 | 4 | 4 | 4 | 3 |
| 819 | 273 | 3 | 7 | 7 | 7 | 7 | 4 | 4 | 4 | 4 | 3 |
| 822 | 274 | 3 | 7 | 7 | 7 | 4 | 4 | 4 | 4 | 4 | 3 |
| 825 | 275 | 3 | 7 | 7 | 4 | 4 | 4 | 4 | 4 | 4 | 3 |
| 828 | 276 | 3 | 7 | 4 | 4 | 4 | 4 | 4 | 4 | 4 | 3 |
| 831 | 277 | 3 | 4 | 4 | 4 | 4 | 4 | 4 | 4 | 4 | 3 |
| 834 | 278 | 3 | 4 | 4 | 4 | 4 | 4 | 4 | 4 | 4 | 3 |
| 837 | 279 | 3 | 4 | 4 | 4 | 4 | 4 | 4 | 4 | 4 | 3 |
| 840 | 280 | 3 | 4 | 4 | 4 | 4 | 4 | 4 | 4 | 4 | 3 |
| 843 | 281 | 3 | 4 | 4 | 4 | 4 | 4 | 4 | 4 | 6 | 1 |

Data antrian maksimum adalah panjang antiran maksimum yang dimana sel telah terisi penuh (7 smp) dan berada dalam satu *clock tick* oleh kendaraan. Dapat di lihat pada tabel berikut.

Tabel 4.34 Data Antrian CTM BCA-PLN (Macet)

| kondisi jalan | Periode (detik) | Q | | jumlah sel atrian | panjang sell | Panjang Antrian (meter) |
|---------------|-----------------|---------|----------|-------------------|--------------|-------------------------|
| | | q masuk | q keluar | | | |
| Macet | 894-897 | 3 | 3 | 8 | 22 | 176 |

Berdasarkan perhitungan didapatkan panjang antrian sebesar 176 m. Dikarenakan perhitungan sebelumnya digunakan pembulatan ke bawah sehingga tidak memperoleh panjang antrian yang sama pada panjang ruas yang di tinjau.

- Data Tundaan BCA-PLN (Macet):

Tabel 4.35 Pemodelan CTM BCA-PLN kondisi Macet

| Waktu (s) | clock tick | Q masuk | Sel-1 | Sel-2 | Sel-3 | Sel-4 | Sel-5 | Sel-6 | Sel-7 | Sel-8 | Q keluar |
|-----------|------------|---------|-------|-------|-------|-------|-------|-------|-------|-------|----------|
| 810 | 270 | 1 | 7 | 7 | 7 | 7 | 7 | 7 | 7 | 4 | 3 |
| 813 | 271 | 3 | 7 | 7 | 7 | 7 | 7 | 7 | 4 | 4 | 3 |
| 816 | 272 | 3 | 7 | 7 | 7 | 7 | 7 | 4 | 4 | 4 | 3 |
| 819 | 273 | 3 | 7 | 7 | 7 | 7 | 4 | 4 | 4 | 4 | 3 |
| 822 | 274 | 3 | 7 | 7 | 7 | 4 | 4 | 4 | 4 | 4 | 3 |
| 825 | 275 | 3 | 7 | 7 | 4 | 4 | 4 | 4 | 4 | 4 | 3 |
| 828 | 276 | 3 | 7 | 4 | 4 | 4 | 4 | 4 | 4 | 4 | 3 |
| 831 | 277 | 3 | 4 | 4 | 4 | 4 | 4 | 4 | 4 | 4 | 3 |
| 834 | 278 | 3 | 4 | 4 | 4 | 4 | 4 | 4 | 4 | 4 | 3 |
| 837 | 279 | 3 | 4 | 4 | 4 | 4 | 4 | 4 | 4 | 4 | 3 |
| 840 | 280 | 3 | 4 | 4 | 4 | 4 | 4 | 4 | 4 | 4 | 3 |
| 843 | 281 | 3 | 4 | 4 | 4 | 4 | 4 | 4 | 4 | 6 | 1 |

Tundaan adalah perbedaan waktu perjalanan dari suatu perjalanan dari satu titik ke titik tujuan antara kondisi arus bebas dengan arus terhambat. Tundaan adalah perbedaan waktu perjalanan dari suatu perjalanan dari satu titik ke titik tujuan antara kondisi arus bebas dengan arus terhambat

Tabel 4.36 Data Tundaan CTM BCA-PLN (Macet)

| kondisi jalan | Periode (detik) | Detik | SMP | Tundaan (Smp.Detik) | Jumlah smp | Rata-rata Tundaan (smp.detik) |
|---------------|-----------------|-------|-----|---------------------|------------|-------------------------------|
| Macet | 756-828 | 3 | 963 | 2889 | 55 | 52,52 |

b. Ruas Jalan PLN-BCA

Antrian dan Tundaan di tinjau pada ruas jalan PLN-BCA dalam dua kondisi lalulintas. Yaitu, dalam kondisi Lancar (normal) dan Macet (tidak normal). Adapun data Atrian dan Tundaan pada ruas jalan PLN-BCA adalah sebagai berikut.

- **PLN-BCA dalam kondisi Lancar**

- Data Antrian maksimum PLN-BCA (*Lancar*)

Tabel 4.37 Pemodelan CTM PLN-BCA kondisi Lancar

| Waktu (s) | clock tick | Q masuk | Sel-1 | Sel-2 | Sel-3 | Sel-4 | Sel-5 | Sel-6 | Sel-7 | Sel-8 | Q keluar |
|-----------|------------|---------|-------|-------|-------|-------|-------|-------|-------|-------|----------|
| 0 | 0 | | | | | | | | | | 3 |
| 3 | 1 | 1 | 1 | 2 | 3 | 3 | 2 | 3 | 3 | 2 | 3 |
| 6 | 2 | 2 | 1 | 1 | 2 | 3 | 3 | 2 | 3 | 3 | 3 |
| 9 | 3 | 1 | 2 | 1 | 1 | 2 | 3 | 3 | 2 | 3 | 3 |
| 12 | 4 | 2 | 1 | 2 | 1 | 1 | 2 | 3 | 3 | 2 | 3 |
| 15 | 5 | 0 | 2 | 1 | 2 | 1 | 1 | 2 | 3 | 3 | 3 |
| 18 | 6 | 1 | 0 | 2 | 1 | 2 | 1 | 1 | 2 | 3 | 3 |
| 21 | 7 | 0 | 1 | 0 | 2 | 1 | 2 | 1 | 1 | 2 | 3 |
| 24 | 8 | 1 | 0 | 1 | 0 | 2 | 1 | 2 | 1 | 1 | 3 |
| 27 | 9 | 0 | 1 | 0 | 1 | 0 | 2 | 1 | 2 | 1 | 3 |
| 30 | 10 | 1 | 0 | 1 | 0 | 1 | 0 | 2 | 1 | 2 | 3 |
| 33 | 11 | 0 | 1 | 0 | 1 | 0 | 1 | 0 | 2 | 3 | 0 |
| 36 | 12 | 1 | 0 | 1 | 0 | 1 | 0 | 1 | 0 | 5 | 0 |
| 39 | 13 | 0 | 1 | 0 | 1 | 0 | 1 | 0 | 1 | 5 | 0 |
| 42 | 14 | 1 | 0 | 1 | 0 | 1 | 0 | 1 | 0 | 6 | 0 |
| 45 | 15 | 0 | 1 | 0 | 1 | 0 | 1 | 0 | 1 | 6 | 0 |
| 48 | 16 | 1 | 0 | 1 | 0 | 1 | 0 | 1 | 0 | 7 | 0 |
| 51 | 17 | 0 | 1 | 0 | 1 | 0 | 1 | 0 | 1 | 7 | 0 |
| 54 | 18 | 1 | 0 | 1 | 0 | 1 | 0 | 1 | 1 | 7 | 0 |
| 57 | 19 | 0 | 1 | 0 | 1 | 0 | 1 | 0 | 2 | 7 | 0 |
| 60 | 20 | 1 | 0 | 1 | 0 | 1 | 0 | 1 | 2 | 7 | 0 |
| 63 | 21 | 0 | 1 | 0 | 1 | 0 | 1 | 0 | 3 | 7 | 0 |
| 66 | 22 | 1 | 0 | 1 | 0 | 1 | 0 | 1 | 3 | 7 | 0 |
| 69 | 23 | 1 | 1 | 0 | 1 | 0 | 1 | 0 | 4 | 7 | 0 |
| 72 | 24 | 0 | 1 | 1 | 0 | 1 | 0 | 1 | 4 | 7 | 0 |
| 75 | 25 | 1 | 0 | 1 | 1 | 0 | 1 | 0 | 5 | 7 | 0 |
| 78 | 26 | 0 | 1 | 0 | 1 | 1 | 0 | 1 | 5 | 7 | 0 |
| 81 | 27 | 1 | 0 | 1 | 0 | 1 | 1 | 0 | 6 | 7 | 0 |
| 84 | 28 | 0 | 1 | 0 | 1 | 0 | 1 | 1 | 6 | 7 | 0 |

| Waktu (s) | clock tick | Q masuk | Sel-1 | Sel-2 | Sel-3 | Sel-4 | Sel-5 | Sel-6 | Sel-7 | Sel-8 | Q keluar |
|-----------|------------|---------|-------|-------|-------|-------|-------|-------|-------|-------|----------|
| 87 | 29 | 1 | 0 | 1 | 0 | 1 | 0 | 1 | 7 | 7 | 0 |
| 90 | 30 | 1 | 1 | 0 | 1 | 0 | 1 | 1 | 7 | 4 | 3 |
| 93 | 31 | 2 | 1 | 1 | 0 | 1 | 0 | 2 | 4 | 4 | 3 |
| 96 | 32 | 1 | 2 | 1 | 1 | 0 | 1 | 0 | 3 | 4 | 3 |
| 99 | 33 | 2 | 1 | 2 | 1 | 1 | 0 | 1 | 0 | 4 | 3 |
| 102 | 34 | 1 | 2 | 1 | 2 | 1 | 1 | 0 | 1 | 1 | 3 |
| 105 | 35 | 1 | 1 | 2 | 1 | 2 | 1 | 1 | 0 | 1 | 3 |
| 108 | 36 | 0 | 1 | 1 | 2 | 1 | 2 | 1 | 1 | 0 | 3 |
| 111 | 37 | 1 | 0 | 1 | 1 | 2 | 1 | 2 | 1 | 1 | 3 |
| 114 | 38 | 0 | 1 | 0 | 1 | 1 | 2 | 1 | 2 | 1 | 3 |
| 117 | 39 | 1 | 0 | 1 | 0 | 1 | 1 | 2 | 1 | 2 | 3 |
| 120 | 40 | 0 | 1 | 0 | 1 | 0 | 1 | 1 | 2 | 1 | 3 |
| 123 | 41 | 1 | 0 | 1 | 0 | 1 | 0 | 1 | 1 | 3 | 0 |

Data antrian maksimum adalah panjang antiran maksimum yang dimana sel telah terisi penuh (7 smp) dan berada dalam satu *clock tick* oleh kendaraan. Dapat di lihat pada tabel berikut.

Tabel 4.38 Data Antrian CTM PLN-BCA (Lancar)

| kondisi jalan | Periode (detik) | Q | | jumlah sel atrian | panjang sell | Panjang Antrian (meter) |
|---------------|-----------------|---------|----------|-------------------|--------------|-------------------------|
| | | q masuk | q keluar | | | |
| Normal | 87 | 3 | 3 | 3 | 23 | 69 |

- Data Tundaan PLN-BCA (Lancar):

Tabel 4.39 Pemodelan CTM PLN-BCA kondisi Lancar

| Waktu (s) | clock tick | Q masuk | Sel-1 | Sel-2 | Sel-3 | Sel-4 | Sel-5 | Sel-6 | Sel-7 | Sel-8 | Q keluar |
|-----------|------------|---------|-------|-------|-------|-------|-------|-------|-------|-------|----------|
| 0 | 0 | | | | | | | | | | 3 |
| 3 | 1 | 1 | 1 | 2 | 3 | 3 | 2 | 3 | 3 | 2 | 3 |
| 6 | 2 | 2 | 1 | 1 | 2 | 3 | 3 | 2 | 3 | 3 | 3 |
| 9 | 3 | 1 | 2 | 1 | 1 | 2 | 3 | 3 | 2 | 3 | 3 |
| 12 | 4 | 2 | 1 | 2 | 1 | 1 | 2 | 3 | 3 | 2 | 3 |
| 15 | 5 | 0 | 2 | 1 | 2 | 1 | 1 | 2 | 3 | 3 | 3 |
| 18 | 6 | 1 | 0 | 2 | 1 | 2 | 1 | 1 | 2 | 3 | 3 |
| 21 | 7 | 0 | 1 | 0 | 2 | 1 | 2 | 1 | 1 | 2 | 3 |
| 24 | 8 | 1 | 0 | 1 | 0 | 2 | 1 | 2 | 1 | 1 | 3 |
| 27 | 9 | 0 | 1 | 0 | 1 | 0 | 2 | 1 | 2 | 1 | 3 |
| 30 | 10 | 1 | 0 | 1 | 0 | 1 | 0 | 2 | 1 | 2 | 3 |
| 33 | 11 | 0 | 1 | 0 | 1 | 0 | 1 | 0 | 2 | 3 | 0 |
| 36 | 12 | 1 | 0 | 1 | 0 | 1 | 0 | 1 | 0 | 5 | 0 |
| 39 | 13 | 0 | 1 | 0 | 1 | 0 | 1 | 0 | 1 | 5 | 0 |
| 42 | 14 | 1 | 0 | 1 | 0 | 1 | 0 | 1 | 0 | 6 | 0 |
| 45 | 15 | 0 | 1 | 0 | 1 | 0 | 1 | 0 | 1 | 6 | 0 |
| 48 | 16 | 1 | 0 | 1 | 0 | 1 | 0 | 1 | 0 | 7 | 0 |
| 51 | 17 | 0 | 1 | 0 | 1 | 0 | 1 | 0 | 1 | 7 | 0 |
| 54 | 18 | 1 | 0 | 1 | 0 | 1 | 0 | 1 | 1 | 7 | 0 |
| 57 | 19 | 0 | 1 | 0 | 1 | 0 | 1 | 0 | 2 | 7 | 0 |
| 60 | 20 | 1 | 0 | 1 | 0 | 1 | 0 | 1 | 2 | 7 | 0 |
| 63 | 21 | 0 | 1 | 0 | 1 | 0 | 1 | 0 | 3 | 7 | 0 |
| 66 | 22 | 1 | 0 | 1 | 0 | 1 | 0 | 1 | 3 | 7 | 0 |
| 69 | 23 | 1 | 1 | 0 | 1 | 0 | 1 | 0 | 4 | 7 | 0 |
| 72 | 24 | 0 | 1 | 1 | 0 | 1 | 0 | 1 | 4 | 7 | 0 |
| 75 | 25 | 1 | 0 | 1 | 1 | 0 | 1 | 0 | 5 | 7 | 0 |
| 78 | 26 | 0 | 1 | 0 | 1 | 1 | 0 | 1 | 5 | 7 | 0 |
| 81 | 27 | 1 | 0 | 1 | 0 | 1 | 1 | 0 | 6 | 7 | 0 |
| 84 | 28 | 0 | 1 | 0 | 1 | 0 | 1 | 1 | 6 | 7 | 0 |
| 87 | 29 | 1 | 0 | 1 | 0 | 1 | 0 | 1 | 7 | 7 | 0 |

| Waktu (s) | clock tick | Q masuk | Sel-1 | Sel-2 | Sel-3 | Sel-4 | Sel-5 | Sel-6 | Sel-7 | Sel-8 | Q keluar |
|-----------|------------|---------|-------|-------|-------|-------|-------|-------|-------|-------|----------|
| 90 | 30 | 1 | 1 | 0 | 1 | 0 | 1 | 1 | 7 | 4 | 3 |
| 93 | 31 | 2 | 1 | 1 | 0 | 1 | 0 | 2 | 4 | 4 | 3 |
| 96 | 32 | 1 | 2 | 1 | 1 | 0 | 1 | 0 | 3 | 4 | 3 |
| 99 | 33 | 2 | 1 | 2 | 1 | 1 | 0 | 1 | 0 | 4 | 3 |
| 102 | 34 | 1 | 2 | 1 | 2 | 1 | 1 | 0 | 1 | 1 | 3 |
| 105 | 35 | 1 | 1 | 2 | 1 | 2 | 1 | 1 | 0 | 1 | 3 |
| 108 | 36 | 0 | 1 | 1 | 2 | 1 | 2 | 1 | 1 | 0 | 3 |
| 111 | 37 | 1 | 0 | 1 | 1 | 2 | 1 | 2 | 1 | 1 | 3 |
| 114 | 38 | 0 | 1 | 0 | 1 | 1 | 2 | 1 | 2 | 1 | 3 |
| 117 | 39 | 1 | 0 | 1 | 0 | 1 | 1 | 2 | 1 | 2 | 3 |
| 120 | 40 | 0 | 1 | 0 | 1 | 0 | 1 | 1 | 2 | 1 | 3 |
| 123 | 41 | 1 | 0 | 1 | 0 | 1 | 0 | 1 | 1 | 3 | 0 |

Tundaan adalah perbedaan waktu perjalanan dari suatu perjalanan dari satu titik ke titik tujuan antara kondisi arus bebas dengan arus terhambat. Tundaan adalah perbedaan waktu perjalanan dari suatu perjalanan dari satu titik ke titik tujuan antara kondisi arus bebas dengan arus terhambat

Tabel 4.40 Data Tundaan CTM PLN-BCA (Lancar)

| kondisi jalan | Periode (detik) | Detik | SMP | Tundaan (<i>Smp.Detik</i>) | Jumlah smp | Rata-rata Tundaan (smp.detik) |
|---------------|-----------------|-------|-----|------------------------------|------------|-------------------------------|
| Lancar | 36-90 | 3 | 182 | 546 | 15 | 36.4 |

- **PLN-BCA dalam Kondisi Macet**

- Data Antrian maksimum PLN-BCA (*Macet*)

Tabel 4.41 Pemodelan CTM PLN-BCA kondisi Macet

| Waktu (s) | clock tick | Q masuk | Sel-1 | Sel-2 | Sel-3 | Sel-4 | Sel-5 | Sel-6 | Sel-7 | Sel-8 | Q keluar |
|-----------|------------|---------|-------|-------|-------|-------|-------|-------|-------|-------|----------|
| 0 | 1 | | | | | | | | | | 3 |
| 3 | 2 | 3 | 3 | 2 | 3 | 3 | 2 | 3 | 3 | 2 | 3 |
| 6 | 3 | 3 | 3 | 3 | 2 | 3 | 3 | 2 | 3 | 3 | 3 |
| 9 | 4 | 3 | 3 | 3 | 3 | 2 | 3 | 3 | 2 | 3 | 3 |
| 12 | 5 | 3 | 3 | 3 | 3 | 3 | 2 | 3 | 3 | 2 | 3 |
| 15 | 6 | 1 | 3 | 3 | 3 | 3 | 3 | 2 | 3 | 3 | 3 |
| 18 | 7 | 1 | 1 | 3 | 3 | 3 | 3 | 3 | 2 | 3 | 3 |
| 21 | 8 | 1 | 1 | 1 | 3 | 3 | 3 | 3 | 3 | 2 | 3 |
| 24 | 9 | 1 | 1 | 1 | 1 | 3 | 3 | 3 | 3 | 3 | 3 |
| 27 | 10 | 1 | 1 | 1 | 1 | 1 | 3 | 3 | 3 | 3 | 3 |
| 30 | 11 | 1 | 1 | 1 | 1 | 1 | 1 | 3 | 3 | 3 | 3 |
| 33 | 12 | 1 | 1 | 1 | 1 | 1 | 1 | 1 | 3 | 6 | 0 |
| 36 | 13 | 1 | 1 | 1 | 1 | 1 | 1 | 1 | 3 | 6 | 1 |
| 39 | 14 | 1 | 1 | 1 | 1 | 1 | 1 | 1 | 3 | 6 | 1 |
| 42 | 15 | 1 | 1 | 1 | 1 | 1 | 1 | 1 | 3 | 6 | 1 |
| 45 | 16 | 1 | 1 | 1 | 1 | 1 | 1 | 1 | 3 | 7 | 0 |
| 48 | 17 | 1 | 1 | 1 | 1 | 1 | 1 | 1 | 4 | 7 | 0 |
| 51 | 18 | 1 | 1 | 1 | 1 | 1 | 1 | 1 | 5 | 7 | 0 |
| 54 | 19 | 1 | 1 | 1 | 1 | 1 | 1 | 1 | 6 | 7 | 0 |
| 57 | 20 | 1 | 1 | 1 | 1 | 1 | 1 | 1 | 7 | 7 | 0 |
| 60 | 21 | 1 | 1 | 1 | 1 | 1 | 1 | 2 | 7 | 7 | 0 |
| 63 | 22 | 1 | 1 | 1 | 1 | 1 | 1 | 3 | 7 | 7 | 0 |
| 66 | 23 | 1 | 1 | 1 | 1 | 1 | 1 | 4 | 7 | 7 | 0 |
| 69 | 24 | 1 | 1 | 1 | 1 | 1 | 1 | 5 | 7 | 7 | 0 |
| 72 | 25 | 1 | 1 | 1 | 1 | 1 | 1 | 6 | 7 | 7 | 0 |
| 75 | 26 | 1 | 1 | 1 | 1 | 1 | 1 | 7 | 7 | 7 | 0 |
| 78 | 27 | 1 | 1 | 1 | 1 | 1 | 2 | 7 | 7 | 7 | 0 |
| 81 | 28 | 1 | 1 | 1 | 1 | 1 | 3 | 7 | 7 | 7 | 0 |
| 84 | 29 | 1 | 1 | 1 | 1 | 1 | 4 | 7 | 7 | 7 | 0 |

| Waktu (s) | clock tick | Q masuk | Sel-1 | Sel-2 | Sel-3 | Sel-4 | Sel-5 | Sel-6 | Sel-7 | Sel-8 | Q keluar |
|-----------|------------|---------|-------|-------|-------|-------|-------|-------|-------|-------|----------|
| 87 | 30 | 1 | 1 | 1 | 1 | 1 | 5 | 7 | 7 | 7 | 0 |
| 90 | 31 | 3 | 1 | 1 | 1 | 1 | 6 | 7 | 7 | 4 | 3 |
| 93 | 32 | 3 | 3 | 1 | 1 | 1 | 7 | 7 | 4 | 4 | 3 |
| 96 | 33 | 3 | 3 | 3 | 1 | 2 | 7 | 4 | 4 | 4 | 3 |
| 99 | 34 | 3 | 3 | 3 | 3 | 3 | 4 | 4 | 4 | 4 | 3 |
| 102 | 35 | 3 | 3 | 3 | 3 | 3 | 4 | 4 | 4 | 4 | 3 |
| 105 | 36 | 1 | 3 | 3 | 3 | 3 | 4 | 4 | 4 | 4 | 3 |
| 108 | 37 | 1 | 1 | 3 | 3 | 3 | 4 | 4 | 4 | 4 | 3 |
| 111 | 38 | 1 | 1 | 1 | 3 | 3 | 4 | 4 | 4 | 4 | 3 |
| 114 | 39 | 1 | 1 | 1 | 1 | 3 | 4 | 4 | 4 | 4 | 3 |
| 117 | 40 | 1 | 1 | 1 | 1 | 1 | 4 | 4 | 4 | 4 | 3 |
| 120 | 41 | 1 | 1 | 1 | 1 | 1 | 2 | 4 | 4 | 4 | 3 |
| 123 | 42 | 1 | 1 | 1 | 1 | 1 | 1 | 3 | 4 | 7 | 0 |

Data antrian maksimum adalah panjang antiran maksimum yang dimana sel telah terisi penuh (7 smp) dan berada dalam satu *clock tick* oleh kendaraan. Dapat di lihat pada tabel berikut.

Tabel 4.42 Data Antrian CTM PLN-BCA (Macet)

| kondisi jalan | Periode (detik) | Q | | jumlah sel atrian | panjang sell | Panjang Antrian (meter) |
|---------------|-----------------|---------|----------|-------------------|--------------|-------------------------|
| | | q masuk | q keluar | | | |
| Macet | 87 | 3 | 2 | 4 | 23 | 92 |

- Data Tundaan PLN-BCA (Macet):

Tabel 4.43 Pemodelan CTM PLN-BCA kondisi Macet

| Waktu (s) | clock tick | Q masuk | Sel-1 | Sel-2 | Sel-3 | Sel-4 | Sel-5 | Sel-6 | Sel-7 | Sel-8 | Q keluar |
|-----------|------------|---------|-------|-------|-------|-------|-------|-------|-------|-------|----------|
| 0 | 1 | | | | | | | | | | 3 |
| 3 | 2 | 3 | 3 | 2 | 3 | 3 | 2 | 3 | 3 | 2 | 3 |
| 6 | 3 | 3 | 3 | 3 | 2 | 3 | 3 | 2 | 3 | 3 | 3 |
| 9 | 4 | 3 | 3 | 3 | 3 | 2 | 3 | 3 | 2 | 3 | 3 |
| 12 | 5 | 3 | 3 | 3 | 3 | 3 | 2 | 3 | 3 | 2 | 3 |
| 15 | 6 | 1 | 3 | 3 | 3 | 3 | 3 | 2 | 3 | 3 | 3 |
| 18 | 7 | 1 | 1 | 3 | 3 | 3 | 3 | 3 | 2 | 3 | 3 |
| 21 | 8 | 1 | 1 | 1 | 3 | 3 | 3 | 3 | 3 | 2 | 3 |
| 24 | 9 | 1 | 1 | 1 | 1 | 3 | 3 | 3 | 3 | 3 | 3 |
| 27 | 10 | 1 | 1 | 1 | 1 | 1 | 3 | 3 | 3 | 3 | 3 |
| 30 | 11 | 1 | 1 | 1 | 1 | 1 | 1 | 3 | 3 | 3 | 3 |
| 33 | 12 | 1 | 1 | 1 | 1 | 1 | 1 | 1 | 3 | 6 | 0 |
| 36 | 13 | 1 | 1 | 1 | 1 | 1 | 1 | 1 | 3 | 6 | 1 |
| 39 | 14 | 1 | 1 | 1 | 1 | 1 | 1 | 1 | 3 | 6 | 1 |
| 42 | 15 | 1 | 1 | 1 | 1 | 1 | 1 | 1 | 3 | 6 | 1 |
| 45 | 16 | 1 | 1 | 1 | 1 | 1 | 1 | 1 | 3 | 7 | 0 |
| 48 | 17 | 1 | 1 | 1 | 1 | 1 | 1 | 1 | 4 | 7 | 0 |
| 51 | 18 | 1 | 1 | 1 | 1 | 1 | 1 | 1 | 5 | 7 | 0 |
| 54 | 19 | 1 | 1 | 1 | 1 | 1 | 1 | 1 | 6 | 7 | 0 |
| 57 | 20 | 1 | 1 | 1 | 1 | 1 | 1 | 1 | 7 | 7 | 0 |
| 60 | 21 | 1 | 1 | 1 | 1 | 1 | 1 | 2 | 7 | 7 | 0 |
| 63 | 22 | 1 | 1 | 1 | 1 | 1 | 1 | 3 | 7 | 7 | 0 |
| 66 | 23 | 1 | 1 | 1 | 1 | 1 | 1 | 4 | 7 | 7 | 0 |
| 69 | 24 | 1 | 1 | 1 | 1 | 1 | 1 | 5 | 7 | 7 | 0 |
| 72 | 25 | 1 | 1 | 1 | 1 | 1 | 1 | 6 | 7 | 7 | 0 |
| 75 | 26 | 1 | 1 | 1 | 1 | 1 | 1 | 7 | 7 | 7 | 0 |
| 78 | 27 | 1 | 1 | 1 | 1 | 1 | 2 | 7 | 7 | 7 | 0 |
| 81 | 28 | 1 | 1 | 1 | 1 | 1 | 3 | 7 | 7 | 7 | 0 |
| 84 | 29 | 1 | 1 | 1 | 1 | 1 | 4 | 7 | 7 | 7 | 0 |
| 87 | 30 | 1 | 1 | 1 | 1 | 1 | 5 | 7 | 7 | 7 | 0 |
| 90 | 31 | 3 | 1 | 1 | 1 | 1 | 6 | 7 | 7 | 4 | 3 |

| Waktu (s) | clock tick | Q masuk | Sel-1 | Sel-2 | Sel-3 | Sel-4 | Sel-5 | Sel-6 | Sel-7 | Sel-8 | Q keluar |
|-----------|------------|---------|-------|-------|-------|-------|-------|-------|-------|-------|----------|
| 93 | 32 | 3 | 3 | 1 | 1 | 1 | 7 | 7 | 4 | 4 | 3 |
| 96 | 33 | 3 | 3 | 3 | 1 | 2 | 7 | 4 | 4 | 4 | 3 |
| 99 | 34 | 3 | 3 | 3 | 3 | 3 | 4 | 4 | 4 | 4 | 3 |
| 102 | 35 | 3 | 3 | 3 | 3 | 3 | 4 | 4 | 4 | 4 | 3 |
| 105 | 36 | 1 | 3 | 3 | 3 | 3 | 4 | 4 | 4 | 4 | 3 |
| 108 | 37 | 1 | 1 | 3 | 3 | 3 | 4 | 4 | 4 | 4 | 3 |
| 111 | 38 | 1 | 1 | 1 | 3 | 3 | 4 | 4 | 4 | 4 | 3 |
| 114 | 39 | 1 | 1 | 1 | 1 | 3 | 4 | 4 | 4 | 4 | 3 |
| 117 | 40 | 1 | 1 | 1 | 1 | 1 | 4 | 4 | 4 | 4 | 3 |
| 120 | 41 | 1 | 1 | 1 | 1 | 1 | 2 | 4 | 4 | 4 | 3 |
| 123 | 42 | 1 | 1 | 1 | 1 | 1 | 1 | 3 | 4 | 7 | 0 |

Tundaan adalah perbedaan waktu perjalanan dari suatu perjalanan dari satu titik ke titik tujuan antara kondisi arus bebas dengan arus terhambat. Tundaan adalah perbedaan waktu perjalanan dari suatu perjalanan dari satu titik ke titik tujuan antara kondisi arus bebas dengan arus terhambat

Tabel 4.44 Data Tundaan CTM PLN-BCA (Macet)

| kondisi jalan | Periode (detik) | Detik | SMP | Tundaan (<i>Smp.Detik</i>) | Jumlah smp | Rata-rata Tundaan (smp.detik) |
|---------------|-----------------|-------|-----|------------------------------|------------|-------------------------------|
| Macet | 36-96 | 3 | 333 | 1002 | 26 | 38.53 |

4.2.3.3. Antrian dan Tundaan Metode MKJI 1997

Dalam menganalisa data perhitungan hasil CTM, akan menggunakan metode perhitungan yang terdapat pada Manual Kapasitas Jalan Indonesia (MKJI) tahun 1997 dan Peraturan Menteri Perhubungan Nomor KM 14 Tahun 2006. Hasil analisa yang

didapatkan akan dievaluasi dan dibandingakan antara analisa dilapangan dan Analisa dengan menggunakan metode CTM.

Pada tahap ini telah di peroleh data Arus Lalu Lintas (Q) melalui data pemodelan CTM sehingga dapat masuk pada pengisian formulir SIG-II

Contoh perhitungan mencari P_{LT} dan P_{RT} untuk pengisian formulir SIG-II.
Perhitungan arus kendaraan pada kaki simpang Jl. Raya Karanglo, Senin 22 Februari 2016 pada jam puncak pagi hari .

- Arus kendaraan Belok Kiri :
 a. Sepeda Motor : 500 smp/jam = 2500 kend/jam
 b. Kendaraan Ringan : 291 smp/jam = 292 kend/jam
 c. Kendaraan Berat : 42.9smp/jam = 33 kend/jam
 d. Jumlah : 834.9 smp/jam = 2825 kend/jam
- Arus kendaraan Lurus
 a. Sepeda Motor : 333 smp/jam = 1665 kend/jam
 b. Kendaraan Ringan : 195 smp/jam = 195 kend/jam
 c. Kendaraan Berat : 28,6 smp/jam = 22 kend/jam
 d. Jumlah : 556.6 smp/jam = 1882 kend/jam
- Total Arus Kendaraan smp/jam
 a. Sepeda Motor : $500 + 333 = 833$
 b. Kendaraan Ringan : $195 + 291 = 487$

$$\text{c. Kendaraan Berat} : 28.6 + 42.9 = 71.5$$

$$\text{d. Jumlah} = 1391.5 \text{ smp/jam}$$

➤ Total Arus Kendaraan Kend/jam

$$\text{a. Sepeda Motor} : 1665 + 2500 = 4165$$

$$\text{b. Kendaraan Ringan} : 195 + 291 = 487$$

$$\text{c. Kendaraan Berat} : 22 + 33 = 55$$

$$\text{d. Jumlah} = 4707 \text{ Kend/jam}$$

Untuk menghitung Rasio kendaraan belok kiri (P_{LT}) maka, digunakan rumus

$$P_{LT} = \frac{LT \text{ (kend/jam)}}{\text{Total (kend/jam)}} \quad \text{dimana :}$$

P_{LT} : Rasio kendaraan belok kiri (kend/jam)

LT : Arus kendaraan belok kiri (kend/jam)

Total : Total arus kendaraan per lengan simpang (kend/jam)

➤ Rasio Kendaraan Belok Kiri :

$$P_{LT} = 556.6 / 1391.5 = 0.4$$

Melalui data di atas telah di peroleh Arus Lalu lintas (Q) sehingga dapat di masukkan pada SIG IV dan di lanjutkan pada Langkah E (SIG V) untuk memperoleh panjang antrian, jumlah kendaraan terhenti, dan tundaan.

➤ **Langkah Menentukan Kinerja Simpang Bersinyal**

❖ **Panjang Antrian .**

Untuk $DS < 0,5$: $NQ_1 = 0$ jika $DS > 0,5$ NQ_1 bisa dihitung dengan rumus

$$NQ_1 = 0,25 \times C \times \left[(DS - 1) + \sqrt{(DS - 1)^2 + \frac{8 \times (DS - 0,5)}{C}} \right]$$

Dimana : NQ_1 = Jumlah smp yang tersisa dari fase hijau sebelumnya

DS = Derajat kejemuhan

Gr = Rasio hijau

C = Kapasitas smp/jam

Untuk menentukan NQ_2 digunakan rumus :
$$NQ_2 = c \times \frac{1 - GR}{1 - GR \times DS} \times \frac{Q}{3600}$$

Dimana :

NQ_2 = Jumlah smp yang datang selama fase merah

DS = Derajat kejemuhan

Gr = Rasio hijau

C = Kapasitas smp/jam

Q_{masuk} = Arus lalu lintas pada tempat masuk diluar LTOR

Antrian pada kaki simpang lengkap Selatan Jalan Raya Karanglo pada jam puncak pagi :

$$NQ_1 = 0.25 \times C \times ((DS - 1) + (((DS - 1)^2 + (8 \times 7 \times (DS - 0.5)) / C)^{0.5}))$$

$$= 0.25 \times 1667.8 \times ((0.83 - 1) + (((0.83 - 1)^2 + (8 \times 7 \times (0.83 - 0.5)) /$$

$$1667.8)^{0.5}))$$

$$= 3.44$$

$$\begin{aligned} NQ_2 &= 75 \times ((1-0.67) / (1-0.67 \times DS)) \times (Q / 3600) \\ &= 75 \times ((1-0.67) / (1-0.67 \times 0.83)) \times (1392 / 3600) \\ &= 21.77 \end{aligned}$$

❖ Jumlah Kendaraan Terhenti

$$NQ = NQ_1 + NQ_2$$

$$= 3.44 + 21.77$$

$$= 25.21 \text{ smp}$$

❖ Perhitungan Panjang Antrian

$$QL = \frac{NQ_{\max} \times 20}{W_{\text{masuk}}} = \frac{21.7 \times 20}{2.000} = 72.58 \text{ m}$$

Untuk mencari nilai NS digunakan rumus :

$$NS = 0.9 \times \frac{NQ}{Q \times c} \times 3600$$

dimana ,

C = Waktu siklus (detik)

Q = Arus Lalu Lintas (kend/detik) maka,

$$\begin{aligned} NS &= 0.9 \times \frac{NQ}{Q \times c} \times 3600 \\ &= 0.9 \times \frac{25.21}{1392 \times 1667.8} \times 3600 \\ &= 0.78 \text{ stop/jam} \end{aligned}$$

Untuk mencari nilai Nsv digunakan rumus:

$$Nsv = Q \times NS (\text{kend/jam}) \text{ maka,}$$

$$\begin{aligned}
 N_{SV} &= Q \times NS \\
 &= 1392 \times 0.78 \\
 &= 1089 \text{ det/kend}
 \end{aligned}$$

❖ Tundaan

Untuk mencari tundaan digunakan rumus : $DT = c \times A + \frac{NQ1 \times 3600}{C}$

dimana: DT = Tundaan lalu lintas rata –rata (det/kend)

c = waktu siklus yang disesuaikan

$$A = \frac{0.5 \times (1-GR)^2}{(1-GR \times DS)}$$

DS = derajat kejemuhan dari kolom 4

GR = Rasio hijau (q/c) dari kolom 5

$NQ1$ = jumlah kend yang tersisa dari fase hijau sebelumnya dari kolom 6

C = Kapasitas (kedn/jam) dari kolom 3

$$\begin{aligned}
 DT &= 75 \times \frac{0.5 \times (1-0.260)^2}{(1-0.260 \times 0.621)} + \frac{2.154 \times 3600}{293.99} \\
 &= 16.81 \text{ detik / smp}
 \end{aligned}$$

Tundaan geometri rata-rata (DG)= $(1-psv) \times PT \times 6 + (psv \times 4)$

$$\begin{aligned}
 DG &= (1 - 0.78) \times 0.4 \times 6 + (0.78 \times 4) \\
 &= 3.65 \text{ detk/smp}
 \end{aligned}$$

$$\begin{aligned}
 \text{Tundaan rata - rata (D)} &= DT + DG \\
 &= 16.81 + 3.65 \\
 &= 20.47 \text{ detik /smp}
 \end{aligned}$$

4.2.4 Analisa Perbandingan panjang Antrian dan Tundaan

Setiap metode-metode yang di gunakan dalam Penelitian simpang bersinyal memiliki kelebihan dan kekurangannya masing-masing. Melalui penulisan ini memcoba untuk membandingkan dua metode yaitu CTM (Cell Transmission Model) dan MKJI 1997 (Manual Kapasitas Jalan Indonesia) dengan data lapangan (real). Sehingga melalui dapat di ketahui antrian dan tundaan dari kedua metode tersebut yang paling mendekati dengan data di lapangan (real).

Perbandingan Metode CTM dan MKJI di lakukan pada ruas Jalan Bsuki Rahmat dimana terdapat 2 buar ruas yang berada 2 simpang. Yaitu ruas jalan BCA-PLN dan ruasn Jalan PLN-BCA yang di tinjau dalam 2 kondisi jalan yaitu pada kondisi lancar dan macet. Data perbandingan Antrian dan tundaan Pada metode CTM dan MKJI adalah sebagai berikut.

1. Antrian dan Tundaan pad Ruas Jalan BCA-PLN (lancar)

| | Data Lapangan | Metode CTM | Metode MKJI |
|-------------------------|---------------|------------|-------------|
| Panjang Antrian (meter) | 66 | 66 | 72.58 |
| Tundaan (det/smp) | | 44.83 | 20.47 |

Pada Tabel perbandingan di atas menunjukkan bahwa panjang antrian antara data lapangan (real) memiliki jumlah yang sama dengan panjang antrian pada Metode CTM yaitu sebesar 66 meter dengan tundaan sebesar 44.83 det/smp. Sedangkan pada metode MKJI memiliki selisih cukup jauh yaitu sebesar 72 meter dengan besar tundaan sebesar 25.45 det/smp.

2. Antrian dan Tundaan pad Ruas Jalan BCA-PLN (Macet)

| | Data Lapangan | Metode CTM | Metode MKJI |
|----------------------------|---------------|------------|-------------|
| Panjang Antrian (meter) | 176 | 176 | 79.86 |
| Tundaan (det/smp) | | 52.52 | 25.45 |

Pada Tabel perbandingan di atas menunjukkan bahwa panjang antrian antara data lapangan (real) memiliki jumlah yang sama dengan panjang antrian pada Metode CTM yaitu sebesar 176 meter dengan tundaan sebesar 52 det/smp. Sedangkan pada metode MKJI memiliki selisih cukup jauh yaitu sebesar 79.86 meter dengan besar tundaan sebesar 25.45 det/smp.

3. Antrian dan Tundaan pad Ruas Jalan PLN-BCA (Lancar)

| | Data Lapangan | Metode CTM | Metode MKJI |
|----------------------------|---------------|------------|-------------|
| Panjang Antrian (meter) | 69 | 69 | 66.8 |
| Tundaan (det/smp) | | 32.167 | 19.07 |

Pada Tabel perbandingan di atas menunjukkan bahwa panjang antrian antara data lapangan (real) memiliki jumlah yang sama dengan panjang antrian pada Metode CTM yaitu sebesar 68 meter dengan tundaan sebesar 32.167 det/smp. Sedangkan pada metode MKJI memiliki selisih yaitu dengan panjang antrian sebesar 66.8 meter dengan besar tundaan sebesar 19.07 det/smp.

4. Antrian dan Tundaan pad Ruas Jalan PLN-BCA (Macet)

| | Data Lapangan | Metode CTM | Metode MKJI |
|----------------------------|---------------|------------|-------------|
| Panjang Antrian (meter) | 92 | 92 | 70.5 |
| Tundaan (det/smp) | | 37.2 | 20.14 |

Pada Tabel perbandingan di atas menunjukkan bahwa panjang antrian antara data lapangan (real) memiliki jumlah yang sama dengan panjang antrian pada Metode CTM yaitu sebesar 92 meter dengan tundaan sebesar 37.2 det/smp. Sedangkan pada metode MKJI memiliki selisih yang cukup jauh yaitu sebesar 70.5 meter dengan besar tundaan sebesar 20.14 det/smp.

BAB V

PENUTUP

5.1. Kesimpulan

Dari hasil penelitian dan analisa yang di lakukan pada ruas jalan Basuki Rahmat diperoleh:

1. Data Eksisting (*Real*)

Kinerja Simpang Basuki rahmat pada pendekat selatan di simpang PLN memiliki panjang antrian eksisting dalam kondisi macet sejauh 176 meter dan dalam kondisi lancar sejauh 66 meter. Sedangkan pada pendekat Utara di simpang memiliki panjang antrian eksisting sdalam kondisi macet sejauh 92 meter dan dalam kondisi lancer sejauh 69 meter.

2. Metode CTM (*Cell Transmission Model*) dan MKJI

Kinerja simpang dengan menggunakan metode CTM menunjukkan data yang sama dengan data eksisting. Data panjang antrian eksiting pada tanggal 23 maret 2017pada pukul 03:00 memiliki panjang antrian yang sama dengan panjang antrian pada pemodelan CTM. Pada pendekat Selatan di simpang PLN memiliki panjang antrian pemodelan CTM dalam kondisi lancar sebesar 66 meter sama dengan panjang antrian eksisting. dengan besar tundaan yaitu 44.83 det/smp. Sedangkan dengan menggunakan metode MKJI memiliki panjang antrian yang cukup jauh selisinya sebesar 72.58 meter. Hal tersebut menunjukkan bahwa dengan menggunakan metode CTM dapat memberikan keakuratan yang tinggi dengan data eksisting. Sedangkan MKJI menunjukkan adanya selisi dengan data eksiting. Bukan Cuma ke akuratan yang tinggi dapa

di terapkan pada kondisi jalan yang under sati rated sedangkan MKJI akan mengalami eror jika berada pada over satu rated.

5.2. Saran

Dalam penulisan tugas akhir yang berjudul “Analisa Kinerja Simpang Bersinyal dengan Menggunakan Metode CTM (*Cell Transmission Model*) Pada Ruas jalan Basuki Rahmat”, penulis menemui beberapa permasalahan sehingga ada beberapa hal yang penulis sarankan, diantaranya :

1. Perlunya dilakukan tindak lanjut pada Jaringan simpang antara simpang BCA dengan simpang PLN.
2. Membuka jalur belok kiri langsung pada ruas jalan BCA-PLN sehingga dapat mengurangi tingginya antrian pada ruas jalan tersebut.
3. Menciptakan sebuah alat sensor kendaraan yang mampu mendeteksi antrian yang penuh sehingga dapat mengubah lampu lalulintas yang masih hijau menjadi merah sehingga arus kendaraan tidak masuk lagi ke dalam ruas jalan yang telah penuh.
4. Untuk penelitian selanjutnya lebih matang lagi dalam waktu, mempersiapkan dan mengumpulkan data, sehingga dapat memperoleh hasil kinerja antar simpang.

DAFTAR PUSTAKA

_____. 2014. *Catatan Kuliah Teknik dan Manajemen Lalu Lintas*. Malang : ITN Malang

FSTPT International Symposium, Unila. 2015. *Pengembangan Model Optimasi Offset Sinyal Lampu Isyarat lalu lintas pada jaringan ATCS (Area Traffic Control System) berbentuk grid menggunakan Model Transmisi Sel (Cell Transmission Model).* <http://eng.unila.ac.id/wp-content/uploads/2015/08/T035.pdf>. Diakses pada tamggal 31 Oktober 2016.

Harianto,Joni. 2013. *Analisa Kinerja Simpang Bersinyal*. Medan : Departemen Teknik Sipil,Universitas Sumatera Utara.

Afrizal, Afif Dwi. ____ . *Deskripsi Kemacetan Lalu Lintas Kota Malang* . Malang : Program Studi Pendidikan Geografi Universitas Malang.

Wikrama, Jaya. 2011. *Analisis Kinerja Simpang Bersinyal* . Denpasar : Teknik Sipil, Fakultas Teknik Universitas Udayana Denpasar.

Daganzo,Carlos. ____ . *The Cell Transmissio Model : Network Traffic* . California : Department of Civil Engineering and Institute of Transportation Studies.